

GEOTEKNISK RAPPORT

Rapport nr.: 1	Vår ref.: 039.18T/IA	Dato: 06.07.2018	Rev. nr.: 0
Til:	Drammen Eiendom KF		
Oppdrag:	Åssiden 116/1921 Drammen		
Emne:	Geotekniske vurderinger ifm. regulering.		
Revisjon:			
			Sign.
Oppdragsgiver:	Drammen Eiendom KF		
Utarbeidet av:	Ismail Aricigil v/ ØRP	Siv. ing./M.Sc., geotekniker	JA
Kontrollert av:	Marco Wendt v/ ØRP	Siv. ing./Senior geotekniker	MW

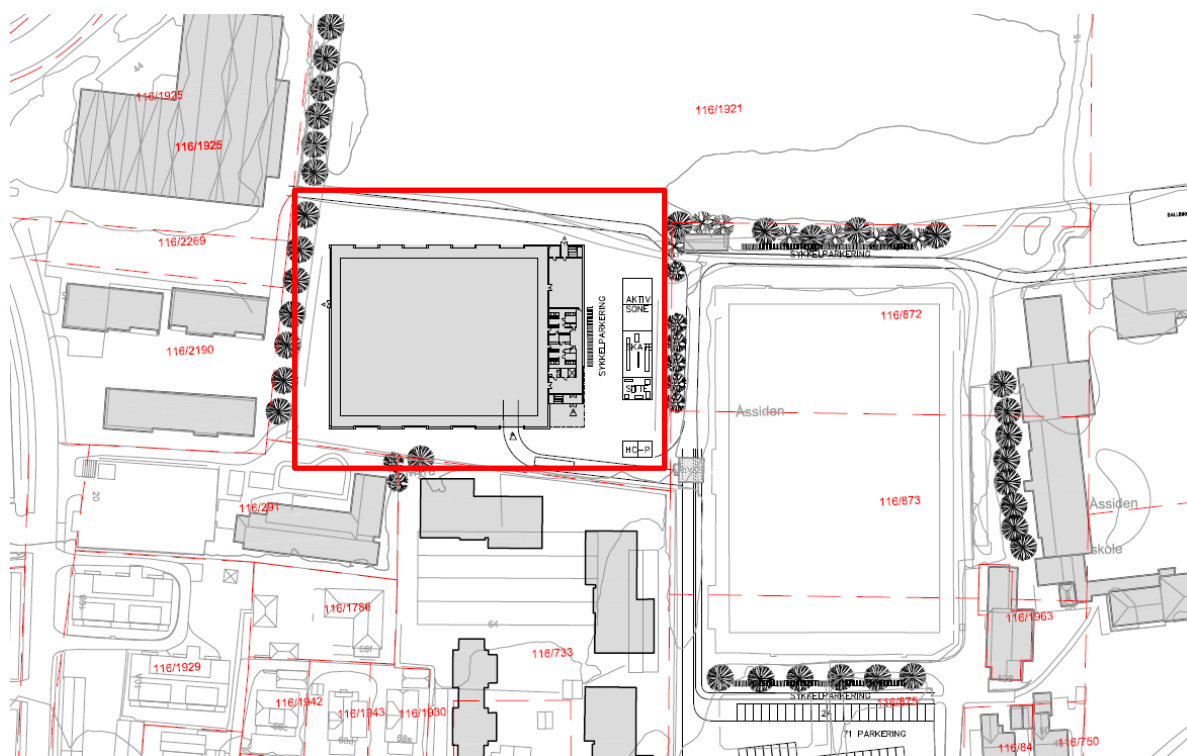


Fig. 1: Oversikt over reguleringsområdet og planlagt fotballhall, fra arch uno AS.

Sammendrag:

Eiendom 116/1921 i Drammen kommune skal reguleres ifm. fremtidig oppføring av fotballhall.

Reguleringsplanen er generelt gjennomførbart ift. geoteknikk.

Grunnen består av hovedsakelig leire ned til fjell (ca. 50m), stedvis sprøbrudd-/«kvikkleire» fra ca. 30m.

Terreng- og områdestabilitet er tilfredsstillende.

Steder med fyllmasser anbefales masseutskiftet. Pga. relativt stor setningspotensiale, samt relativt lav naturlig bæreevne, må det vies spesielt oppmerksomhet i detaljprosjektering av fundamenteringsløsningen.

Innholdsfortegnelse

1	Innledning/ orientering	3
2	Krav til utredning	4
3	Kontroll	4
4	Krav til sikkerhet	4
4.1	Faregradklasse	4
4.2	Tiltakskategori og sikkerhetskrav	6
5	Topografi	6
6	Tidligere undersøkelser	6
7	Grunnundersøkelser	6
7.1	Omfang	6
7.2	Kvalitet	6
7.3	Grunnforhold	8
7.4	Grunnvann	9
7.5	Seismisk grunntype	9
8	Jordparametere	9
8.1	Styrkeparametere	9
8.2	Setningsparametere	9
9	Stabilitetsforhold	10
9.1	Generelt	10
9.2	Stabilitetsberegninger	10
9.3	Terreng-/lokalstabilitet	11
9.4	Områdestabilitet	11
9.5	Fyllinger og utgravinger	11
10	Fundamenteringsforhold	12
10.1	Generelt	12
10.2	Bæreevne	12
10.3	Setninger	12
10.4	Anbefalt fundamenteringsmetode	13
11	Konklusjon	13
12	Referanser	14
13	Oversikt tegninger og vedlegg	15

1 Innledning/ orientering

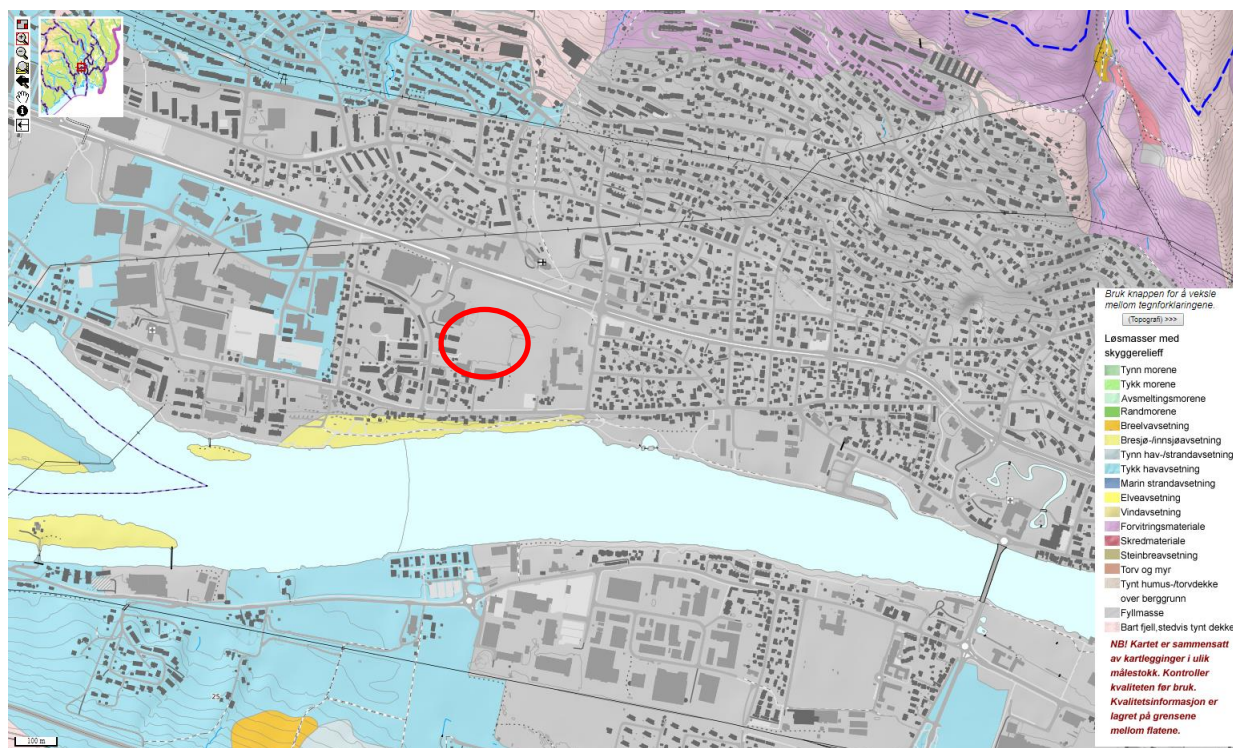
ØRP har etter oppdrag fra Drammen Eiendom KF/Stema Rådgivning AS engasjert Romerike Grunnboring AS til å utføre grunnundersøkelser på eiendom med gårds- og bruksnummer 116/1921 i Drammene kommune. Grunnundersøkelsene ble utført i perioden 28.05-04.06.2018.

Reguleringsområdet tenkes regulert for fremtidig oppføring av en fotballhall med nødvendig infrastruktur for veg og VA. Fotballhallen tenkes plassert på ca. 56m x 77m stor grunnflate, og bestående av 2 etasjer. Det er for ØRP ikke kjent planer for evt. fylling/terrengheving.

Grunnundersøkelsene skulle gi grunnlag for vurdering av grunn- og fundamenteringsforhold, samt vurdering av terreng- og områdestabilitet i forhold til kravet fra NVEs retningslinjer «Flom- og skredfare i arealplaner», jfr. ref./5/.

NGUs kvartærgeologiske kart indikerer fyllmasser over tykke havavsetninger i reguleringsområdet. Utførte grunnundersøkelser viser hovedsakelig leire ned til fjell (ca. 50m). Øverste 0.5m består av tørrskorpeleire eller stedvis fyllmasser, derunder bløt-middels fast leire. Drammenselven renner ca. 170m sør for reguleringsområdet, som er på kote ca. +10 m.o.h. og er ellers relativt flatt.

Nærmeste NVE registrerte kvikkleiresone er «Myre» med sonenr. 491 og faregrad «lav», og ligger ca.75m sør for reguleringsområdet. Det er stedvis avdekket sprøbruddeleire («kvikkleire») i grunnen i reguleringsområdet, fra ca. 30m under terreng.



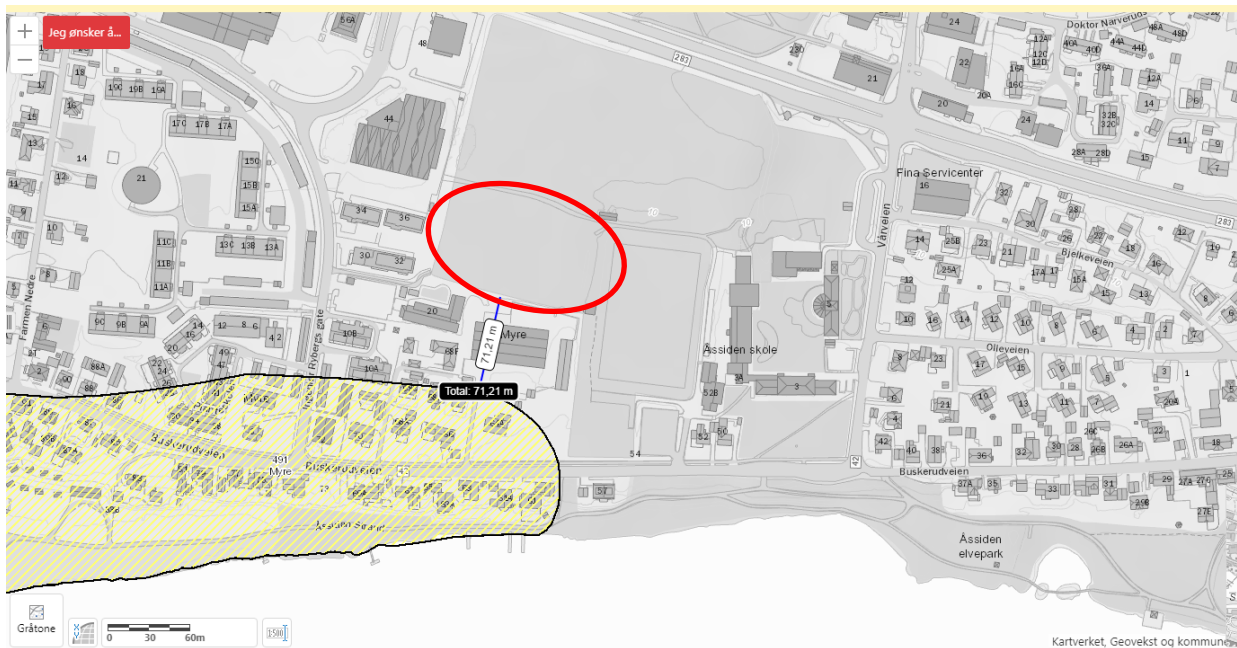


Fig. 3: Oversikt over kjente faresoner for kvikkleire rundt reguleringsområdet (kilde: <http://skredatlas.nve.no>).

2 Krav til utredning

For byggesaker må det tas hensyn til kravene i Plan- og bygningsloven (PBL) og byggeteknisk forskrift/byggesaksforskrift til loven (ref./3/ og /4/).

Ovennevnte lovverk viser til NVEs retningslinjer «Flaum- og skredfare i arealplaner» (ref. /5/). Her stilles det krav til geotekniske utredninger for planlegging og utbygging i områder under marin grense og ujevnt terreng (veileder til retningslinjene, ref. /6/).

Det ble funnet sprøbrudd-/(«kvikkleire») i grunnen. Utredningskrav ifølge ref. /5/ og /6/ må derfor hensyntas.

3 Kontroll

Det er utført sidemannskontroll i tillegg til egenkontroll av utført arbeid. NVE krever uavhengig kontroll av foreliggende rapport.

4 Krav til sikkerhet

4.1 Faregradklasse

Faregradsevalueringen av området, dvs. evaluering av skredsannsynlighet, utføres etter prosedyren i ref./6/, kap.4.5. Evalueringssystemet for kvikkleiresoner er vist i Fig.4. Poengene for hver faktor settes sammen av produktet av «vektall» og «score». Til slutt summeres poengene for hver faktor og en ender opp med en poengsum. Poengsummen bestemmer tildelingen av faregradsklassen som vist i Fig.6.

Faktorer	Vekt tall	Faregrad, score				
		3	2	1	0	
Tidligere skredaktivitet	1	Høy	Noe	Lav	Ingen	
Skråningshøyde, meter	2	>30	20 – 30	15 – 20	<15	
Tidligere/nåværende terrengnivå (OCR)	2	1,0-1,2	1,2-1,5	1,5-2,0	>2,0	
Poretrykk	3	> + 30	10 – 30	0 – 10	Hydrostatisk	
Overtrykk, kPa: Undertrykk, kPa:	-3	> - 50	-(20 – 50)	-(0 – 20)		
Kvikkleiremektighet	2	>H/2	H/2-H/4	<H/4	Tynt lag	
Sensitivitet	1	>100	30-100	20-30	<20	
Erosjon	3	Aktiv/glidn.	Noe	Lite	Ingen	
Inngrep:	3	forverring	Stor	Noe	Liten	Ingen
	-3	forbedring	Stor	Noe	Liten	
Sum		51	34	16	0	
% av maksimal poengsum		100 %	67 %	33 %	0 %	

Fig.4: Evaluering av faregrad etter ref./6/

- Det er registrert en rekke tidligere skred 1.5-3km unna reguleringsområdet iht. Skredatlas fra NVE. Skredaktivitet settes til «noe».
- Skråningshøyde/høydeforskjellen i terreng er ca. 17m (inkl. elvebunn).
- Leira vurderes til noe overkonsolidert (OCR=1.2-1.5).
- Det er målt 10kPa undertrykk.
- Kvikkleiremektighet er minst like stor som høydeforskjellen i terrenget.
- Sensitivitet er målt til opptil 37.
- Erosjonsgraden settes til «ingen», se avsnitt 9.3.
- Inngrep (evt. framtidig tiltak), gir lite forverring av stabiliteten.

Åssiden, Drammen kommune			
Faktorer	Vekttall	Score	Poeng (vekttall x score)
Tidligere skredaktivitet	1	2	2
Skråningshøyde, meter	2	1	2
Tidligere/nåværende terrengnivå (OCR)	2	2	4
Poreover/-undertrykk	3/-3	1	-3
Kvikkleiremektighet/Sprøbruddleiremekt.	2	3	6
Sensitivitet	1	2	2
Erosjon	3	0	0
Inngrep: forverring/forbedring	3/-3	1	3
SUM			16

Fig.5: Faregradsevaluering, Åssiden.

Poengsum	0 til 17	18 til 25	26 til 51
Faregradklasse	Lav	Middels	Høy

Fig.6: Faregradklasser

Ifølge Fig.6 tilordnes tiltaksområdet faregradsklasse «Lav» (dvs. lav sannsynlighet at et skred inntreffer). Merk at faregradsevalueringen er avhengig av inngrepet/tiltaket.

4.2 Tiltakskategori og sikkerhetskrav

Fremtidig tiltak med etablering av fotballhall vil ligge i **tiltakskategori K4**. Dermed vil krav til sikkerhet for områdestabilitet i reguleringsområdet ifm. fremtidig utbygging være ≥ 1.4 eller «forbedring» iht. NVE veileder /6/.

5 Topografi

Reguleringsområdet er relativt flatt, og ligger på ca. kote +10 m.o.h. Reguleringsområdet ligger ca. 170 nord for Drammenselven.

Laboratorieresultater er brukt for å tolke tidligere nivå på (erodert) havbunn (og tidligere havnivå), og begge er vurdert til være på kote +16 m.o.h. Leirmassene i området er såles noe overkonsolidert.

HydroTeam har 29.06.2018 målt inn bunnen av Drammenselven sør for reguleringsområdet slik vist i oversiktstegning V01a og vedlegg 7. Innmålingen er utført i UTM32-NN2000 koordinater. Elveskråningen under vann er ca. 1:5 bratt og ca. 6m dypt.

6 Tidligere undersøkelser

Grunnteknikk AS har utarbeidet en datarapport for Buskerudveien 64 /17/. Det er slik det er vist i oversiktstegning V01a tidligere utført 4 stk. totalsonderinger (GRT1-4). Sonderingene ble avsluttet på 20 eller 40 meter uten å finne sprøbrudd-/kvikkleire.

7 Grunnundersøkelser

7.1 Omfang

Romerike Grunnboring utførte grunnundersøkelser på reguleringsområdet i perioden 28.05-04.06.2018. De utførte grunnundersøkelsene omfatter 2.stk totalsonderinger (uten fjellboring), 8 stk. dreietrykkssonderinger, 1 stk. piezometer, 1 stk. CPTU og 4 stk. prøveserier. Totalsonderingene ble avsluttet etter boring i berg/antatt fjell, mens de dype dreietrykkssonderingene stoppet naturlig opp pga. for høy stangfriksjon iht. borfører. Totalt ble det tatt opp 5 stk. uforstyrrede jordprøver samt 16 stk. forstyrrede poseprøver. Prøvene ble analysert på geoteknisk laboratorium hos Multiconsult i Oslo. Det har blitt utført 4 stk. ødometerforsøk for bestemmelse av nivå på tidligere havbunn og jordas deformasjonsegenskaper. Borpunktene ble målt inn med GPS. Tegning V02a-j viser de utførte grunnundersøkelsene, mens vedlegg 2 viser laborierapporten.

De foreliggende opplysningene om grunnforhold anses som tilstrekkelig grunnlag for generell vurdering av grunn- og stabilitetsforhold. Prøvekvaliteter (se avsnitt 7.2) medfører at opplysningene er noe usikre til bruk som prosjekteringsunderlag for fundamenteringsløsning.

7.2 Kvalitet

Det ble utført 4 stk. ødometerforsøk fra prøver i borpunkt 9. Prøvekvalitetene er overordnet vurdert som akseptable. Bruddtøyingene fra enaksforsøkene ligger på 9-15% (dvs. «forstyrret») for prøvenummer 9-1-B og 9-4-B, og ca. 3-4.5% (dvs. «noe forstyrret») for de øvrige prøvene. Prøveforstyrrelsene vurdert ut ifra enaksforsøkene er med unntak av prøve 9-1-B i relativt godt samsvar med de mer avanserte metodene for evaluering av prøveforstyrrelser iht. figur 7 og 8.

Uforstyrrede Prøve			OCR [-]	Ødometer				
Pkt.	Dybde [m]	Prøvenr		Utpr. Vann [cm ³ eller g]	p'c kPa	$\Delta e/e_0$ [-]	ϵ_a [%]	M_o/M_L
9	1.5	9-1-B	2?	0.9 (5.0*)	50?	0.0478	2.2	1.8
9	4.5	9-2-B	2.4	1 (5.7*)	120	0.0554	2.5	1.7
9	7.5	9-3-B	1.4	1 (5.9*)	110	0.0522	2.6	2.0
9	12.5	9-4-B	1	1.8 (10.3*)	120	0.0975	4.5	2.16

Fig. 7: Jordprøveparametere etter ref./5/, /7/ og /9/. *gjelder volum tilsvarende prøveestykke for treaks.

Prøve nr	Prøvekvalitet				Kvalit. klasse (NVE)
	SVV - porevann (Ref./7/)	SVV - poretall (Ref./7/)	NGI (Ref./9/)	NVE (Ref./5/)	
9-1-B	Akseptab. til god	God til bra?	God til akseptabel	Akseptabel?	1?
9-2-B	Akseptabel	Dårlig	God til akseptabel	Akseptabel	1
9-3-B	Akseptabel	God til bra	God til akseptabel	Akseptabel	1
9-4-B	Dårlig	Dårlig	Dårlig-Akseptabel	Forstyrret	2

Fig. 8: Jordprøvekvaliteter etter ref./5/, /7/ og /9/

Kvaliteten på CPTU sonderingsdata er instrumentavhengig (temperaturfølsomhet kalibreringsfeil, ikke-linearitet, hysteres, oppløsning) og avhengig av utførelse (nullpunktavvik, poretrykksrespons).

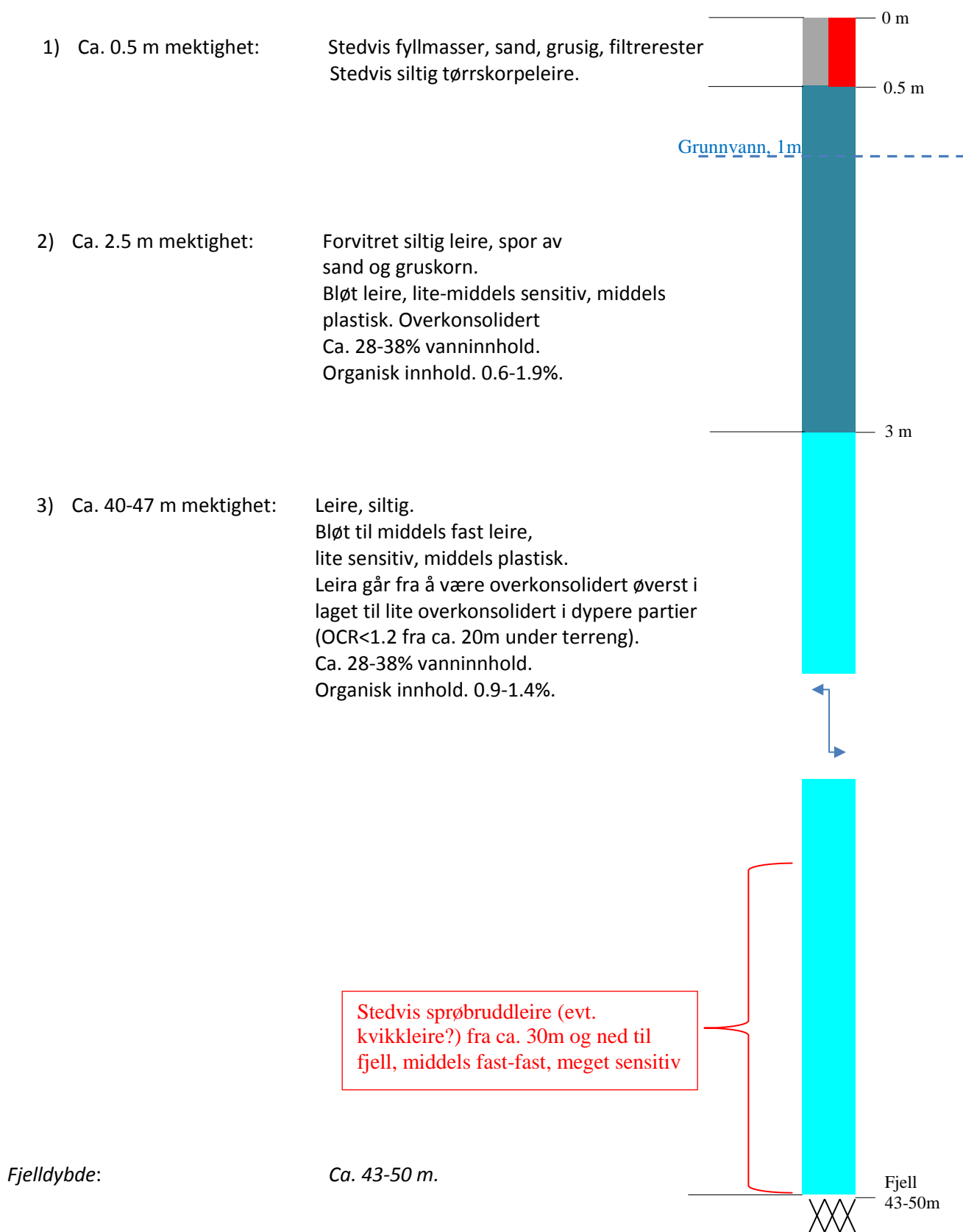
Tabell nedenfor gir en oversikt over kvaliteten av foreliggende CPTU data. Klassifiseringen gjelder kun nullpunktavvik og poretrykksrespons. CPTU sonderingsdata vurderes som godt egnet for jordparametertolkning. Verdiene på avvikene vil være avhengig av målepunktet i dybden. Kvaliteten på CPTU data er ansett som **akseptabel**.

Sondering		Anvendelsesklasse (kun nullpunktavvik)		
Pkt.	Dybdeintervall [m]	Spissmotstand	Friksjon	Poretrykk
9/ 9NY	2 – 43	Absolutt krav: 2 %-vis krav: Udefinert	Absolutt krav: 1 %-vis krav: Vekselvis 1-2 ml. 2-5.8m, 4 fra 5.8-7.3m, 2 fra 7.3-13.2m, 1 fra ca. 13.2m,	Absolutt krav: 1 %-vis krav: 1
<p>Kommentar: Poretrykkstallet (B_q) er som følger: 2m-7m: $0.2 < B_q < 0.4$ 7m-30m: $0.4 < B_q < 0.8$ 30m-43m: $0.8 < B_q < 1.1$</p> <p>Stanghelning: ca. 0°-2° mellom 2-11m ca. 2°-11° mellom 11-43m, ca. lineært økende.</p>				

Fig. 9: Kvalitet CPTU etter ref./12/.

7.3 Grunnforhold

Grunnforhold i reguleringsområdet ble tolket vha. feltdata og laboratorieundersøkelser. Følgende lag i grunnen ble tolket:



7.4 Grunnvann

Grunnvannsnivå (GV) er variabelt og avhenger av bl.a. av årstid og nedbørsforhold. De høyeste nivåene oppstår vanligvis i perioder rundt vårløsning/snøsmelting og etter lange perioder med regn om våren/høsten.

Poretrykk ble målt 25.06.18, vha. hydraulisk piezometer med spissen 10m under terreng (kote +0.3 m.o.h.). Det ble målt trykkehøyde på ca. 9m, dvs. ca. 90kPa poretrykk. Dette kan ekvivalent tolkes som at nivå på grunnvannsspeilet ligger 1m under dagens terreng, altså på ca. kote +9.3 m.o.h. Det antas hydrostatisk poretrykksfordeling under grunnvannsspeilet.

Ifm. evt. gravearbeider kan det ut i fra erfaring forventes å finne noe overvann i overgangen mellom tørrskorpeleire og forvittringslaget, på ca. 0.5m under terreng. Med overvann menes her nedbørsvann som har siget gjennom overflaten.

7.5 Seismisk grunntype

Skjærbølgehastigheten ($v_{s,30}$) er beregnet iht. /18/ for øverste 30m meter jordlag til ca. 180-200 m/s. Beregnede skjærbølgehastigheter ligger i overgangssonen mellom grunntype C og D. Tatt i betraktning skjærfastheten i grunnen, samt stedvis underliggende sprøbruddeleire (evt. kvikkleire) fra 30m, settes grunntype noe forsiktig til **grunntype D**.

8 Jordparametere

8.1 Styrkeparametere

Tolkning av styrkeparametere ble utført ved hjelp av lab- og feltdata, samt erfaringsverdier fra ref./7/. Skjærstyrkeparametere i de ulike lagene er gitt under (se vedlegg 3 og 4):

Lag	Friksjonsvinkel « ϕ » [°]	Kohesjon «c» [kPa]	Aktiv udrenert skjærfasthet, S_uA [kPa]
1)	32	3	-
2)	28	3	-
3)	-	-	Se, vedlegg 3.

Fig. 10: Oversikt over styrkeparametere.

8.2 Setningsparametere

Det har blitt tolket setningsparametere basert på vanninnholdet i grunnen, via korrelasjonsfaktorer fra Karlsrud /9/, samt ødometerforsøk fra laboratoriet. Tolkning av setningsparametere er gitt i vedlegg 5 og 6.

Lag	Overkons. Modul, M_0 [MPa]	Normalkons modultall, m [-]	Forkons. Spenning, σ'_c [kPa]	Overkons. Konsolidering skoeffisient, $C_{v,oc}$ [m ² /år]	Normalkons. Konsolidering skoeffisient, $C_{v,nc}$ [m ² /år]	Stigningstall for konsolide. m_{cv} [m ² /år/kPa]
1)	5	20	50-55	40	15	0,025
2)	5	20	55-75	40	15	0.01
3a) 3-7m	5	20	75-110	40	15	0.01
3b) 7m-50m	5-20	20-30	110-500			

Fig. 11: Oversikt setningsparametere.

9 Stabilitetsforhold

9.1 Generelt

Følgende ADP-forhold mellom aktiv-, direkte- og passiv skjærstyrke ble valgt (inkl. reduksjonsfaktorer for S_{uA}):

Su forhold	Initiell ADP forhold	Reduksjon for «strain softening» og tøyningsskompatibilitet, %	Effektiv ADP forhold
S_{uA}/S_{uA}	1	15%	0.85
S_{uD}/S_{uA}	0.63	5%	0.60
S_{uP}/S_{uA}	0.35	15% (særlig konservativt!)	0.30

Fig. 10: Oversikt over ADP-forhold inklusive reduksjonsfaktorer for S_{uA}

9.2 Stabilitetsberegninger

Det ble vha. programmet «Beast 2009» i Geosuite Stability, jfr. ref./8/, utført stabilitetsberegninger av terrenget i snitt A-A. Tegning V03 viser stabilitetsberegning med antatte konservative bygningslaster fra fremtidig tiltak. Stabilitetsberegningene ble utført via både sirkulære og sammensatte glideflater. Det er ikke tatt hensyn til 3D-effekter, hvilket er konservativt.

Case	Beregnet sikkerhetsfaktor	Krav til sikkerhet	Kommentar
Glideflater som når tilbake til reguleringsområdet, Dagens situasjon	1.41	-	OK!
Glideflater som når tilbake til reguleringsområdet, Etter oppføring av fotballhall	1.41	≥ 1.40 Eller forbedring	OK!
Skråning ved Drammenselven, Dagens situasjon	1.09	-	Ikke ok, se avsnitt 9.4.
Skråning ved Drammenselven, Etter oppføring av fotballhall	1.09	≥ 1.40 Eller forbedring	Ikke ok, se avsnitt 9.4.

Fig. 12: Oversikt over stabilitetsberegninger for skråninger i/rundt reguleringsområdet.

9.3 Terreng-/lokalstabilitet

Stabilitetsberegninger for lange/dype glideflater som når tilbake til reguleringsområdet gir sikkerhetsfaktor før og etter fremtidig tiltak på ca. 1.41, altså større enn minimumskravet på 1.40. **Terreng-/lokalstabilitet er tilfredsstillende.**

9.4 Områdestabilitet

Ettersom skråningen i sør ved Drammenelven ligger nærmere reguleringsområdet enn $15 \times H$, hvor H er høydeforskjellen i terrenget (inkludert terreng under Drammenselva), er stabiliteten av denne skråningen av relevanse for reguleringsområdet. $15 \times H$ utgjør $15 \times 17\text{m} = 255\text{m}$ målt fra foten av skråningen (under vann). Stabilitetsberegninger av elveskråningen ga sikkerhetsfaktor på 1.09 , altså under minstekravet på 1.40 .

Det er derfor foretatt en nærmere vurdering av løsneområdet/løsnedistansen som følge av et evt. initialskred ved Drammenselven iht. NIFS rapport /15/. Etter en samlet vurdering basert på metodikken i /15/ oppnås det en poengsum 13, hvilke fører til en retrogresjonsdistanse/løsnedistanse på $L = 8 \times H$. Med skråningshøyder på inntil 17m, er maksimal retrogresjonsdistanse/løsnedistanse 136m. Reguleringsområdet ligger 225m fra foten av skråningen, og vil derav ikke kunne bli rammet av et evt. tilbakegripende/retrogressivt skred.

Nærmeste NVE beregnet utlpsområde (overflateskred) iht. NVE skredatlas ligger ca. 350 nord for reguleringsområdet. Reguleringsområdet vil ikke kunne rammes av evt. skredmasser (løsmasser ifm. et evt. skred) fra høyere liggende terreng.

Områdestabilitet er tilfredsstillende.

9.5 Fyllinger og utgravinger

Evt. fyllinger anbefales detaljprosjektert av geotekniker pga. setningsømfintlig grunn, se avsnitt 10.3. Mindre utgravinger (inntil 1m) er ansett som uproblematisk. Evt. større utgravinger kan vurderes nærmere.

10 Fundamenteringsforhold

10.1 Generelt

Laboratorieundersøkelser på jordprøver viser masser med organisk innhold på 0.6-1.9%. Dette er innenfor terskelverdiene på 2.5-3.0%.

I borpunkt 4 er det påvist 0.5m med fyllmasser av sand med bl.a. filtrerester. **Fyllmasser er uegnet til fundamentering pga. usikkerhet i komprimeringsgraden, og anbefales masseutskiftet.** Det anbefales å legge seperasjonsduk mellom naturlige løsmasser og utskiftningsmasser ifm. masseutskiftningen.

Grunnen består av meget telefarlige masser (telegruppe T4) i relevant fundamenteringsdybde. Dette må tas hensyn til ved prosjektering av nødvendig frost-/markisolasjon av grunnmur/gulv, samt veg og ledninger/rør etc.

10.2 Bæreevne

Grunnens bæreevne er bl.a. avhengig av fundamentbredde, fundamenteringsdybde, samt opptredende laster. Initielle bæreevnevurderinger viser at bæreevnen kan komme under 100kPa, hvilket er ansett som relativt lav bæreevne. Det har blitt beregnet bæreevne både på effektivspennings basis og totalspennings basis. Det må utføres nærmere bæreevneberegninger ifm. senere detaljprosjektering av fundamenteringsløsning.

Fundamentenes bæreevne må sees i sammenheng med setningspotensiale i grunnen, se avsnitt 10.3.

10.3 Setninger

I likhet med bæreevne vurderingene vil detaljene rundt faktiske fundamenteringsforhold være svært avgjørende for forventede setninger. Øverste lag av tørrskorpe er ikke mer enn 0.5m tykt, hvilket fører til at en i praksis fort overfører fundamentkrefter direkte til underliggende bløt leire. Noe forstyrrede ødometerforsøk fra de øverste lagene gir forkonsolideringsspenninger på ca. 50-100kPa. Dersom spenningene i jorda overstiger disse spenningsnivåene, vil en både få utfordringer med bæreevnen, men også setningene. Pga. allerede opptredende egenspenninger i jord, betyr dette i praksis at det er enda mindre fundamentspenninger som kan påføres jorda enn det som er skissert ovenfor.

Det har blitt utført initielle setningsberegninger i GeoSuite Settlement /8/. Det er da antatt 0.5m brede stripefundamenter med 100kPa grunntrykk. Beregnede setninger er noe usikker, og setningene kommer opp over tillatte setninger på 5cm. I tillegg forventes det krypsetninger i størrelsesorden 5cm. Avhengig av faktiske last- og fundamenteringsløsning vil samlede setninger/skjevsetninger (konsoliderings- og krypsetninger) kunne være i størrelsesorden 10cm, hvilke er over terskelverdier gitt i Norsk-Europeisk standard /1/.

Evt. fylling/terrengheving kan gi vesentlig setninger.

Setningene kommer gradvis i takt med utbyggingen, og forventes å pågå i flere tiår. Halvparten av setningene forventes unnagjort innen 1-2 år.

10.4 Anbefalt fundamenteringsmetode

Fyllmasser anbefales masseutskiftet slik beskrevet i avsnitt 10.1. For øvrig anbefales bygget direkte-/grunn fundamentert med såler med f.eks. punkt- og/eller stripefundamenter. Fundamentbreddene, evt. koblingen mellom gulv og fundament (evt. armert kobling) må detaljeres nærmere basert på detaljprosjektering. Pga. relativ stor setnings-/skjevsetningspotensiale anbefales det at detaljprosjekteringen ikke overlates alene til en RIB eller leverandør av ferdigløsninger for konstruksjoner, men at det utføres i samråd med en geoteknisk rådgiver.

Det er også et alternativ å masseutskifte arealene under (og noe utover) fundamentene med sprengstein for å øke bæreevnen, samt redusere setningene, alternativt kalk-sement stabilisere øverste 10m med jordlag.

Det er i prinsippet mulig å pele bygget ned til fjell, hvilket muligens kan bli noe prosjektøkonomisk utfordrende pga. dybder ned til fjell (ca. 50).

ØRP kan detaljprosjekttere fundamenteringsløsningen ved fremtidig tiltak, slik at grunnens bæreevne ikke overskrides, samt at setningene er innenfor toleranseverdiene gitt i Norsk-Europeisk standard /1/.

Fundamentene/gulvet må stå på et minst 10cm tykt lag av kapillarbrytende masser.

11 Konklusjon

Reguleringsplanen er generelt gjennomførbart ift. geoteknikk.

Det er funnet sprøbruddleire («kvikkleire») i reguleringsområdet. **Terreng- og områdestabilitet er tilfredsstillende.**

Steder med fyllmasser anbefales masseutskiftet.

Pga. relativt stor setningspotensiale, samt relativt lav naturlig bæreevne, må det vies spesielt oppmerksomhet i detaljprosjektering av fundamenteringsløsningen, og dette bør utføres i samråd med en RIB og RIG i fellesskap. Ved valg av f.eks. riktig fundamentstørrelse vil bæreevne- og setningsproblematikken kunne tilfredsstille kravene i norsk-europeisk standard /1/.

ØRP kan bistå med videre geotekniske utredninger og/eller detaljprosjektering av fundamenteringsløsningen.

Sign.

Ismail Aricigil

Senior Siv.ing. / M.Sc.

Geoteknisk rådgiver

12 Referanser

- /1/ Norsk-/ Europeisk Standard, NS-EN 1997-1:2004+NA:2008: «Geoteknisk prosjektering – Del1: Allmenne regler», 2008.
- /2/ Norsk-/ Europeisk Standard, NS-EN 1990:2002+A1:2005+NA:2016: «Grunnlag for prosjektering av konstruksjoner», 2016.
- /3/ Direktoratet for byggkvalitet, Byggteknisk forskrift: SAK 10, 2016.
- /4/ Direktoratet for byggkvalitet, Byggesaksforskriften: TEK 10, 2016.
- /5/ NVE, retningslinjer: Flom- og skredfare i arealplaner, 2011.
- /6/ NVE, veileder: «Sikkerhet mot kvikkleireskred - Vurdering av områdestabilitet ved arealplanlegging og utbygging i områder med kvikkleire og andre jordarter med sprøbruddegenskaper», 2014.
- /7/ Statens vegvesen, Veiledning: Håndbok V220 «Geoteknikk i vegbygging», 2010.
- /8/ Vianova GeoSuite AB 2014, Geoteknisk programpakke: Novapoint GoeSuite Toolbox 15.1.2.0.
- /9/ NGI, K. Karslud & F.G. Hernandez-Martinez, «Strength and deformation properties of Norwegian clays from laboratory test on high-quality block samples, 2013
- /10/ NS-EN 1998-1:2004+A1:2013+NA:2014, Eurokode 8: «Prosjektering av konstruksjoner for seismisk påvirkning Del 1: Allmenne regler, seismiske laster og regler for bygninger»
- /11/ NS-EN 1998-5:2004+NA:2014, Eurokode 8: Prosjektering av konstruksjoner for seismisk påvirkning - Del 5: Fundamenter, støttekonstruksjoner og geotekniske forhold, 2014
- /12/ Norsk Geoteknisk Forening, NGF, Melding nr 5 «Veiledning for utførelse av trykksondering», Rev nr 3, 2010
- /13/ Veiledning ved små inngrep i kvikkleiresoner, NGI/NVE
- /14/ NIFS Rapport 8-2016, Grense mellom lokal- og områdestabilitet
- /15/ NIFS Rapport 14-2016, Metode for vurdering av løsne- og utløpsområder for områdeskred
- /16/ Norsk-/ Europeisk Standard, NS-EN 1997-2+NA:2008: «Geoteknisk prosjektering – Del2: Prosjektering basert på grunnundersøkelser og laboratorieprøver», 2008.
- /17/ Grunnteknikk AS, Geoteknisk datarapport 112129, «Buskerudveien 64 Grunnundersøkelser», 20.04.2016
- /18/ NGI, "Correlations between shear wave velocity and geotechnical parameters in Norwegian calys", J. S. L'Heureux et.al., 2016.

13 Oversikt tegninger og vedlegg

Tegning V01a: Oversiktstegning 1:2000
Tegning V01b: Oversiktstegning 1:400
Tegning V02a: Grunnundersøkelser bp 1
Tegning V02b: Grunnundersøkelser bp 2
Tegning V02c: Grunnundersøkelser bp 3
Tegning V02d: Grunnundersøkelser bp 4
Tegning V02e: Grunnundersøkelser bp 5
Tegning V02f: Grunnundersøkelser bp 6
Tegning V02g: Grunnundersøkelser bp 7
Tegning V02h: Grunnundersøkelser bp 8
Tegning V02i: Grunnundersøkelser bp 9 del 1 av 2
Tegning V02j: Grunnundersøkelser bp 9 del 2 av 2
Tegning V03: Stabilitetsberegning Snitt A-A, Etter tiltak

Vedlegg 1: Koordinatliste feltundersøkelser
Vedlegg 2: Laboratorieundersøkelser
Vedlegg 3: Tolkning av S_{uA} , fra CPTU borhull 9NY
Vedlegg 4: Tolkning av friksjonsvinkel fra CPTU borhull 9NY
Vedlegg 5: Tolkning av Stivhetsmodul M_0
Vedlegg 6: Tolkning av modultall m
Vedlegg 7: Elvebunnsprofiler fra HydraTeam
Vedlegg 8: Tegnforklaring



Bunnprofil 1

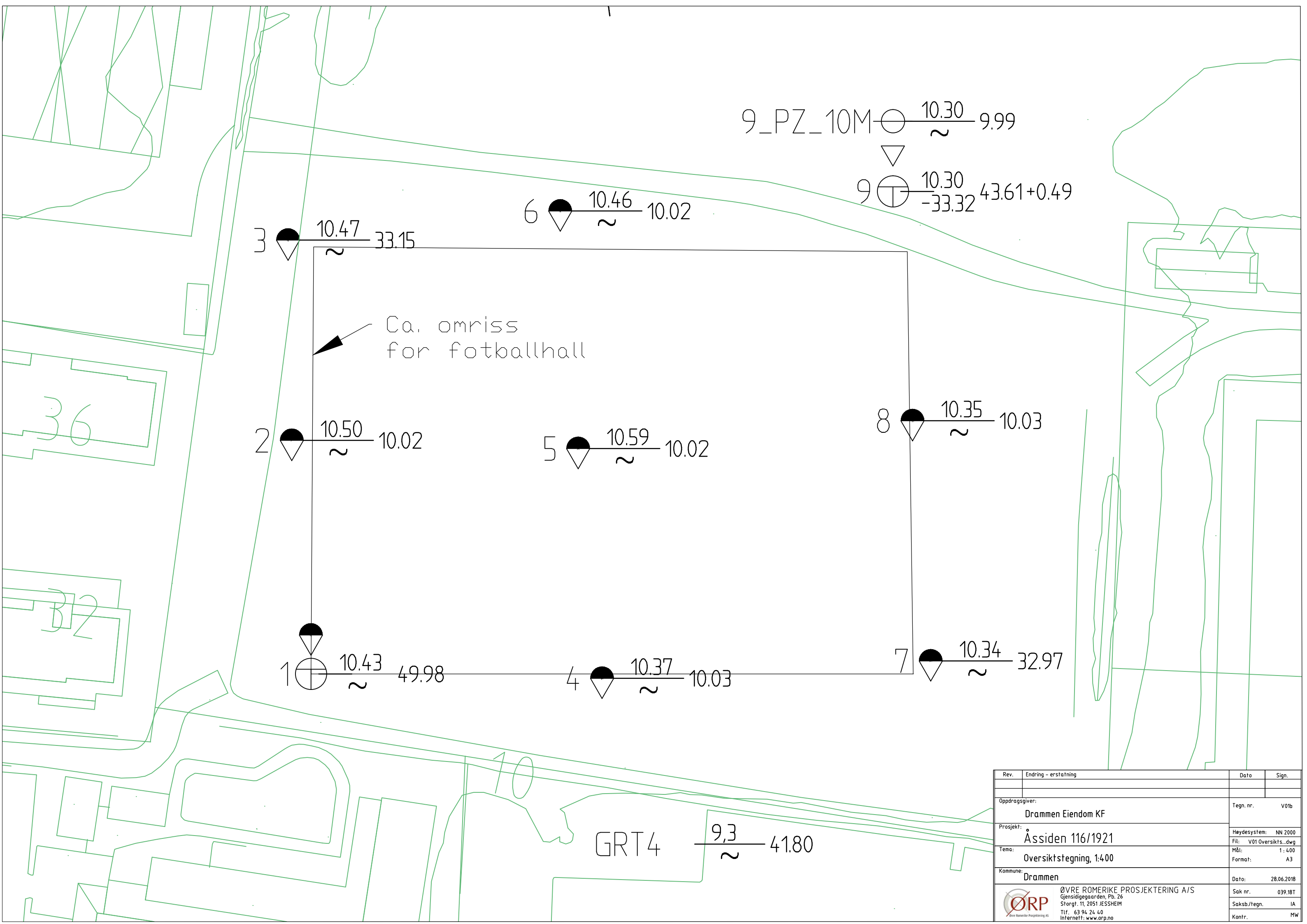
Bunnprofil 2

DRAMMENSELVA

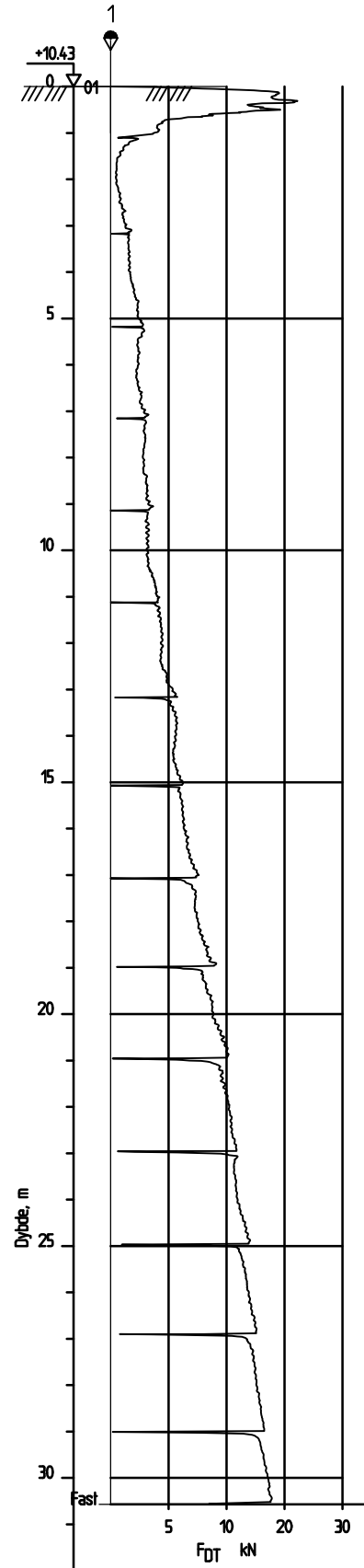
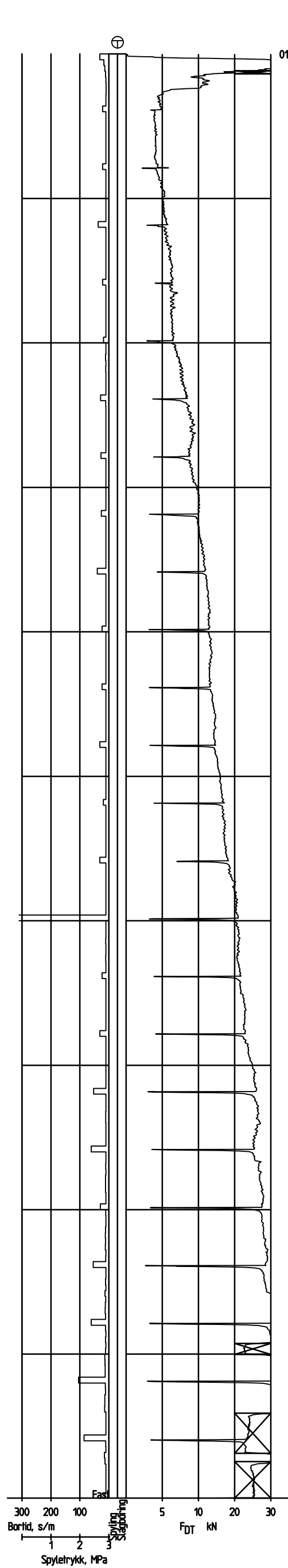
Bunnprofil 3

Bunnprofil 4

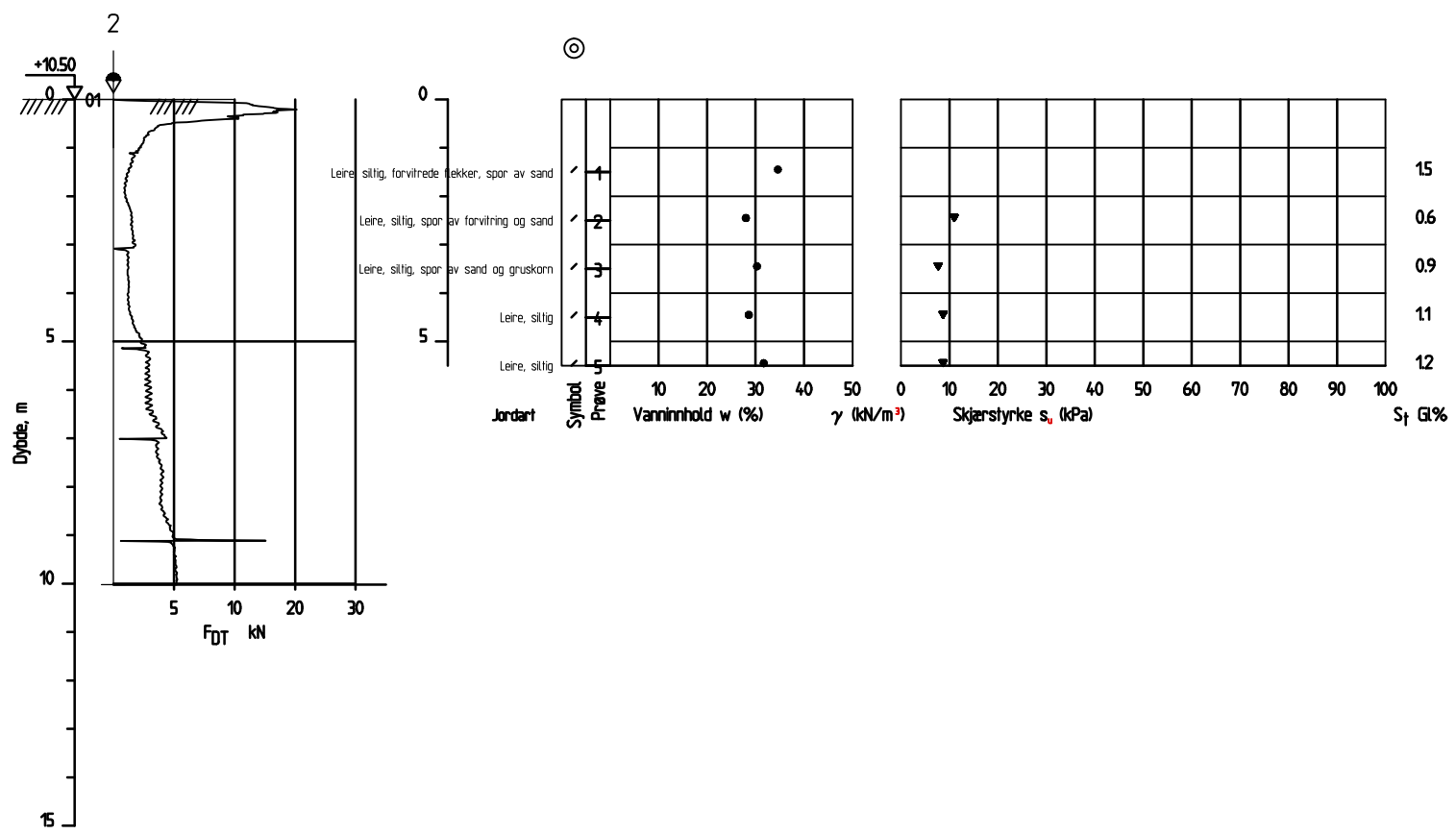
Rev.	Endring - erstatning	Dato	Sign.
Oppdragsgiver: Drammen Eiendom KF		Tegn. nr.	V01a
Prosjekt: Åssiden 116/1921		Høydesystem:	NN 2000
Tema: Oversiktstegning, 1:2000		Format:	A3
Kommune: Drammen		Date:	28.06.2018
 ØVRE ROMERIKE PROSJEKTERING A/S Gjesdigegården, Pb. 26 Storgt. 11, 2051 JESSHEIM Tlf. 63 94 24 40 Internett: www.orp.no		Sak nr.:	039.18T
		Saksb./tegn.	IA
		Kontr.	MW



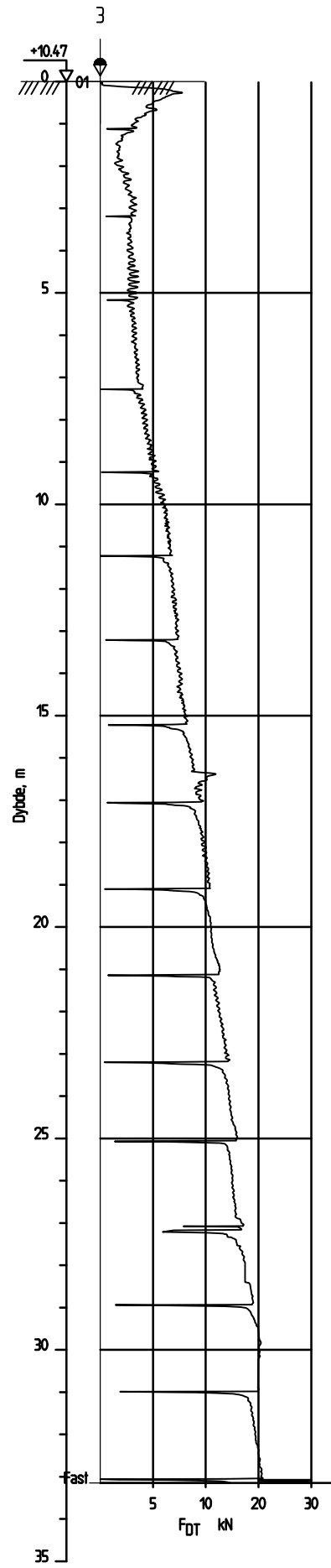
Rev.	Endring - erstatning	Date	Sign.
Oppdragsgiver:		Tegn. nr.	V01b
Drammen Eiendom KF			
Prosjekt:		Høydesystem:	NN 2000
Åssiden 116/1921		Fil:	V01 Oversikts...dwg
Tema:		Mål:	1:400
Oversiktstegning, 1:400		Format:	A3
Kommune:		Date:	28.06.2018
Drammen			
 ØVRE ROMERIKE PROSJEKTERING A/S Gjesdigegården, Pb. 26 Storgt. 11, 2051 JESSHEIM Tlf. 63 94 24 40 Internett: www.orp.no		Sak nr.:	039.18T
		Saksb./tegn.:	IA
		Kontr.:	MW



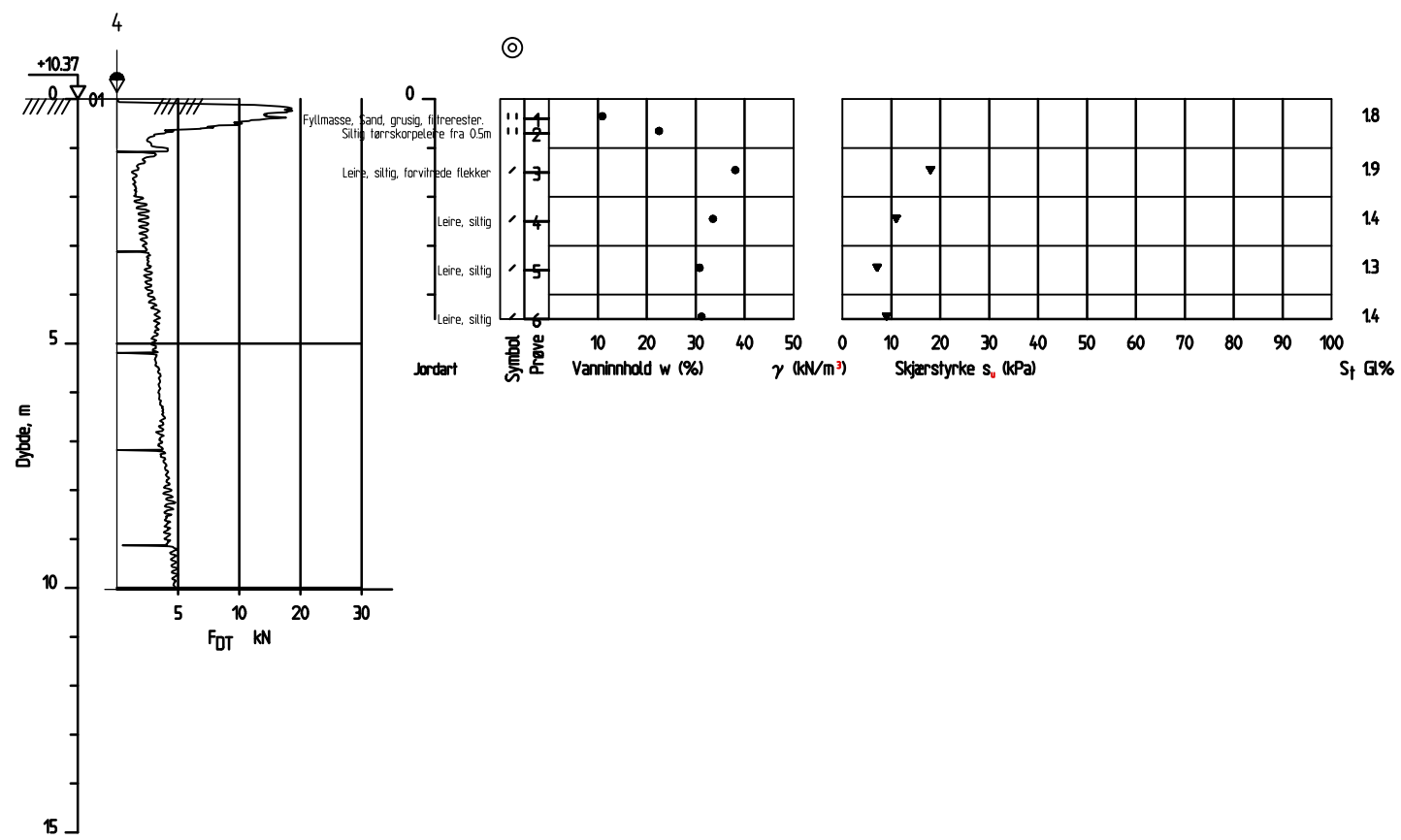
Rev.	Endring - erstatning	Dato	Sign.
Oppdragsgiver:		Tegn. nr.	V02a
Drammen Eiendom KF		Høydesystem:	NN 2000
Prosjekt:		Fil:	V02a Grunnund...dwg
Åssiden 116/1921		Mål:	1:150
Tema:		Format:	A3
Grunnundersøkelser borpunkt 1		Dato:	02.07.2018
Kommune:		Sak nr.	039.18T
Drammen		Saksb./tegn.	IA
 ØVRE ROMERIKE PROSJEKTERING A/S Gjenstidigearden, Pb. 26 Storgt. 11, 2051 JESSHEIM Tlf. 63 94 24 40 Internett: www.orp.no		Kontr.	MW



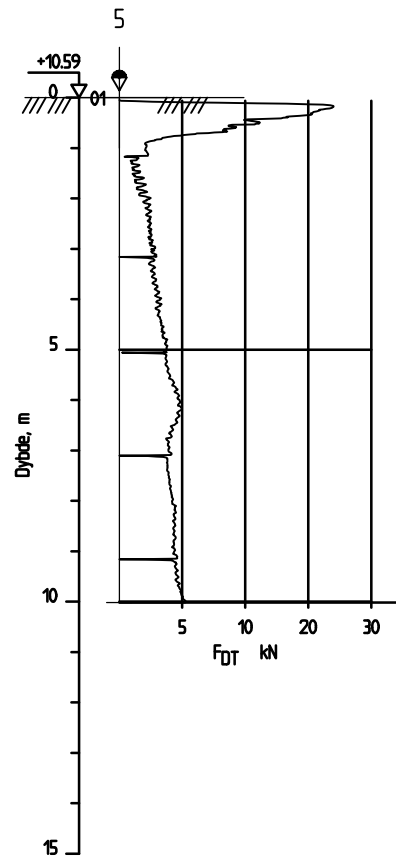
Rev.	Endring - erstatning	Dato	Sign.
Oppdragsgiver:		Tegn. nr.	V02b
Drammen Eiendom KF			
Prosjekt:		Høydesystem:	NN 2000
Åssiden 116/1921		Fil:	V02b Grunnund...dwg
Tema:		Mål:	1:150
Grunnundersøkelser borpunkt 2		Format:	A3
Kommune:		Dato:	02.07.2018
Drammen			
 ØVRE ROMERIKE PROSJEKTERING A/S Gjenstidigearden, Pb. 26 Storgt. 11, 2051 JESSHEIM Tlf. 63 94 24 40 Internett: www.orp.no		Sak nr.	039.18T
		Saksb./tegn.	IA
		Kontr.	MW



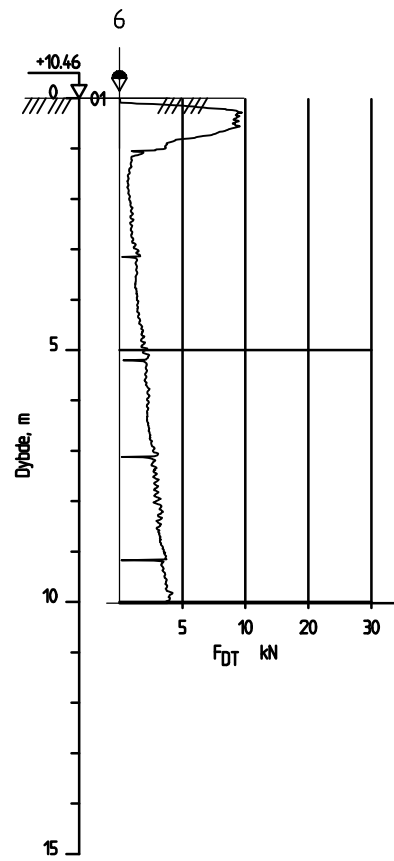
Rev.	Endring - erstatning	Dato	Sign.
Oppdragsgiver: Drammen Eiendom KF		Tegn. nr.	V02c
Prosjekt: Åssiden 116/1921		Høydesystem:	NN 2000
Tema: Grunnundersøkelser borpunkt 3		Fil:	V02c Grunnund...dwg
		Mål:	1:150
		Format:	A3
Kommune: Drammen		Dato:	02.07.2018
 ØVRE ROMERIKE PROSJEKTERING A/S Gjenstidigearden, Pb. 26 Storgt. 11, 2051 JESSHEIM Tlf. 63 94 24 40 Internett: www.orp.no		Sak nr.	039.18T
		Saksb./tegn.	IA
		Kontr.	MW



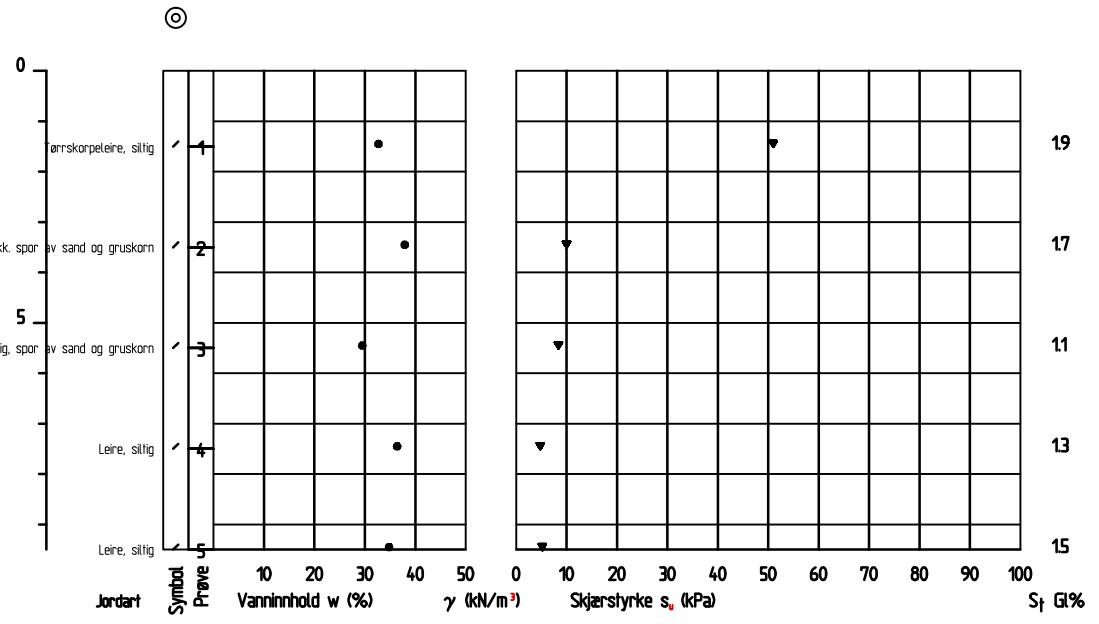
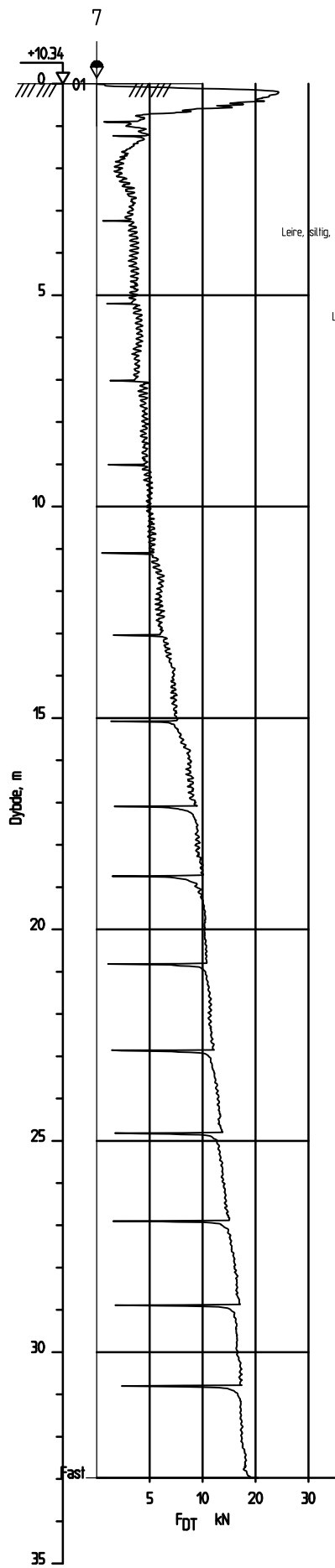
Rev.	Endring - erstatning	Dato	Sign.
Oppdragsgiver:		Tegn. nr.	V02d
Drammen Eiendom KF		Høydesystem:	NN 2000
Prosjekt:		Fil:	V02d Grunnund...dwg
Åssiden 116/1921		Mål:	1:150
Tema:		Format:	A3
Grunnundersøkelser bopunkt 4		Dato:	02.07.2018
Kommune:		Sak nr.	039.18T
Drammen		Saksb./tegn.	IA
 ØVRE ROMERIKE PROSJEKTERING A/S Gjenstidigearden, Pb. 26 Storgt. 11, 2051 JESSHEIM Tlf. 63 94 24 40 Internett: www.orp.no		Kontr.	MW



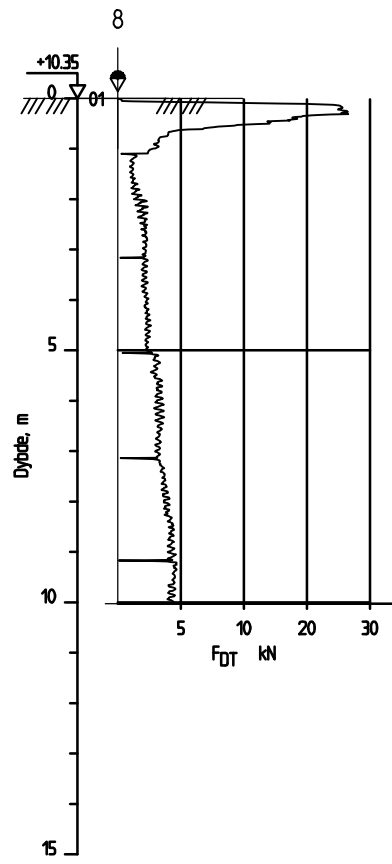
Rev.	Endring - erstatning	Dato	Sign.
Oppdragsgiver:		Tegn. nr.	V02e
Drammen Eiendom KF		Høydesystem:	NN 2000
Prosjekt:		Fil:	V02e Grunnund...dwg
Åssiden 116/1921		Mål:	1:150
Tema:		Format:	A3
Grunnundersøkelser bopunkt 5		Dato:	02.07.2018
Kommune:		Sak nr.	039.18T
Drammen		Saksb./tegn.	IA
 ØVRE ROMERIKE PROSJEKTERING A/S Gjenstidigearden, Pb. 26 Storgt. 11, 2051 JESSHEIM Tlf. 63 94 24 40 Internett: www.orp.no		Kontr.	MW



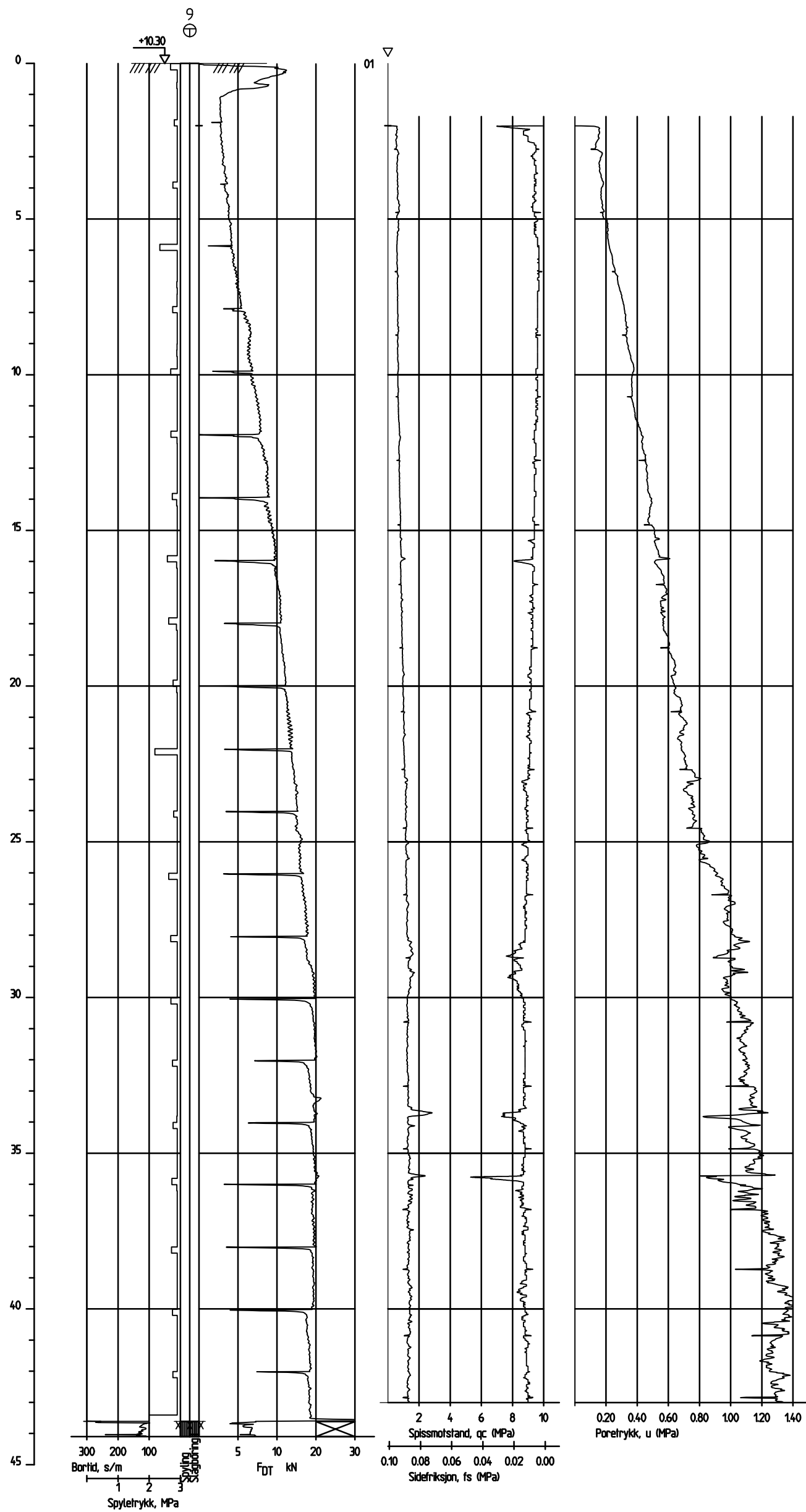
Rev.	Endring - erstatning	Dato	Sign.
Oppdragsgiver:		Tegn. nr.	V02f
Drammen Eiendom KF			
Prosjekt:		Høydesystem:	NN 2000
Åssiden 116/1921		Fil:	V02f Grunnund...dwg
Tema:		Mål:	1:150
Grunnundersøkelser bopunkt 6		Format:	A3
Kommune:		Dato:	02.07.2018
Drammen			
 ØVRE ROMERIKE PROSJEKTERING A/S Gjenstidigearden, Pb. 26 Storgt. 11, 2051 JESSHEIM Tlf. 63 94 24 40 Internett: www.orp.no		Sak nr.	039.18T
		Saksb./tegn.	IA
		Kontr.	MW



Rev.	Endring - erstatning	Dato	Sign.
Oppdragsgiver:		Tegn. nr.	V02g
Drammen Eiendom KF			
Prosjekt:		Høydesystem:	NN 2000
Åssiden 116/1921		Fil:	V02g Grunnund...dwg
Tema:		Mål:	1:150
Grunnundersøkelser borpunkt 7		Format:	A3
Kommune:		Dato:	02.07.2018
Drammen		Sak nr.	039.18T
 ØVRE ROMERIKE PROSJEKTERING A/S Gjenstidigearden, Pb. 26 Storgt. 11, 2051 JESSHEIM Tlf. 63 94 24 40 Internett: www.orp.no		Saksb./tegn.	IA
		Kontr.	MW

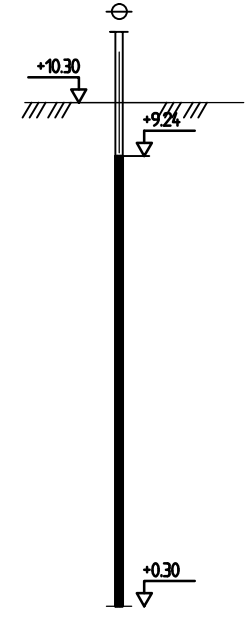
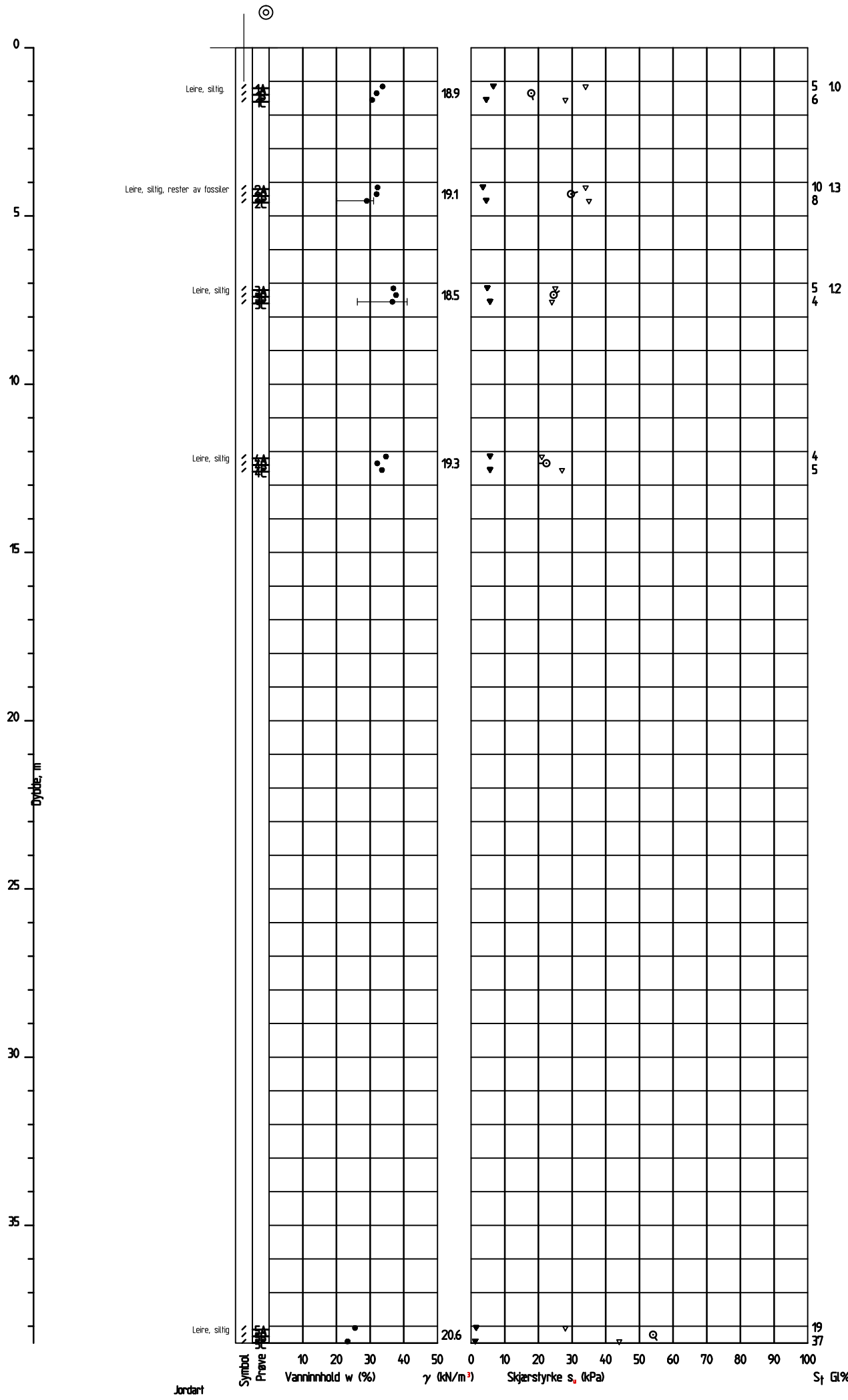


Rev.	Endring - erstatning	Dato	Sign.
Oppdragsgiver:		Tegn. nr.	V02h
Drammen Eiendom KF			
Prosjekt:		Høydesystem:	NN 2000
Åssiden 116/1921		Fil:	V02h Grunnund...dwg
Tema:		Mål:	1:150
Grunnundersøkelser bopunkt 8		Format:	A3
Kommune:		Dato:	02.07.2018
Drammen			
ØVRE ROMERIKE PROSJEKTERING A/S Gjenstidigearden, Pb. 26 Storgt. 11, 2051 JESSHEIM Tlf. 63 94 24 40 Internett: www.orp.no		Sak nr.	039.18T
		Saksb./tegn.	IA
		Kontr.	MW



Rev.	Endring - erstatning	Dato	Sign.
Oppdragsgiver:		Tegn. nr.	V02i
Drammen Eiendom KF			
Prosjekt:		Høydesystem:	NN 2000
Åssiden 116/1921		Fil:	V02i Grunnund...dwg
Tema:		Mål:	1:150
Grunnundersøkelser borpunkt 9, del 1 av 2		Format:	A3
Kommune:		Dato:	02.07.2018
Drammen		Sak nr.	039.18T
 ØVRE ROMERIKE PROSJEKTERING A/S Gjenstøtgegaarden, Pb. 26 Storgt. 11, 2051 JESSHEIM Tlf. 63 94 24 40 Internett: www.orp.no		Saksb./tegn.	IA
		Kontr.	MW

9_PZ_10M



Rev.	Endring - erstatning	Dato	Sign.
Oppdragsgiver:		Tegn. nr.	V02j
Drammen Eiendom KF		Høydesystem:	NN 2000
Prosjekt:		Fi:	V02j Grunnund...dwg
Åssiden 116/1921		Mål:	1:150
Tema:		Format:	A3
Grunnundersøkelser borpunkt 9, del 2 av 2		Dato:	02.07.2018
Kommune:		Sak nr.	039.18T
Drammen		Saksb./tegn.	IA
 ØVRE ROMERIKE PROSJEKTERING A/S Gjenstidigeaarden, Pb. 26 Storgt. 11, 2051 JESSHEIM Tlf. 63 94 24 40 Internett: www.orp.no		Kontr.	MW

$$F_c = 1.41$$

Material	Un.Weigth	Sub.Weigth	Fi	C'	C	Aa	Ad	Ap
TS	19.00	9.00	32.0	3.0				
FVL	19.00	9.00	28.0	3.0				
LR	19.00	9.00			C-prof	0.85	0.60	0.30

Åssiden
fotballhall

q=30.0 kPa

GRT4

q=10.0 kPa

GRT3

GRT2

GRT1

Drammenselva

0 40 80 120 C(kPa)

Start på sprøbrudd-/
kvikkleirelag

Rev.	Endring - erstatning	Dato	Sign.
Oppdragsgiver:		Tegn. nr.	V03
Drammen Eiendom KF		Høydesystem:	NN 2000
Prosjekt:		Åssiden 116/1921	Fi: V03 Stabilitets...dwg
Tema:		Stabilitetsberegning Snitt A-A, Etter tiltak	Mål: 1:750
Kommune:		Drammen	Format: A3
		Dato:	03.07.2018
 ØVRE ROMERIKE PROSJEKTERING A/S Gjønsidigeveien, Pb. 26 Storgt. 11, 2051 JESSHEIM Tlf. 63 94 24 40 Internet: www.orp.no		Sak nr.	039.18T
		Saksb./tegn.	IA
		Kontr.	MW

Vedlegg 1, Koordinatliste for feltundersøkelser

EUREF89-UTM32, NN2000

X=Nord-Sør Koordinat

Y=Vest-Øst koordinat

Borhull	X	Y	Z	Metode	Stopp	Løsm
1	6624351.775	564065.479	10.433	Total DrT	91	49.98
2	6624381.800	564063.017	10.504	DrT Prøve	90	10.02
3	6624407.552	564062.532	10.471	DrT	91	33.15
4	6624351.208	564102.916	10.368	DrT Prøve	90	10.03
5	6624380.754	564099.843	10.589	DrT	90	10.02
6	6624411.294	564097.535	10.461	DrT	90	10.02
7	6624353.451	564145.180	10.338	DrT Prøve	91	32.97
8	6624384.333	564142.834	10.346	DrT	90	10.03
9	6624413.807	564140.315	10.295	Total Cpt Prøve Tolk	94	43.61
9_PZ_10M	6624413.807	564140.315	10.295	PZ	90	9.99
GRT1	6624226.500	564110.100	7.600		90	0.00
GRT2	6624249.200	564153.900	7.600		90	0.00
GRT3	6624281.520	564110.380	8.800		90	0.00
GRT4	6624329.148	564111.838	9.300		90	0.00

RAPPORT

039.18T Åssiden Fotballhall 116_1921 Drammen

OPPDRAAGSGIVER

Øvre Romerike Prosjektering AS

EMNE

Laboratorieundersøkelser

DATO / REVISJON: 21. juni 2018 / 00

DOKUMENTKODE: 10206071-RIG-LAB-RAP



Multiconsult

Denne rapporten er utarbeidet av Multiconsult i egen regi eller på oppdrag fra kunde. Kundens rettigheter til rapporten er regulert i oppdragsavtalen. Hvis kunden i samsvar med oppdragsavtalen gir tredjepart tilgang til rapporten, har ikke tredjepart andre eller større rettigheter enn det han kan utlede fra kunden. Multiconsult har intet ansvar dersom rapporten eller deler av denne brukes til andre formål, på annen måte eller av andre enn det Multiconsult skriftlig har avtalt eller samtykket til. Deler av rapportens innhold er i tillegg beskyttet av opphavsrett. Kopiering, distribusjon, endring, bearbeidelse eller annen bruk av rapporten kan ikke skje uten avtale med Multiconsult eller eventuell annen opphavsrettshaver.

RAPPORT

OPPDRAG	039.18T Åssiden Fotballhall 116_1921 Drammen			DOKUMENTKODE	10206071-RIG-LAB-RAP
EMNE	Laboratorieundersøkelser			TILGJENGELIGHET	Åpen
OPPDRAGSGIVER	Øvre Romerike Prosjektering AS			OPPDRAGSLEDER	Grete Olaussen
KONTAKTPERSON	Ismail Aricigil			UTARBEIDET AV	Simon O'Rawe
KOORDINATER	SONE: XXX	ØST: XXXX	NORD: XXXXXX	ANSVARLIG ENHET	10101070 GeoLab
GNR./BNR./SNR.	X / X / X / Drammen				

SAMMENDRAG

Multiconsult er engasjert av Øvre Romerike Prosjektering AS til å utføre laboratorieundersøkelser på prøver fra grunnundersøkelser utført av Romerike Grunnboring AS.

Foreliggende rapport beskriver utførelse og presenterer resultater fra utførte laboratorieundersøkelser.

00	21.06.2018	Første utsendelse av rapport	SIOR	GEO	GEO
REV.	DATO	BESKRIVELSE	UTARBEIDET AV	KONTROLLERT AV	GODKJENT AV

INNHOLDSFORTEGNELSE

1	Bakgrunn	5
2	Omfang av laboratorieundersøkelsen	5
3	Prosedyrer for gjennomføring	5
4	Resultater	6
4.1	Borpunkt 2	6
4.2	Borpunkt 4	6
4.3	Borpunkt 7	7
4.4	Borpunkt 9	7
5	Tegningsliste	8
6	Vedlegg	8
6.1	Geotekniske bilag	8

1 Bakgrunn

Multiconsult AS har på oppdrag fra Øvre Romerike Prosjektering AS utført laboratorieundersøkelser for oppdrag Åssiden Fotballhall, Drammen. Omfang av undersøkelsen er i henhold til bestilling mottatt fra oppdragsgiver 11.06.2018 og er angitt i tabell i pkt. 2. Prøvetakingen er utført av Romerike Grunnboring AS og prøvene ble levert til vårt laboratorium som poseprøver og 54 mm sylinderprøver den 05.06.2018. Multiconsult AS har ikke vært involvert i bestemmelse av omfang, verken for prøvetaking eller analyse.

2 Omfang av laboratorieundersøkelsen

Laboratorieundersøkelsen ble utført i perioden 15-21.06.2018 og omfatter følgende undersøkelser:

Undersøkelse	Type	Antall	Merknad/avvik
Prøveåpning + vanninnhold	Poser	15	<u>Ekstra:</u> 13 stk. omrørt konus
Prøveåpning (standard undersøkelse)	54mm	5	
Konsistensgrenser	Wf,Wp	2	
Korndensitet	Pyknometer	1	
Organisk innhold	Gløding	18	
Ødometerforsøk	CRS	4	

3 Prosedyrer for gjennomføring

Multiconsult utfører sine laboratorieundersøkelser i henhold til Norsk standard NS 8000-serien, samt vår interne laboratoriehåndbok som er basert på denne. En oversikt over gjeldende standarder er vist i vedlegg 2.

Gjennomføringen av oppdraget er kvalitetssikret i henhold til Multiconsults styringssystem. Systemet er bygget opp med prosedyrer og beskrivelser som er dekkende for kvalitetsstandard NS-EN ISO 9000:2000.

4 Resultater

Laboratorieundersøkelsen er utført i henhold til avtalt omfang og følgende resultater er oppnådd:

4.1 Borpunkt 2

Beskrivelse	Del prøve	Dybde	Vann innhold	Konus			Enaks	Brudd tøyning	Utrulling	Flyte grense	Glødetap	Humus/ NaOH	Korn densitet	Tot. densitet	Porøsitet	Spes.forsøk
				Ufor- styrtet	Omrørt	Sens- itivitet										
				z	w	St										
	m	%	kN/m ²	kN/m ²		kN/m ²	%			%	%	g/cm ³	g/cm ³	%		
LEIRE, siltig	A	1,5	34,6								1,5					
forvitrede flekker, spor av sand	C															
	D															
LEIRE, siltig	A	2,5	28,0		11,0						0,6					
spor av forvitring og sand	C															
	D															
LEIRE, siltig	A	3,5	30,3		7,7						0,9					
spor av sand og gruskorn	C															
	D															
LEIRE, siltig	A	4,5	28,6		8,7						1,1					
LEIRE, siltig	A	5,5	31,7		8,7						1,2					

4.2 Borpunkt 4

Beskrivelse	Del prøve	Dybde	Vann innhold	Konus			Enaks	Brudd tøyning	Utrulling	Flyte grense	Glødetap	Humus/ NaOH	Korn densitet	Tot. densitet	Porøsitet	Spes.forsøk
				Ufor- styrtet	Omrørt	Sens- itivitet										
				z	w	St										
	m	%	kN/m ²	kN/m ²		kN/m ²	%			%	%	g/cm ³	g/cm ³	%		
FYLLMASSE: SAND, grusig, filtrester	A	0,4	10,9								1,8					
	B	0,7	22,5													
Fra 0,5 m: TØRRSKORPELEIRE, siltig	C															
	D															
LEIRE, siltig	A	1,5	38,1		18,0						1,9					
forvitrede flekker	C															
LEIRE, siltig	A	2,5	33,5		11,0						1,4					
LEIRE, siltig	A	3,5	30,8		7,1						1,3					
LEIRE, siltig	A	4,5	31,2		9,0						1,4					

4.3 Borpunkt 7

Beskrivelse	Del prøve	Konus															
		Dybde	Vann innhold	Ufor- styret	Omrørt	Sens- itivitet	Enaks	Brudd tøyning	Utrulling	Flyte grense	Glødetap	Humus/ NaOH	Korn densitet	Tot. densitet	Porøsitet	Spes.forsøk	
		z	w	cufc	curfc	St	cuuc	ϕ	wp	wl	O	O	r _s	r	n		
	m	%	kN/m ²	kN/m ²		kN/m ²	%			%	%	g/cm ³	g/cm ³	%			
TØRRSKORPELEIRE, siltig	A	1,5	32,7		51,0									1,9			
	B																
LEIRE, siltig, forvitrede flekker spor av sand og gruskorn	A	3,5	37,9		10,0									1,7			
	B																
	C																
	D																
LEIRE, siltig spor av sand og gruskorn	A	5,5	29,5		8,4									1,1			
	C																
	D																
LEIRE, siltig	A	7,5	36,4		4,8									1,3			
LEIRE, siltig	A	9,5	34,8		5,2									1,5			

4.4 Borpunkt 9

Beskrivelse	Del prøve	Konus															
		Dybde	Vann innhold	Ufor- styret	Omrørt	Sens- itivitet	Enaks	Brudd tøyning	Utrulling	Flyte grense	Glødetap	Humus/ NaOH	Korn densitet	Tot. densitet	Porøsitet	Spes.forsøk	
		z	w	cufc	curfc	St	cuuc	ϕ	wp	wl	O	O	r _s	r	n		
	m	%	kN/m ²	kN/m ²		kN/m ²	%			%	%	g/cm ³	g/cm ³	%			
LEIRE, siltig	A	1,2	33,7	34,0	6,6	5								1,0			
	B	1,4	31,9				17,8	9,14							1,93	47	Ø
forvitret 30 cm i topp	C	1,6	30,6	28,0	4,5	6											
LEIRE, siltig	A	4,2	32,2	34,0	3,5	10								1,3			
	B	4,4	31,9				29,6	4,51							1,95	46	Ø
rester av fosiler	C	4,6	29,0	35,0	4,5	8			20,1	31							
LEIRE, siltig	A	7,2	36,9	25,0	4,8	5								1,2	2,73		
	B	7,4	37,7				24,5	3,34							1,89	49	Ø
	C	7,6	36,6	24,0	5,6	4			26,2	41							
LEIRE, siltig	A	12,2	34,7	21,0	5,6	4											
	B	12,4	32,1				22,3	14,9							1,97	46	Ø
	C	12,6	33,5	27,0	5,6	5											
LEIRE, siltig	A	38,1	25,5	28,0	1,5	19											
	B	38,3					54	8,7							2,10	38	
forstyrret i øvre del	C	38,5	23,3	44,0	1,2	37											

5 Tegningsliste

10206071-RIG-TEG-200	Geotekniske data, borpunkt 2
10206071-RIG-TEG-201	Geotekniske data, borpunkt 4
10206071-RIG-TEG-202	Geotekniske data, borpunkt 7
10206071-RIG-TEG-203.1-2	Geotekniske data, borpunkt 9
10206071-RIG-TEG-250.1-5	Enaksialforsøk, borpunkt 9
10206071-RIG-TEG-400.1-2	Kontinuerlig ødometerforsøk, borpunkt 9, dybde 1,55 m
10206071-RIG-TEG-401.1-2	Kontinuerlig ødometerforsøk, borpunkt 9, dybde 4,55 m
10206071-RIG-TEG-402.1-2	Kontinuerlig ødometerforsøk, borpunkt 9, dybde 7,50 m
10206071-RIG-TEG-403.1-2	Kontinuerlig ødometerforsøk, borpunkt 9, dybde 12,55 m

6 Vedlegg

6.1 Geotekniske bilag

1. Laboratorieforsøk
2. Oversikt over metodestandarder og retningslinjer

Dybde (m)	Beskrivelse	Prøve	Test	Vanninnhold (%) og konsistensgrenser					ρ (g/cm ³)	Porøsitet (%)	Organisk innhold (%)	Udrenert skjærfasthet (kPa)					St (-)	
				10	20	30	40	50				10	20	30	40	50		
5	LEIRE, siltig forvitrede flekker, spor av sand	kt. +										1,5						
	LEIRE, siltig spor av forvitring og sand											0,6	▼					
	LEIRE, siltig spor av sand og gruskorn												0,9	▼				
	LEIRE, siltig												1,1	▼				
	LEIRE, siltig												1,2	▼				
10																		
15																		
20																		

Symboler:



Enaksialforsøk (strek angir akseil tøying (%) ved brudd)

○ Vanninnhold

▼ Omrørt konus

ρ = Densitet

T = Treaksialforsøk

ρ_s : 2,75 g/cm³

┌ Plastisitetsindeks, Ip

▽ Uomrørt konus

S_t = Sensitivitet

Ø = Ødometerforsøk

Grunnvannstand: m

K = Korngradering

Borbok: RGB

Lab-bok: Digital

PRØVESERIE

Borhull:

2

Øvre Romerike Prosjektering

Dato:

2018-06-21

039.18T Åssiden Fotballhall 116_1921 Drammen

Multiconsult
www.multiconsult.no

Konstr./Tegnet:

METS

Kontrollert:

GEO

Godkjent:

SIOR

Oppdragsnummer:

10206071

Tegningsnr.:

RIG-TEG-200

Rev. nr.:

00

Dybde (m)	Beskrivelse	Prøve	Test	Vanninnhold (%) og konsistensgrenser					ρ (g/cm ³)	Porøsitet (%)	Organisk innhold (%)	Udrenert skjærfasthet (kPa)					St (-)
				10	20	30	40	50				10	20	30	40	50	
5	FYLLMASSE: SAND, grusig, filterster Fra 0,5m TØRRSKORPELEIRE, siltig			○						1,8							
	LEIRE, siltig	forvitrede flekker			○					1,9	▼						
	LEIRE, siltig					○				1,4	▼						
	LEIRE, siltig					○				1,3	▼						
	LEIRE, siltig					○				1,4	▼						
10																	
15																	
20																	

Symboler:



Enaksialforsøk (strek angir akseil tøyning (%) ved brudd)

○ Vanninnhold



Omrørt konus

ρ = Densitet

T = Treaksialforsøk
Ø = Ødometerforsøk
K = Korngradering

ρ_s : 2,75 g/cm³
Grunnvannstand: m
Borrbok: RGB
Lab-bok: Digital

┌ Plastisitetsindeks, Ip



Uomrørt konus

S_t = Sensitivitet

PRØVESERIE

Borhull:

4

Øvre Romerike Prosjektering

Dato:

2018-06-21

039.18T Åssiden Fotballhall 116_1921 Drammen

Multiconsult
www.multiconsult.no

Konstr./Tegnet:

METS

Kontrollert:

GEO

Godkjent:

SIOR

Oppdragsnummer:

10206071

Tegningsnr.:

RIG-TEG-201

Rev. nr.:

00

Dybde (m)	Beskrivelse	Prøve	Test	Vanninnhold (%) og konsistensgrenser					ρ (g/cm ³)	Porøsitet (%)	Organisk innhold (%)	Udrenert skjærfasthet (kPa)					St (-)	
				10	20	30	40	50				10	20	30	40	50		
5	TØRRSKORPELEIRE, siltig					○				1,9								
	LEIRE, siltig, forvitrede flekker spor av sand og gruskorn					○				1,7	▼							
10	LEIRE, siltig spor av sand og gruskorn					○				1,1	▼							
	LEIRE, siltig					○				1,3	▼							
	LEIRE, siltig					○				1,5	▼							
15																		
20																		

Symboler:



Enaksialforsøk (strek angir akseil tøying (%) ved brudd)

○ Vanninnhold



Omrørt konus

ρ = Densitet

T = Treaksialforsøk
 Ø = Ødometerforsøk
 K = Korngradering

ρ_s : 2,75 g/cm³
 Grunnvannstand: m
 Borbok: RGB
 Lab-bok: Digital

┌ Plastisitetsindeks, Ip



Uomrørt konus

S_t = Sensitivitet

PRØVESERIE

Borhull: 7

Øvre Romerike Prosjektering

039.18T Åssiden Fotballhall 116_1921 Drammen

Dato: 2018-06-21

Multiconsult
 www.multiconsult.no

Konstr./Tegnet: METS

Oppdragsnummer: 10206071

Kontrollert: SIOR

Tegningsnr.: RIG-TEG-202

Godkjent: GEO

Rev. nr.: 00

Dybde (m)	Beskrivelse	Prøve	Test	Vanninnhold (%) og konsistensgrenser					ρ (g/cm ³)	Porøsitet (%)	Organisk innhold (%)	Udrenert skjærfasthet (kPa)					St (-)
				10	20	30	40	50				10	20	30	40	50	
5	LEIRE, siltig forvitret 30 cm i topp	Ø	Ø	○ ○ ○ ○ ○					1,93	47	1,0	▼ ○ ▼ ▼					5 6
				○ ○ ○ ○								▼ ▼ ○ ▼ ▼					
10	LEIRE, siltig rester av fosiler	Ø	Ø	○ ○ ○ ○					1,95	46	1,3	▼ ▼ ○ ▼ ▼					10 8
				○ ○ ○ ○								▼ ▼ ○ ▼ ▼					
15	LEIRE, siltig	Ø	Ø	○ ○ ○ ○					1,89	49	1,2	▼ ▼ ○ ▼ ▼					5 4
				○ ○ ○ ○								▼ ▼ ○ ▼ ▼					
20	LEIRE, siltig	Ø	Ø	○ ○ ○ ○					1,97	46	1,2	▼ ▼ ○ ▼ ▼					4 5
				○ ○ ○ ○								▼ ▼ ○ ▼ ▼					

Symboler:



Enaksialforsøk (strek angir akseil tøyning (%) ved brudd)

○ Vanninnhold

▼ Omrørt konus

ρ = Densitet

T = Treaksialforsøk

ρ_s : 2.73 g/cm³

— Plastisitetsindeks, Ip

▽ Uomrørt konus

S_t = Sensitivitet

Ø = Ødometerforsøk

Grunnvannstand: m

K = Korngradering

Borbok: RGB

Lab-bok: Digital

PRØVESERIE

Borhull: 9

Øvre Romerike Prosjektering

Dato: 2018-06-21

039.18T Åssiden Fotballhall 116_1921 Drammen

Multiconsult
www.multiconsult.no

Konstr./Tegnet: METS

Kontrollert: SIOR

Godkjent: GEO

Oppdragsnummer: 10206071

Tegningsnr.: RIG-TEG-203.1

Rev. nr.: 00

Dybde (m)	Beskrivelse	Prøve	Test	Vanninnhold (%) og konsistensgrenser					ρ (g/cm ³)	Porøsitet (%)		Udrenert skjærfasthet (kPa)					St (-)
				10	20	30	40	50		Porøsitet (%)	Organisk innhold (%)	10	20	30	40	50	
25																	
30																	
35																	
35		mistet prøve															
40	LEIRE, siltig							2,10	38			▼1,5		▼		▼	9
40		forstyrret i øvre del										▼1,2					19 37

Symboler:



Enaksialforsøk (strek angir akseil tøying (%) ved brudd)

○ Vanninnhold

▼ Omrørt konus

ρ = Densitet

T = Treaksialforsøk

ρ_s : 2.73 g/cm³

┌ Plastisitetsindeks, Ip

▽ Uomrørt konus

S_t = Sensitivitet

Ø = Ødometerforsøk

Grunnvannstand: m

K = Korngradering

Borbok: RGB

Lab-bok: Digital

PRØVESERIE

Borhull: 9

Øvre Romerike Prosjektering

Dato: 2018-06-21

039.18T Åssiden Fotballhall 116_1921 Drammen

Multiconsult
www.multiconsult.no

Konstr./Tegnet: METS

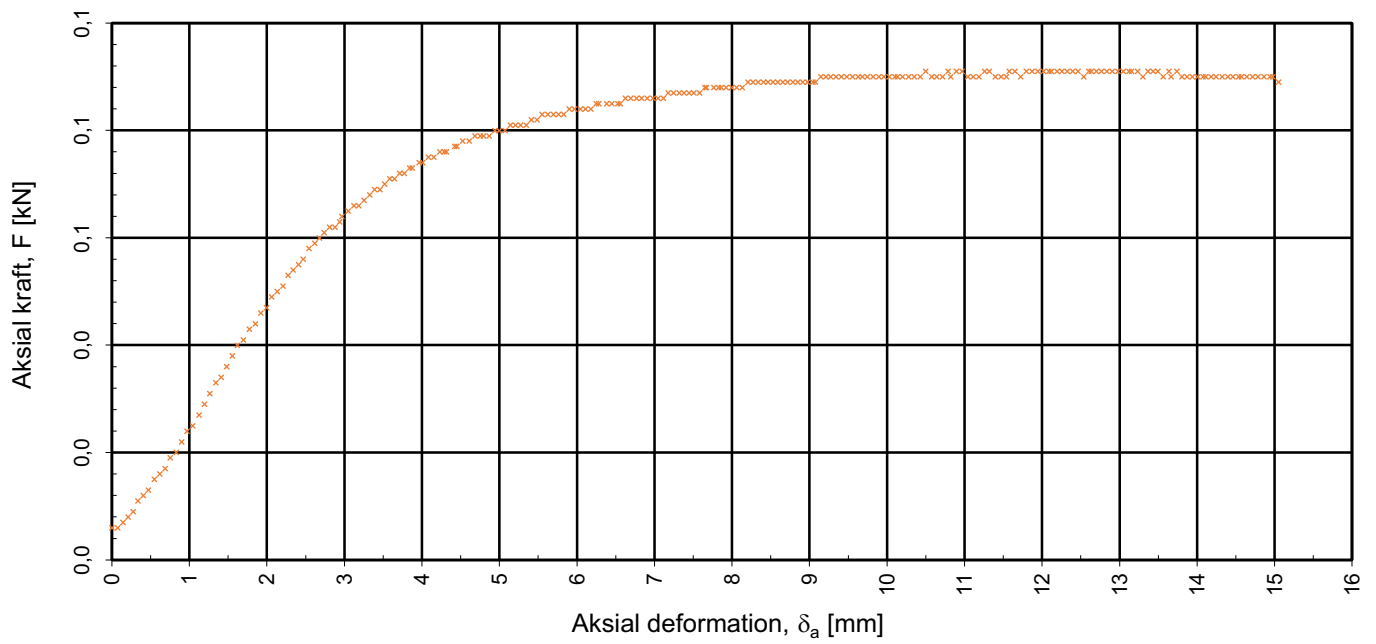
Kontrollert: SIOR

Godkjent: GEO

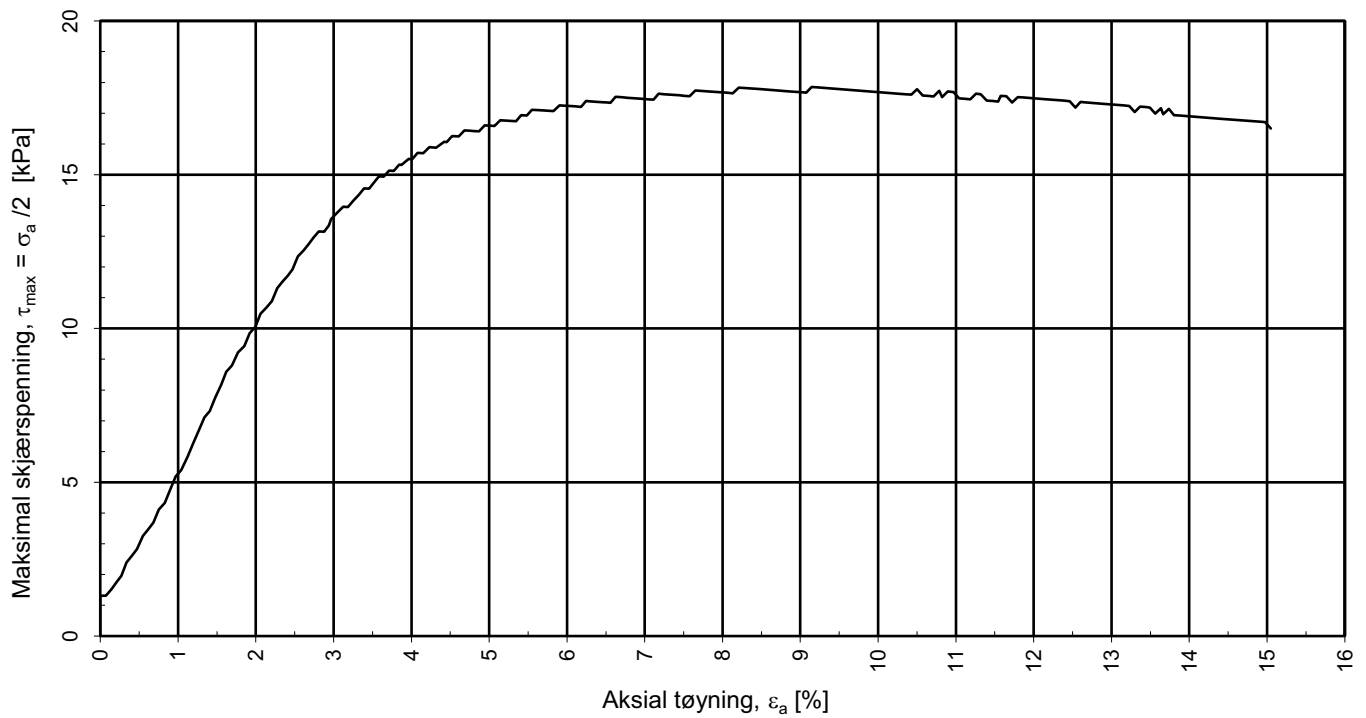
Oppdragsnummer: 10206071

Tegningsnr.: RIG-TEG-203.2

Rev. nr.: 00



strain v av stress



Tegningens filnavn:

Prøvediameter

54,00

Prøvehøyde

100,00

MULTICONSULT AS

Nedre Skøyen vei 2,
0213 OSLO
Tlf.: +47 21 58 50 00
www.multiconsult.no

Forsøksdato:

18.06.2018

Dybde, z (m):

1,45

Borpunkt nr.:

9

Forsøk nr.:

1

Tegnet:

AAS

Kontrollert:

METS

Godkjent:

GEO

Oppdrag nr.:

10206071

Tegning nr.:

RIG-TEG-250.1

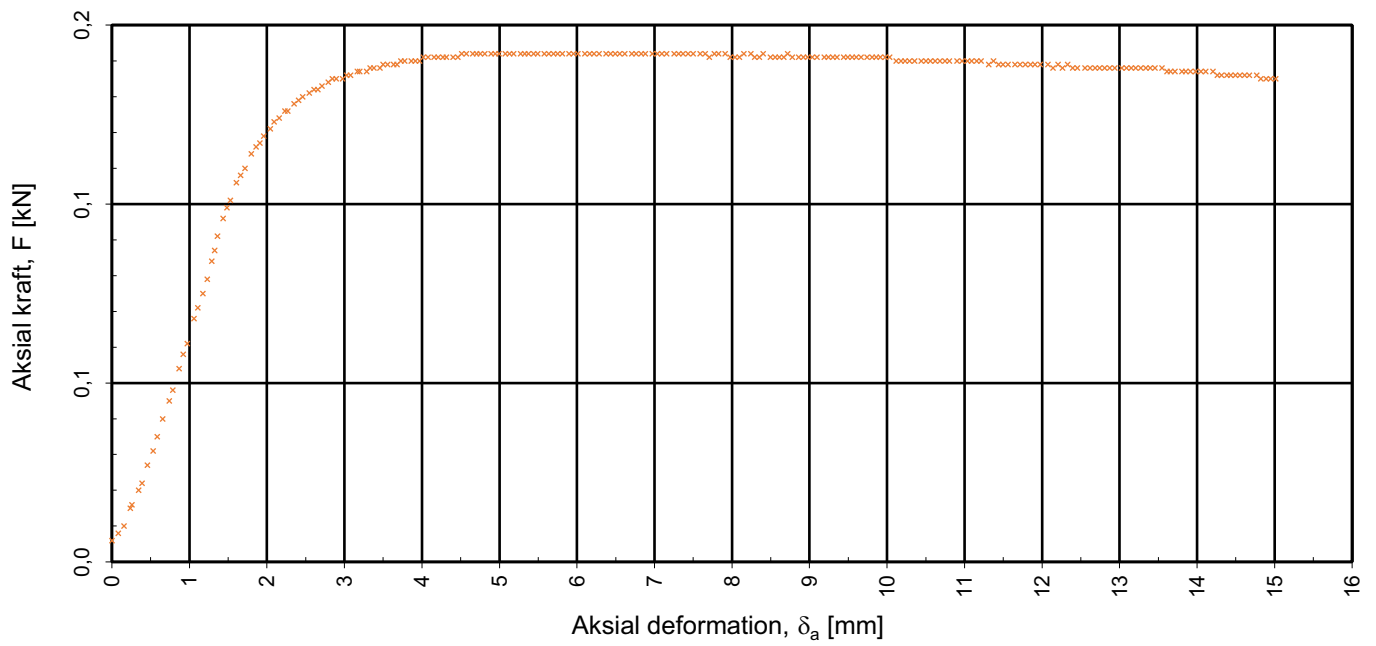
Prosedyre:

Enaks

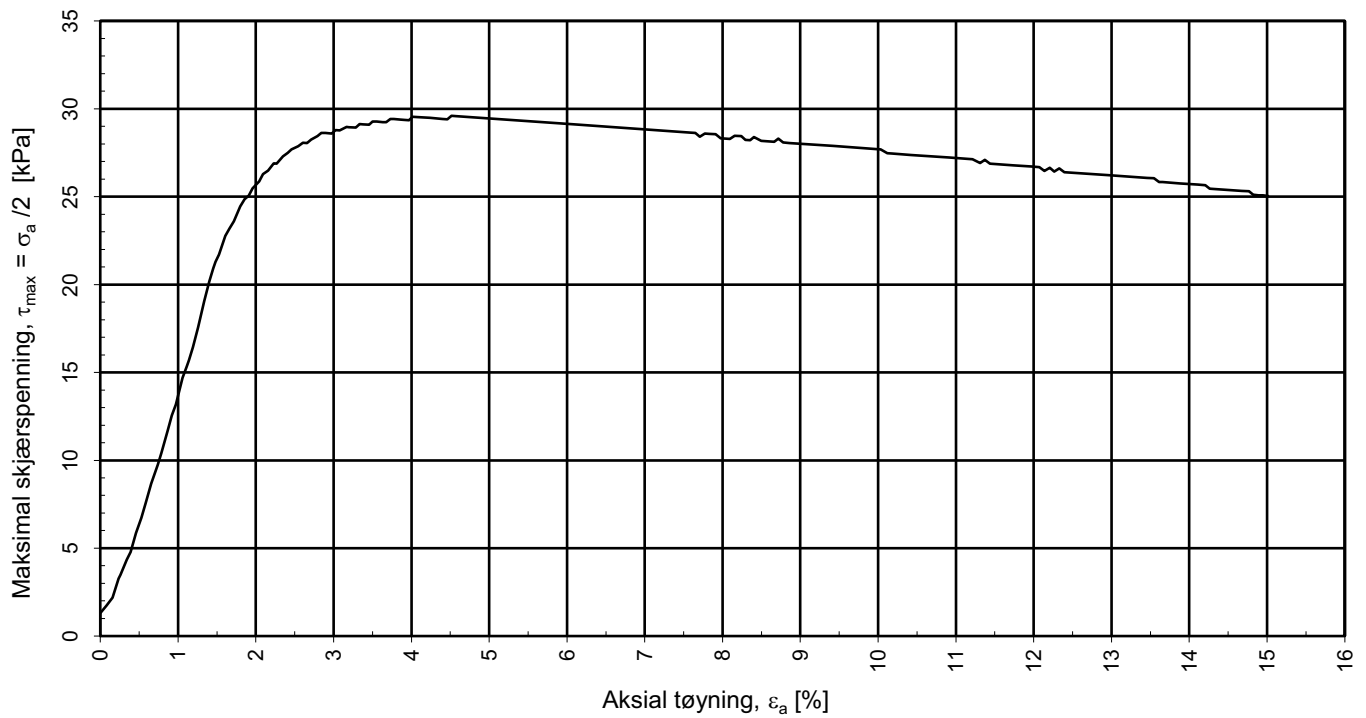
Programrevisjon:

0

Multi
consult



strain v av stress



Tegningens filnavn:

Prøvediameter

54,00

Prøvehøyde

100,00

MULTICONSULT AS

Nedre Skøyen vei 2,
0213 OSLO
Tlf.: +47 21 58 50 00
www.multiconsult.no

Forsøksdato:

18.06.2018

Forsøk nr.:

1

Oppdrag nr.:

10206071

Dybde, z (m):

4.4

Tegnet:

EIVSO

Tegning nr.:

RIG-TEG-250.2

Borpunkt nr.:

9

Kontrollert:

METS

Prosedyre:

Enaks

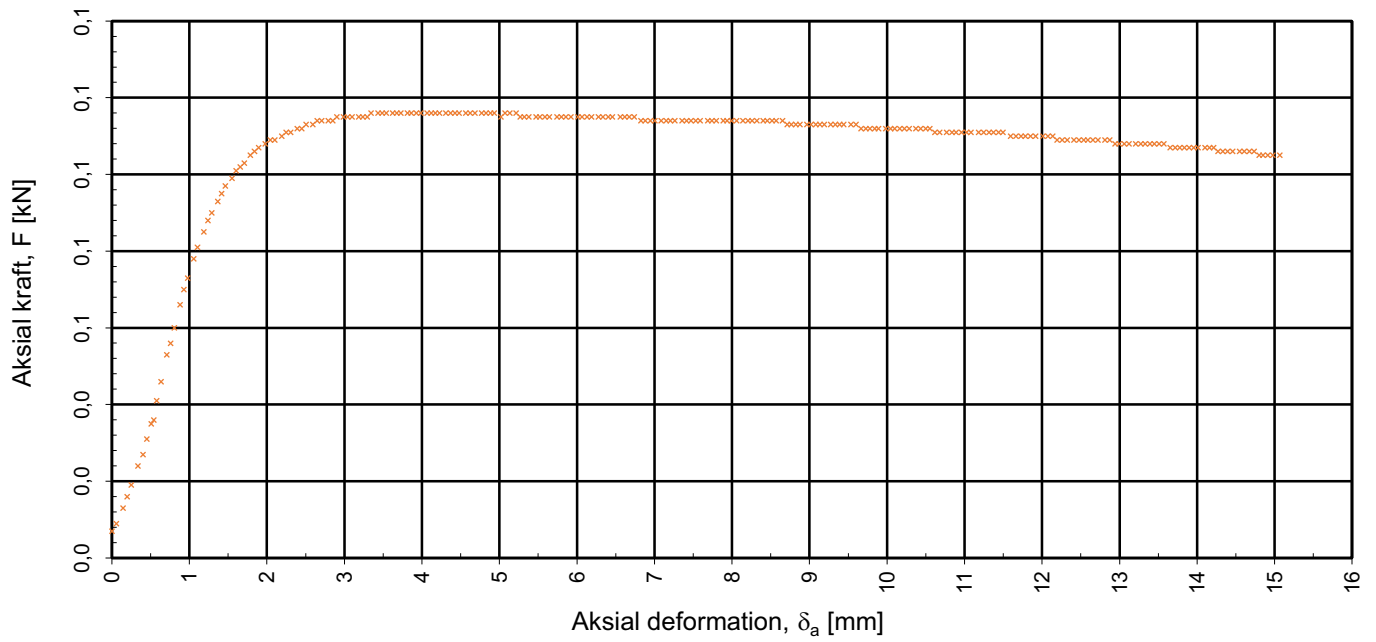
Multi
consult

Godkjent:

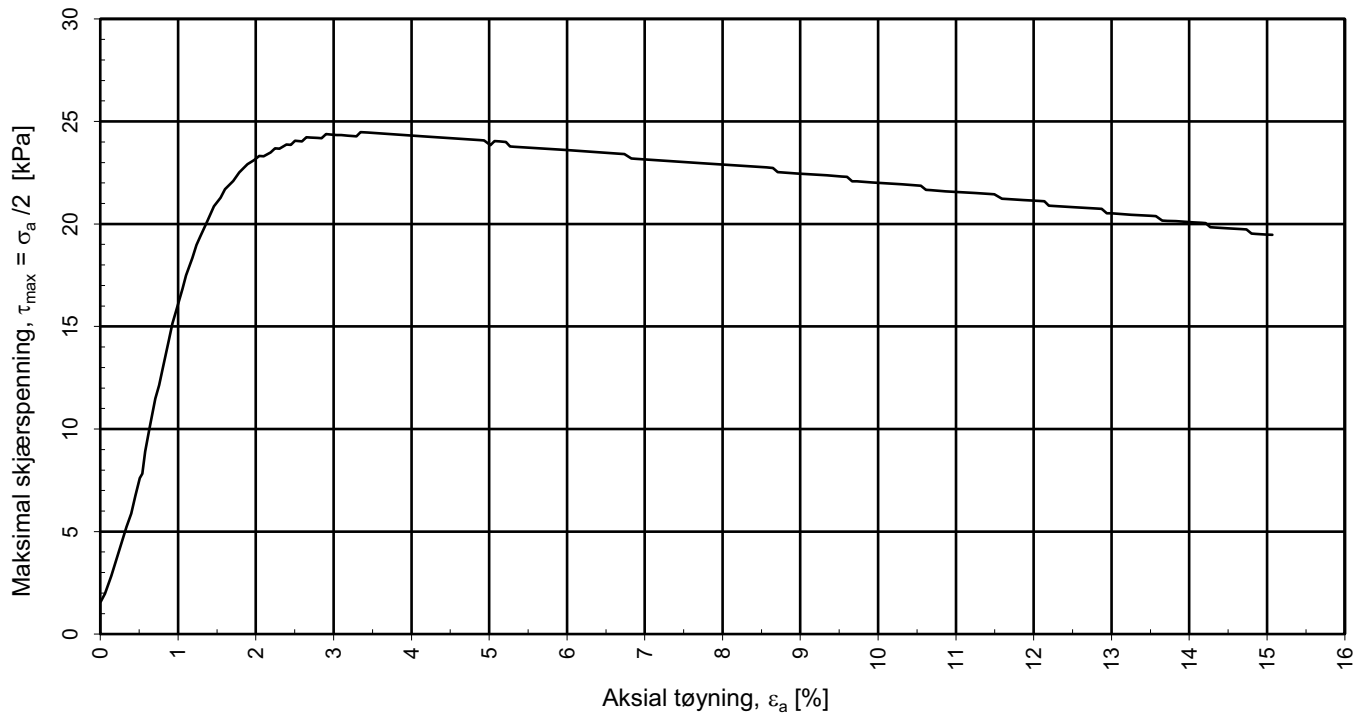
GEO

Programrevisjon:

0



strain v av stress



Tegningens filnavn:

Prøvediameter

54,00

Prøvehøyde

100,00

MULTICONSULT AS

Nedre Skøyen vei 2,
0213 OSLO
Tlf.: +47 21 58 50 00
www.multiconsult.no

Forsøksdato:

19.06.2018

Forsøk nr.:

1

Oppdrag nr.:

10206071

Dybde, z (m):

7,4

Tegnet:

AAS

Tegning nr.:

RIG-TEG-250.3

Borpunkt nr.:

9

Kontrollert:

METS

Prosedyre:

Enaks

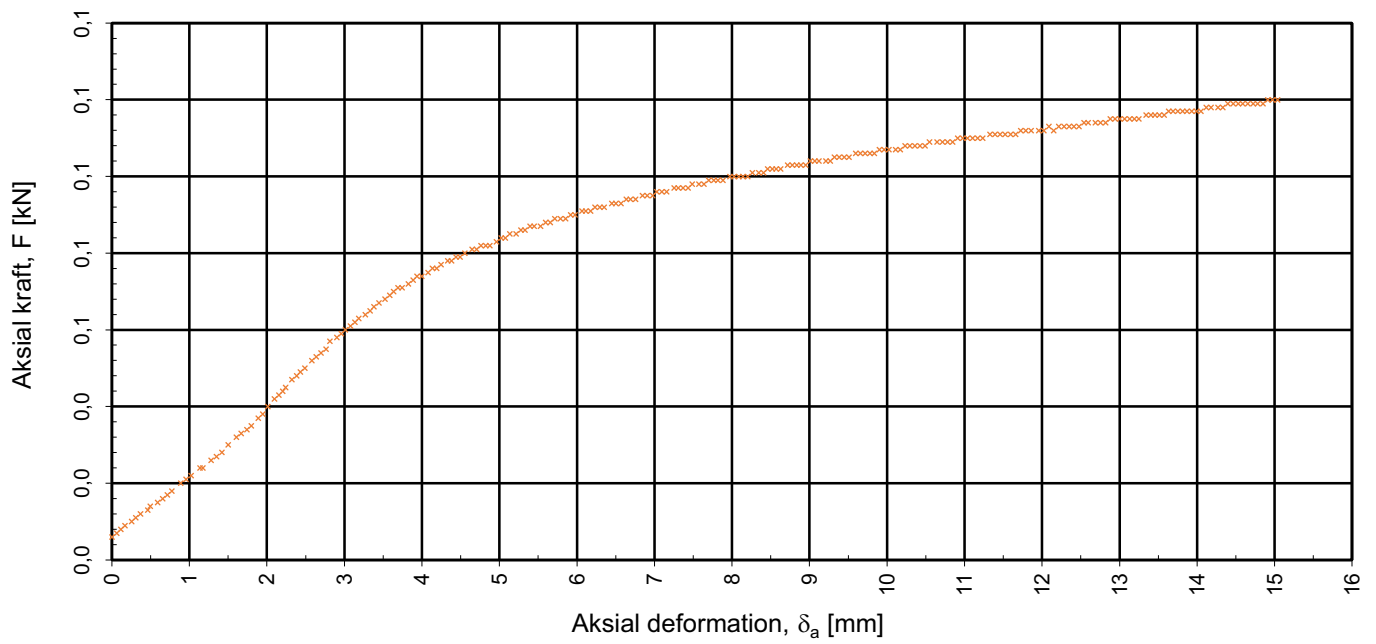
Multi
consult

Godkjent:

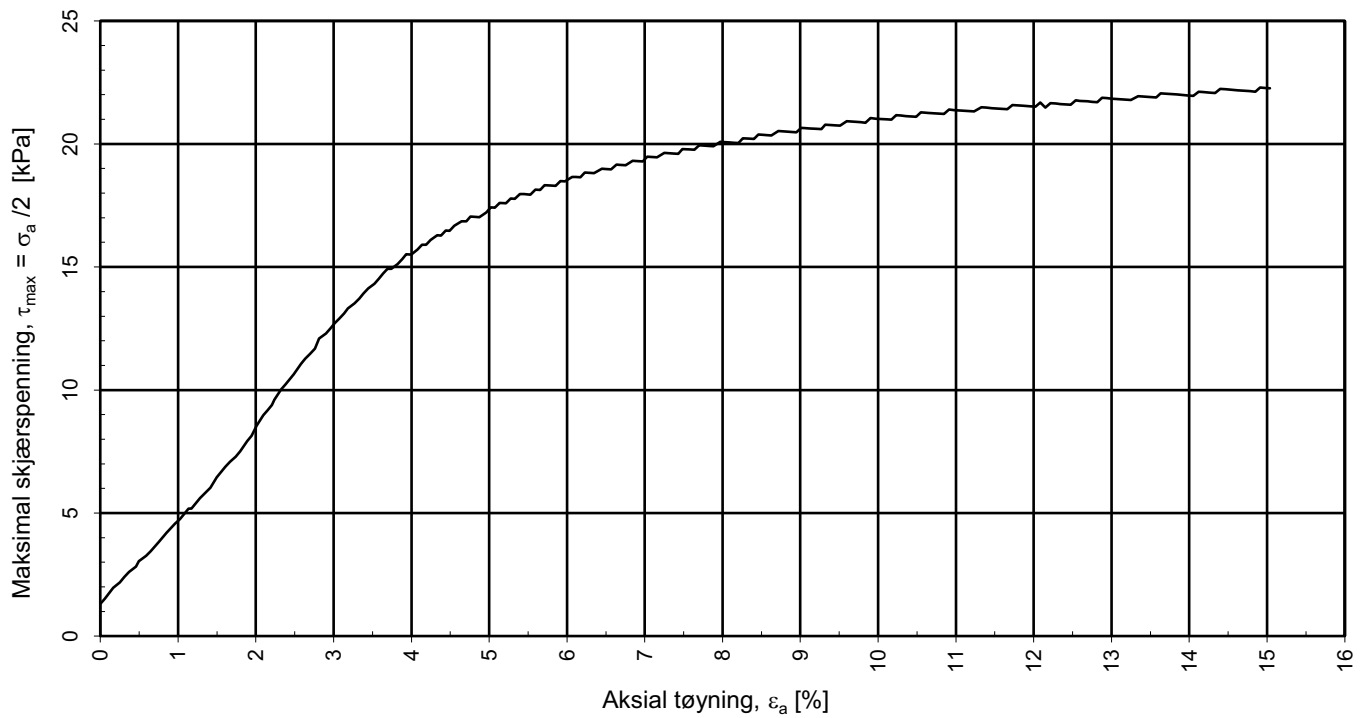
GEO

Programrevisjon:

0



strain v av stress



Tegningens filnavn:

Prøvediameter

54,00

Prøvehøyde

100,00

MULTICONSULT AS

Nedre Skøyen vei 2,
0213 OSLO
Tlf.: +47 21 58 50 00
www.multiconsult.no

Forsøksdato:

19.06.2018

Forsøk nr.:

1

Oppdrag nr.:

10206071

Dybde, z (m):

12,4

Tegnet:

AAS

Tegning nr.:

RIG-TEG-250.4

Borpunkt nr.:

9

Kontrollert:

METS

Prosedyre:

Enaks

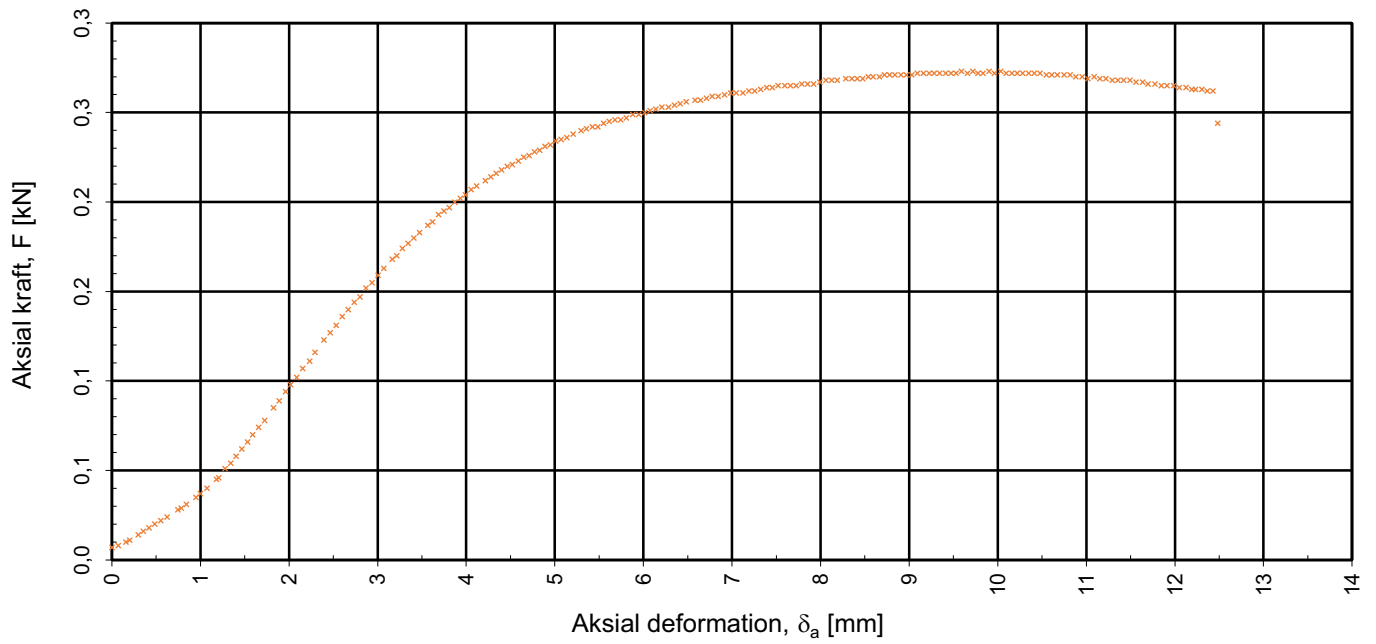
Multi
consult

Godkjent:

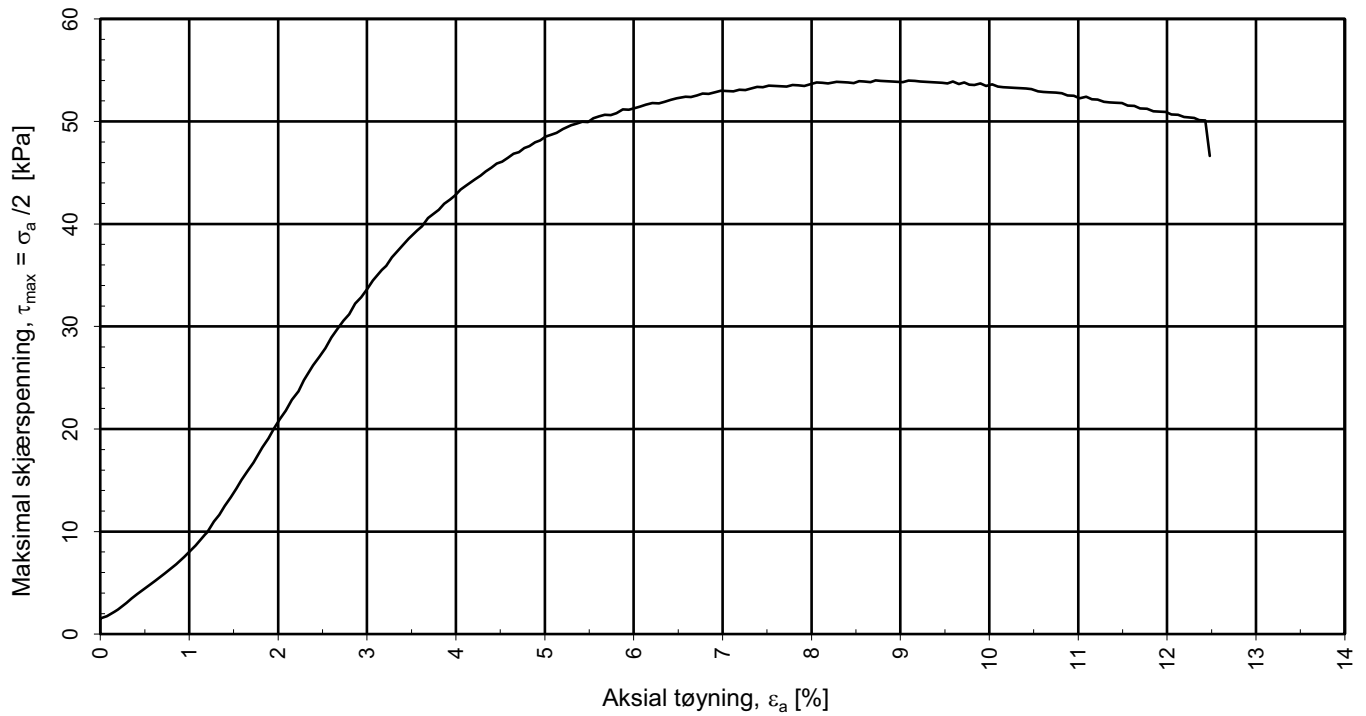
GEO

Programrevisjon:

0



strain v av stress



Tegningens filnavn:

Prøvediameter

54,00

Prøvehøyde

100,00

MULTICONSULT AS

Nedre Skøyen vei 2,
0213 OSLO
Tlf.: +47 21 58 50 00
www.multiconsult.no

Forsøksdato:

19.06.2018

Forsøk nr.:

1

Oppdrag nr.:

10206071

Dybde, z (m):

38,3

Tegnet:

AAS

Tegning nr.:

RIG-TEG-250.5

Borpunkt nr.:

9

Kontrollert:

METS

Prosedyre:

Enaks

Multi
consult

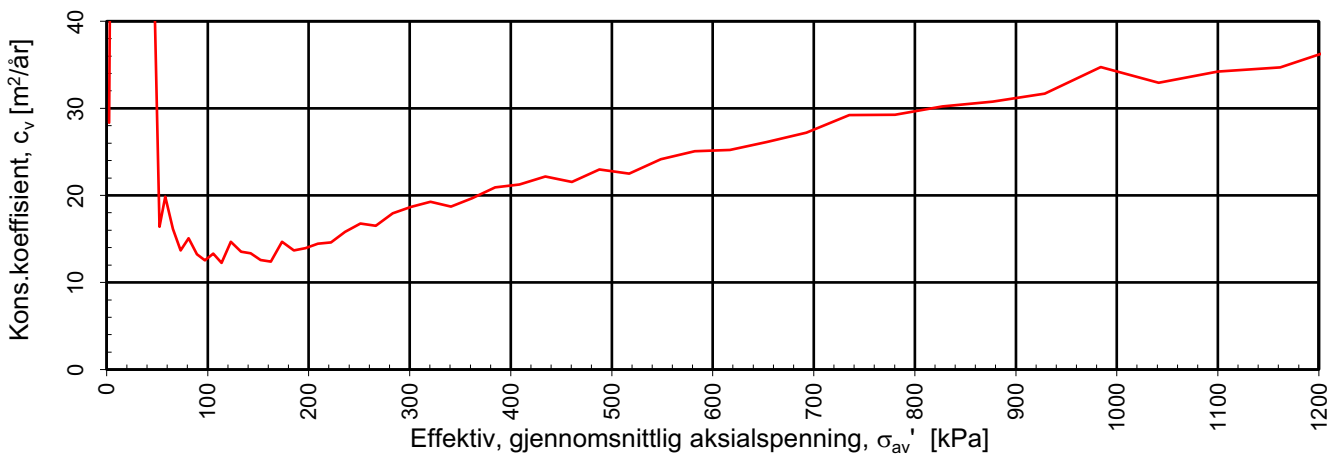
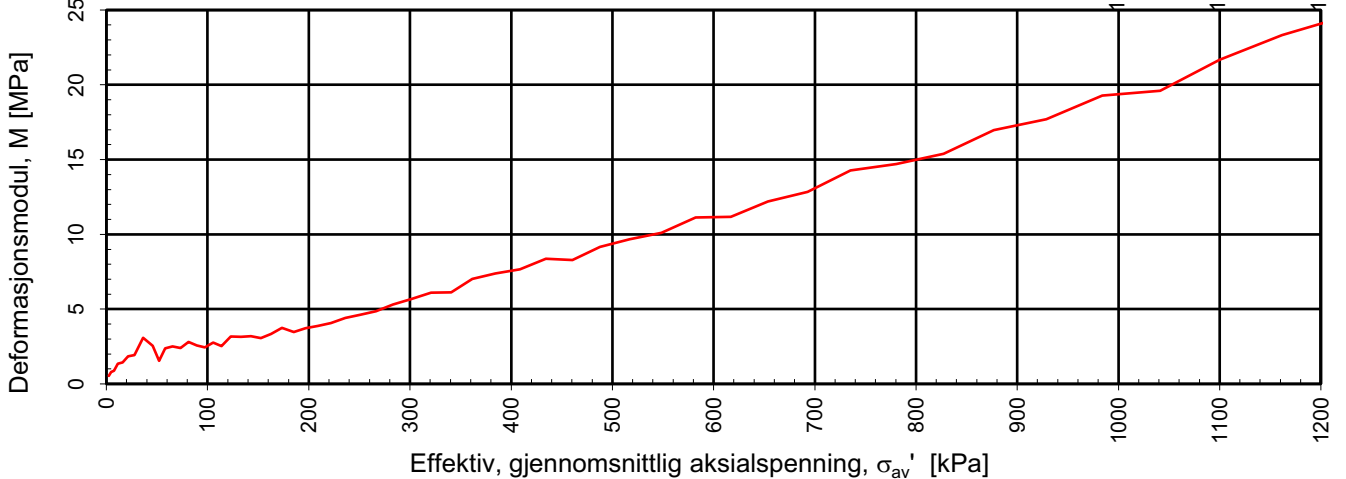
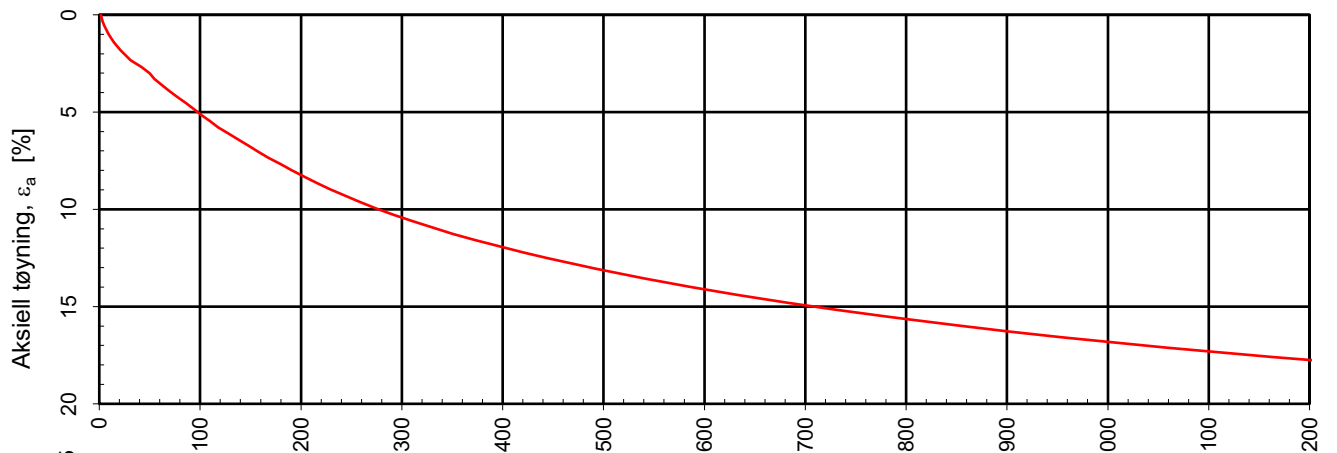
Godkjent:

GEO

Programrevisjon:

0

Effektiv gjennomsnittlig aksialspenning, σ_{av}' [kPa]



Densitet ρ (g/cm³): **1,93**
 Vanninnhold w (%): **30,88**

Effektivt overlagingstrykk, σ_{vo}' (kPa):

Øvre Romerike Prosjektering
039.18T Åssiden Fotballhall 116_1921 Drammen

Rapportdato:

19.06.2018

Kontinuerlig ødometerforsøk, CRS-rutine. Plott A: $\sigma_{av}' - \epsilon_a$, M og c_v .

Multi
consult

MULTICONSULT AS

Box 265 Skøyen
 N-0213 OSLO
 Tlf.: 21 58 50 00

Forsøksdato:

18.06.2018

Dybde, z (m):

1,55

Borpunkt nr.:

9

Forsøknr.:

1

Tegnet av:

METS

Kontrollert:

SIOR

Godkjent:

GEO

Oppdrag nr.:

10206071

Tegning nr.:

RIG-TEG-400.1

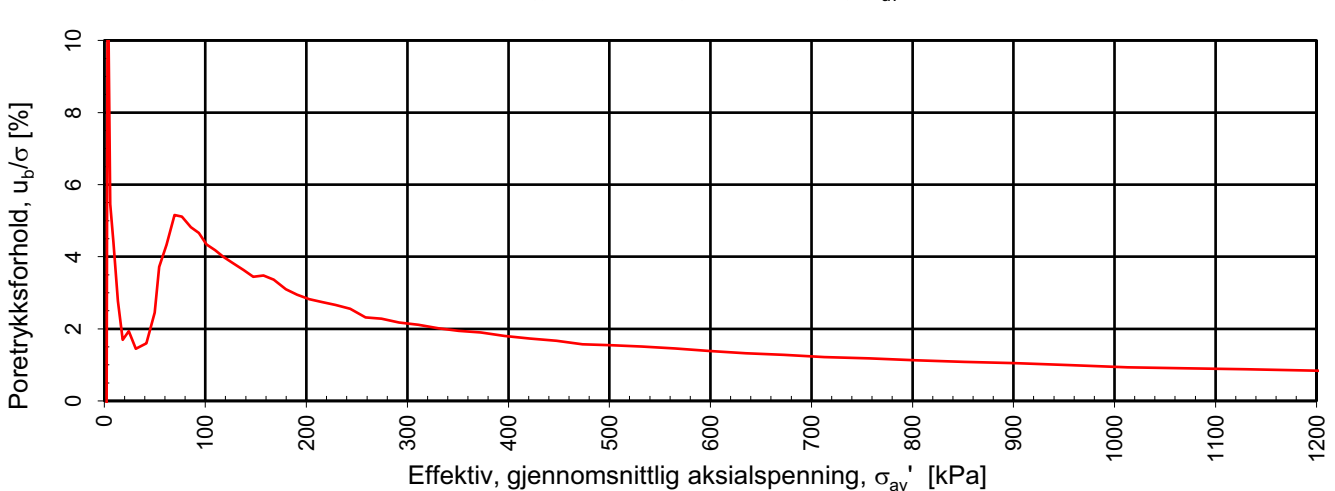
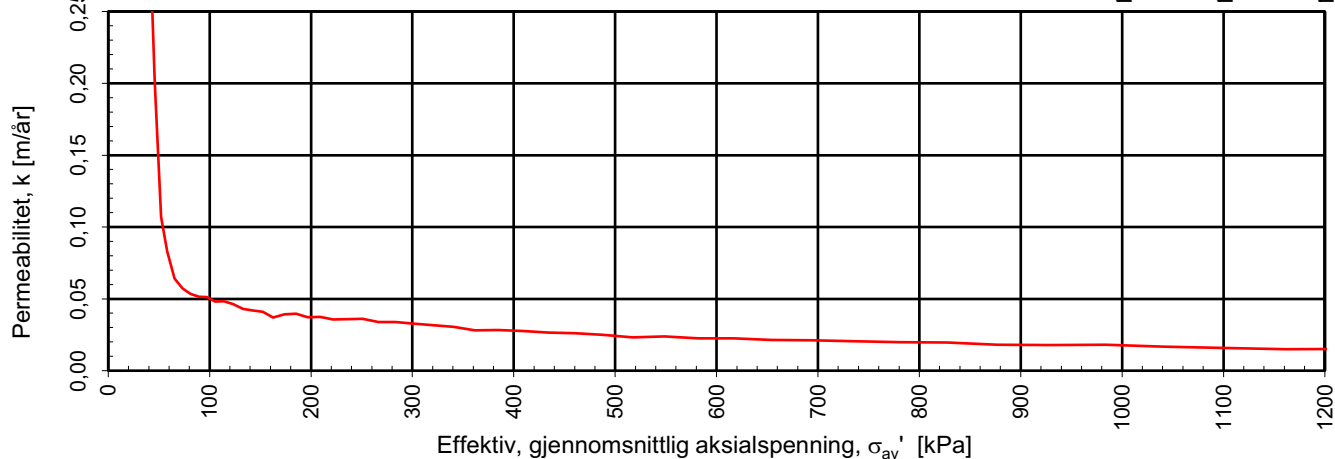
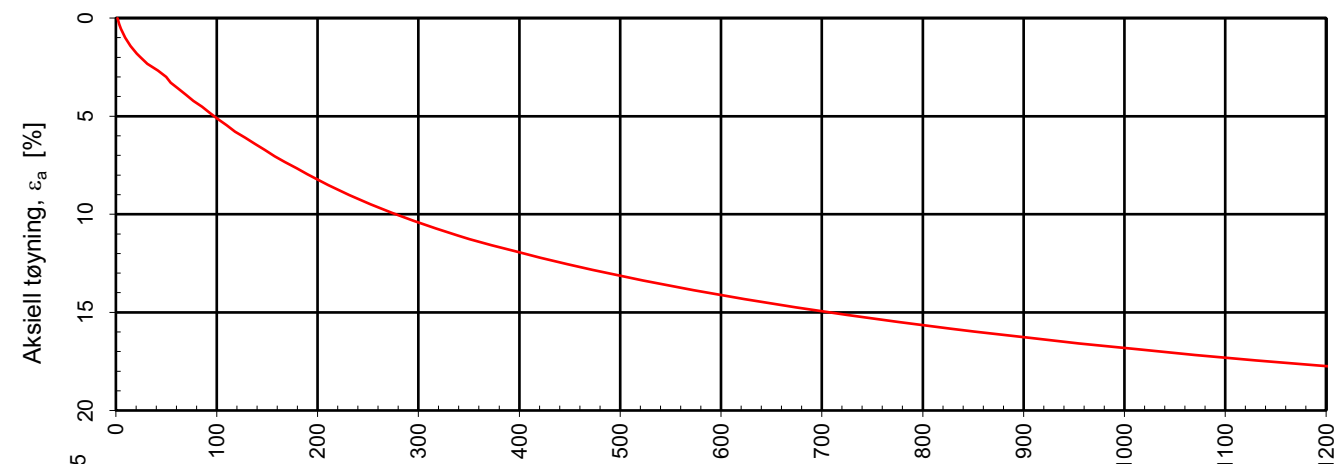
Prosedyre:

CRS

Programrevisjon:

30.01.2018

Effektiv, gjennomsnittlig aksialspenning, σ_{av}' [kPa]



Densitet ρ (g/cm³):

1,93

Vanninnhold w (%):

30,88

Effektivt overlagingstrykk, σ_{vo}' (kPa):

Øvre Romerike Prosjektering

039.18T Åssiden Fotballhall 116_1921 Drammen

Kontinuerlig ødometerforsøk, CRS-rutine. Plott B: $\sigma_{av}' - \epsilon_a$, k og u_b/σ .

Rapportdato:

19.06.2018

MULTICONSULT AS

Box 265 Skøyen
N-0213 OSLO
Tlf.: 21 58 50 00

Forsøksdato:

18.06.2018

Dybde, z (m):

1,55

Borpunkt nr.:

9

Forsøknr.:

1

Tegnet av:

METS

Kontrollert:

SIOR

Godkjent:

GEO

Oppdrag nr.:

10206071

Tegning nr.:

RIG-TEG-400.2

Prosedyre:

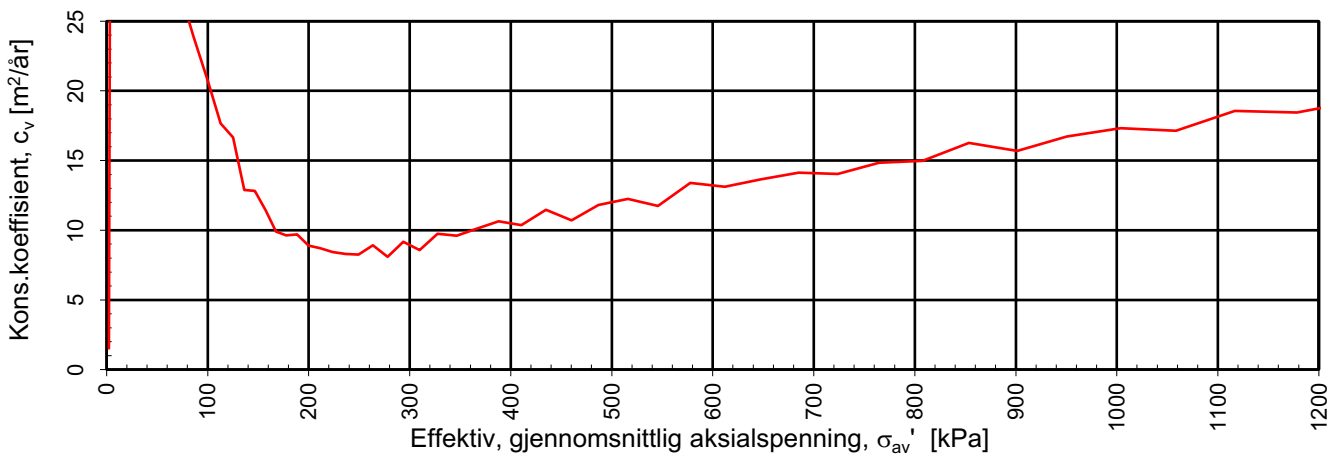
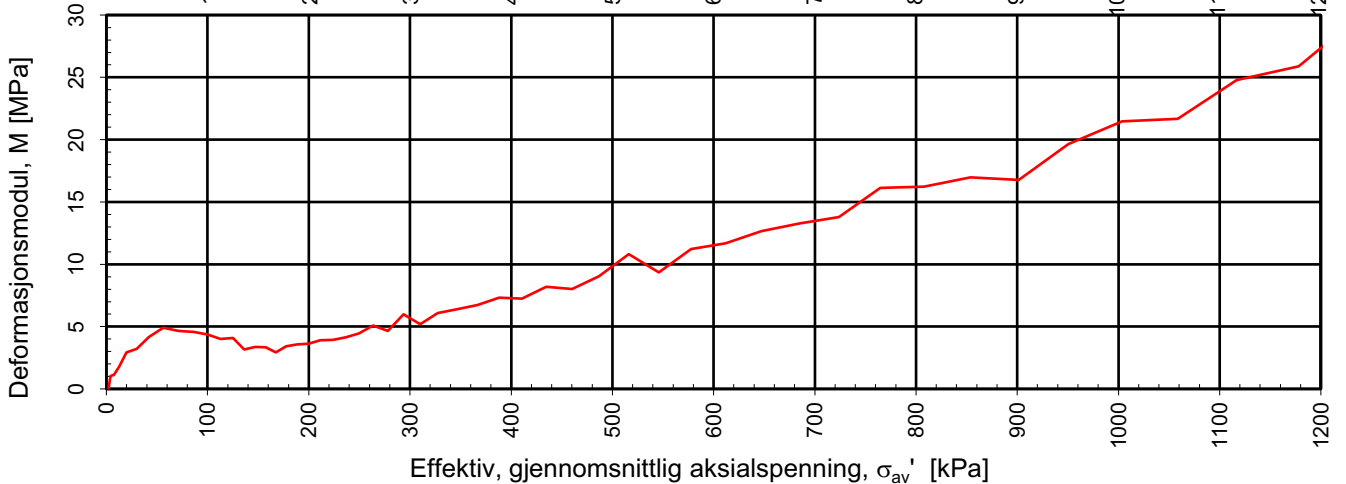
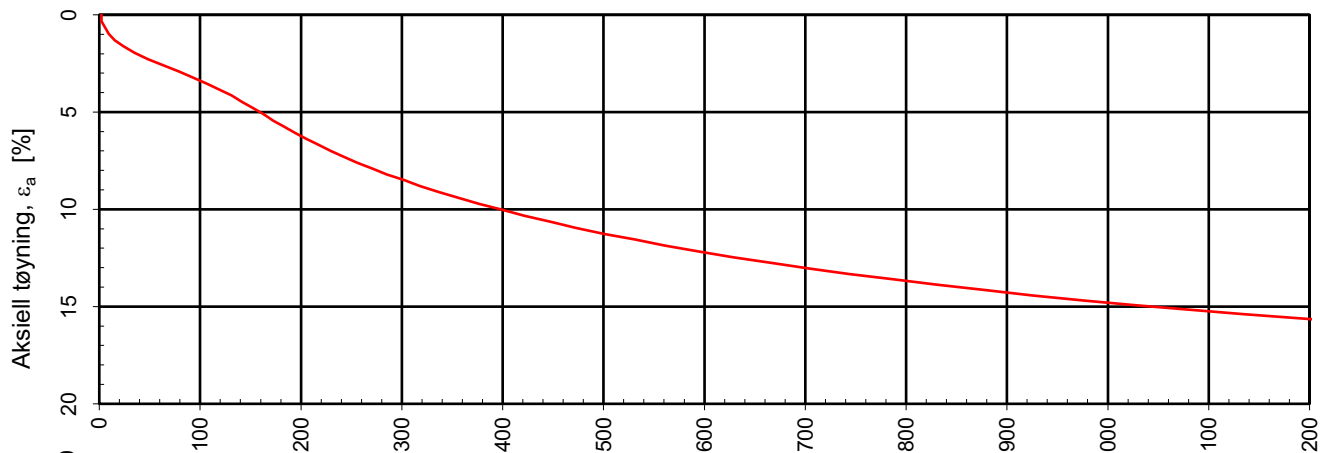
CRS

Programrevisjon:

30.01.2018

Multi
consult

Effektiv gjennomsnittlig aksialspenning, σ_{av}' [kPa]



Densitet ρ (g/cm³):
Vanninnhold w (%):

1,94
29,42

Effektivt overlagingstrykk, σ_{vo}' (kPa):

Øvre Romerike Prosjektering
039.18T Åssiden Fotballhall 116_1921 Drammen

Rapportdato:

19.06.2018

Kontinuerlig ødometerforsøk, CRS-rutine. Plott A: $\sigma_{av}' - \varepsilon_a$, M og c_v .

MULTICONSULT AS

Box 265 Skøyen
N-0213 OSLO
Tlf.: 21 58 50 00

Forsøksdato:

18.06.2018

Dybde, z (m):

4,55

Borpunkt nr.:

9

Forsøknr.:

1

Tegnet av:

METS

Kontrollert:

SIOR

Oppdrag nr.:

10206071

Tegning nr.:

RIG-TEG-401.1

Prosedyre:

CRS

Godkjent:

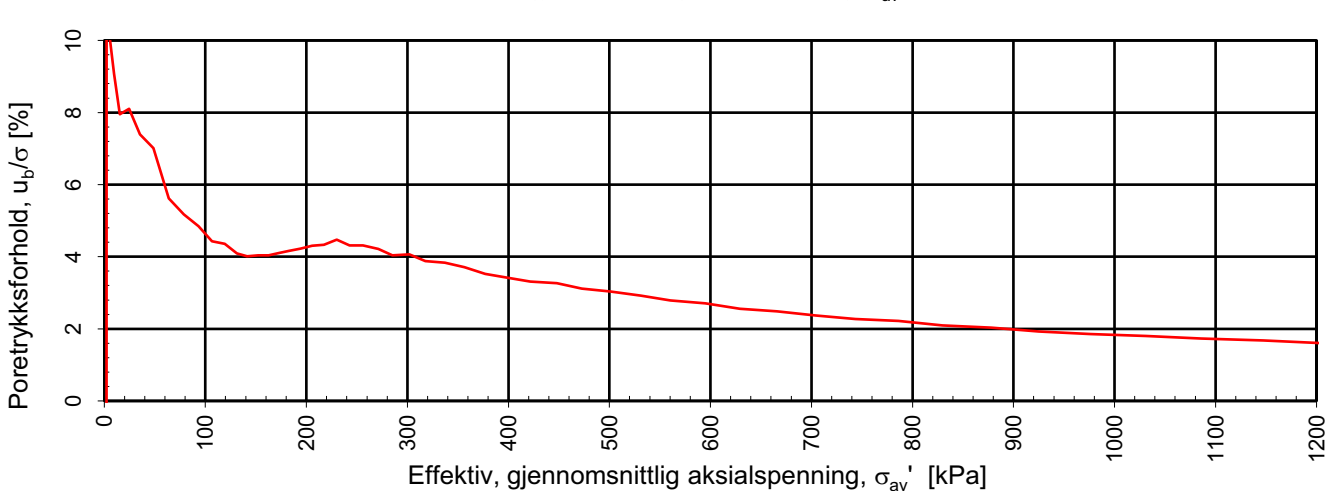
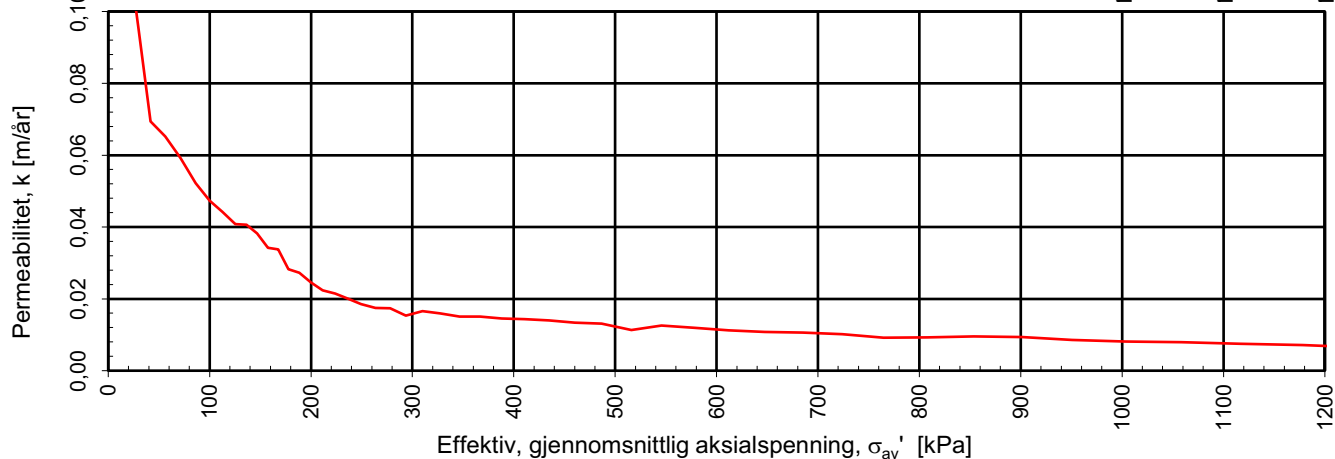
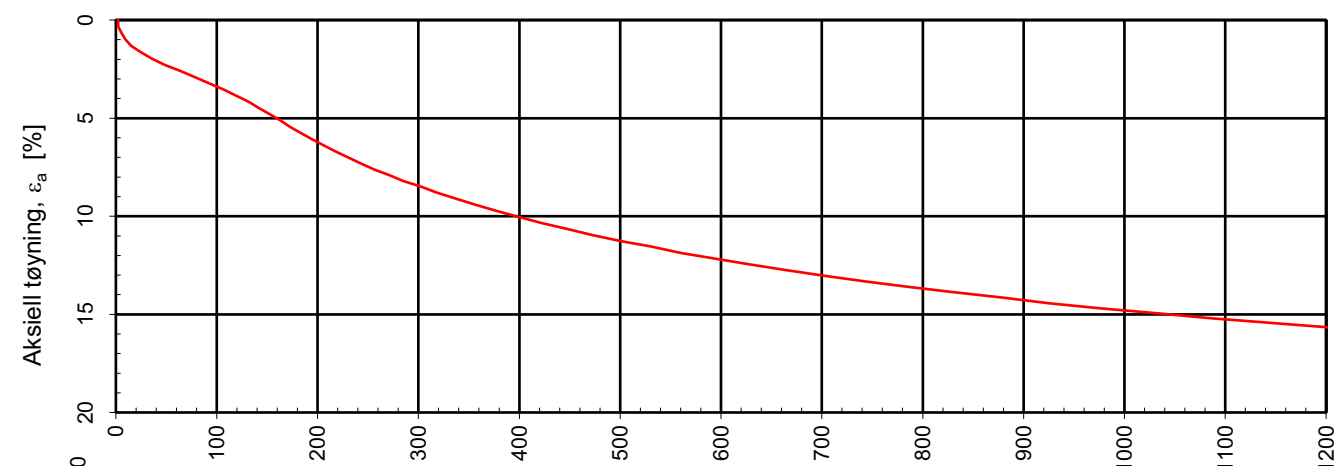
GEO

Programrevisjon:

30.01.2018

Multi
consult

Effektiv, gjennomsnittlig aksialspenning, σ_{av}' [kPa]



Densitet ρ (g/cm³):

1,94

Vanninnhold w (%):

29,42

Effektivt overlagingstrykk, σ_{vo}' (kPa):

Øvre Romerike Prosjektering

039.18T Åssiden Fotballhall 116_1921 Drammen

Kontinuerlig ødometerforsøk, CRS-rutine. Plott B: $\sigma_{av}' - \varepsilon_a$, k og u_b/σ .

Rapportdato:

19.06.2018

MULTICONSULT AS

Box 265 Skøyen
N-0213 OSLO
Tlf.: 21 58 50 00

Forsøksdato:

18.06.2018

Dybde, z (m):

4,55

Borpunkt nr.:

9

Forsøknr.:

1

Tegnet av:

METS

Kontrollert:

SIOR

Oppdrag nr.:

10206071

Tegning nr.:

RIG-TEG-401.2

Prosedyre:

CRS

Godkjent:

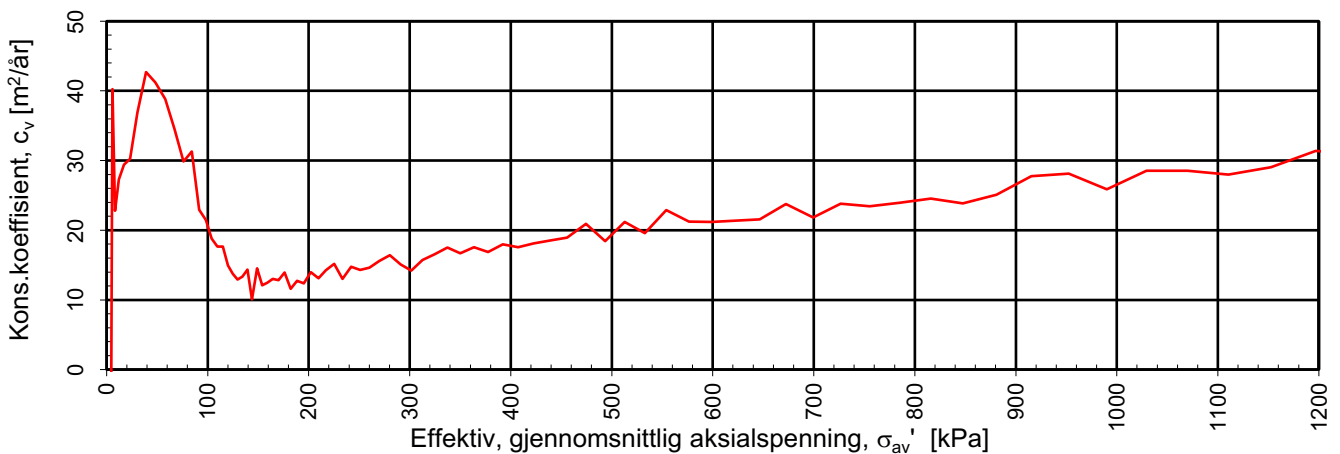
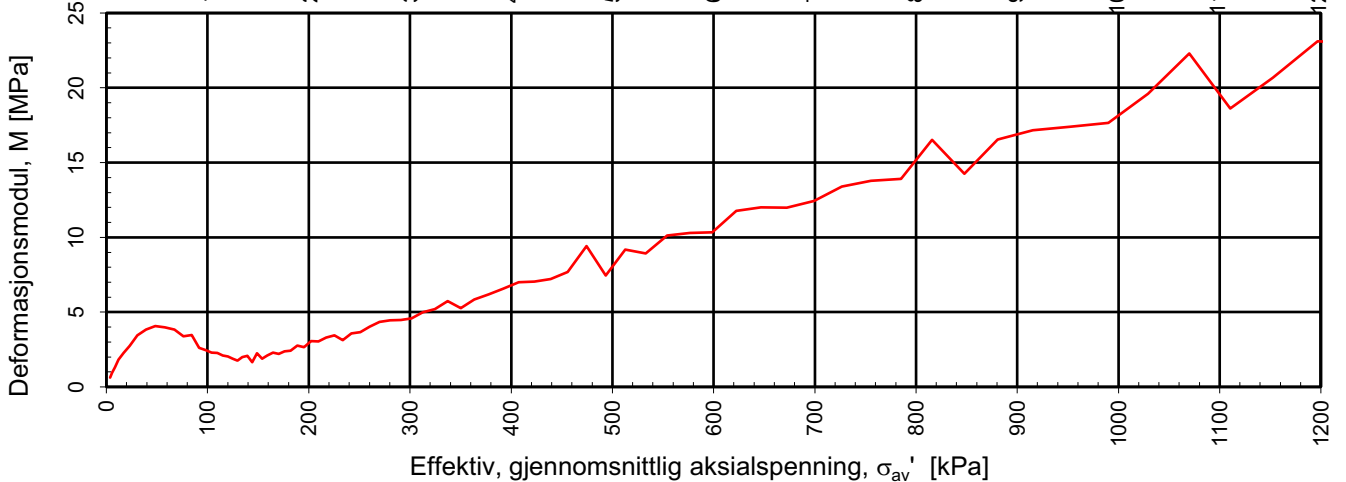
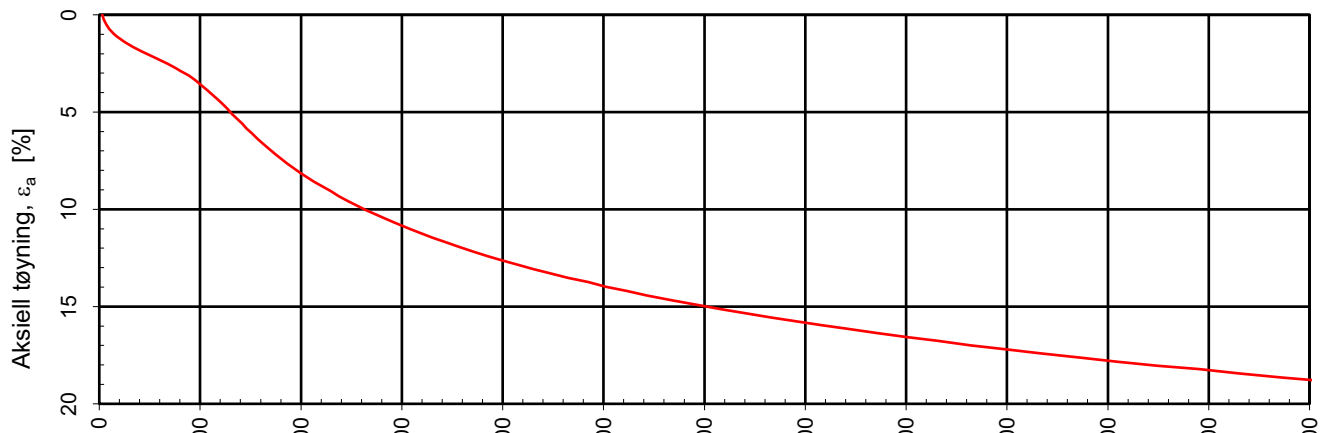
GEO

Programrevisjon:

30.01.2018

Multi
consult

Effektiv gjennomsnittlig aksialspenning, σ_{av}' [kPa]



Densitet ρ (g/cm³): **1,87**
 Vanninnhold w (%): **36,39**

Effektivt overlagingstrykk, σ_{vo}' (kPa):

Øvre Romerike Prosjektering
039.18T Åssiden Fotballhall 116_1921 Drammen

Rapportdato:

20.06.2018

Kontinuerlig ødometerforsøk, CRS-rutine. Plott A: $\sigma_{av}' - \epsilon_a$, M og c_v .

MULTICONSULT AS

Box 265 Skøyen
 N-0213 OSLO
 Tlf.: 21 58 50 00

Forsøksdato:
19.06.2018

Dybde, z (m):
7,50

Borpunkt nr.:
9

Forsøknr.:
1

Tegnet av:
METS

Kontrollert:
SIOR

Oppdrag nr.:
10206071

Tegning nr.:
RIG-TEG-402.1

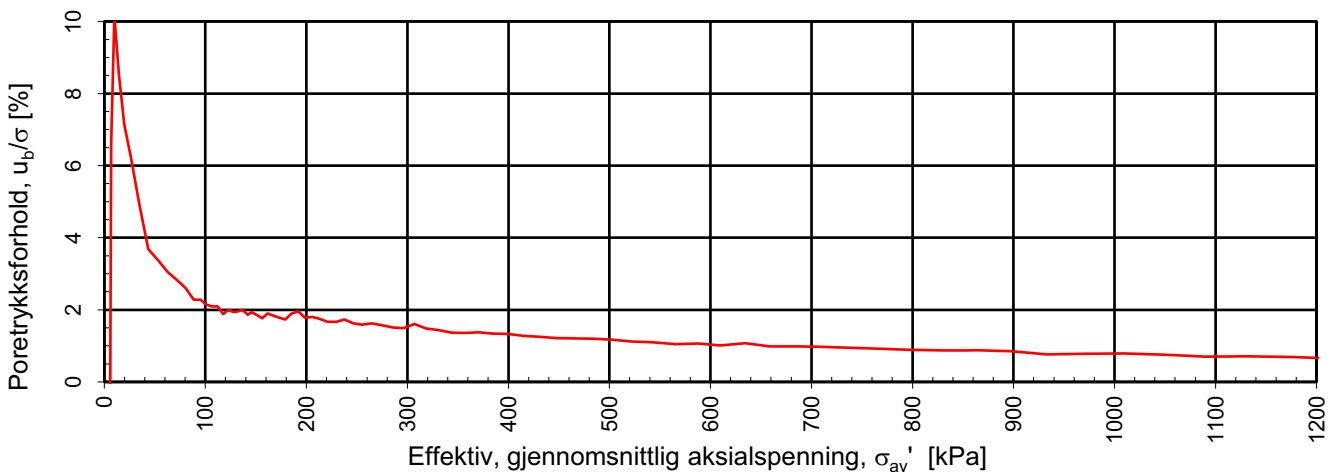
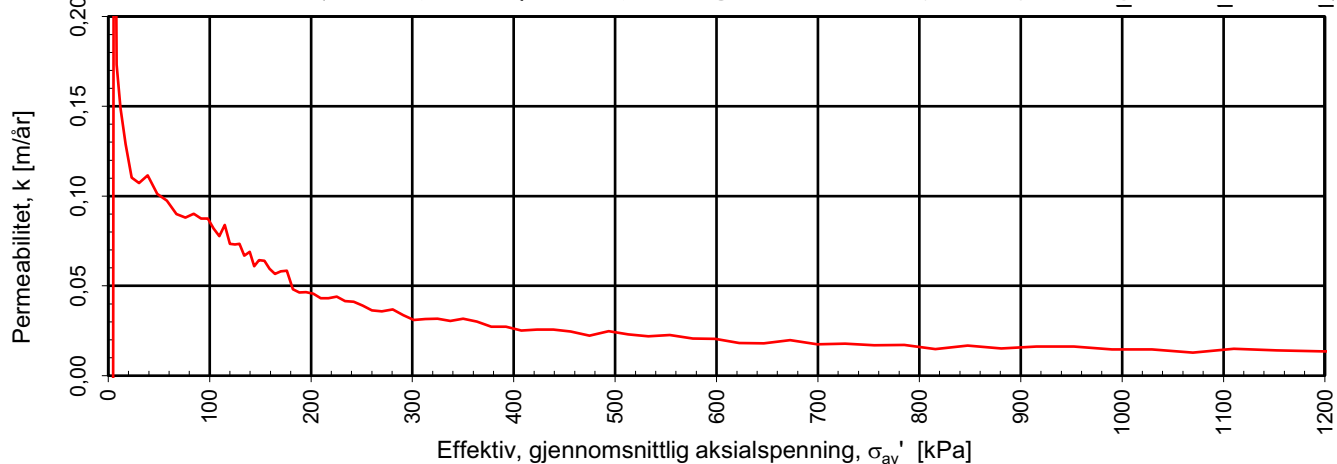
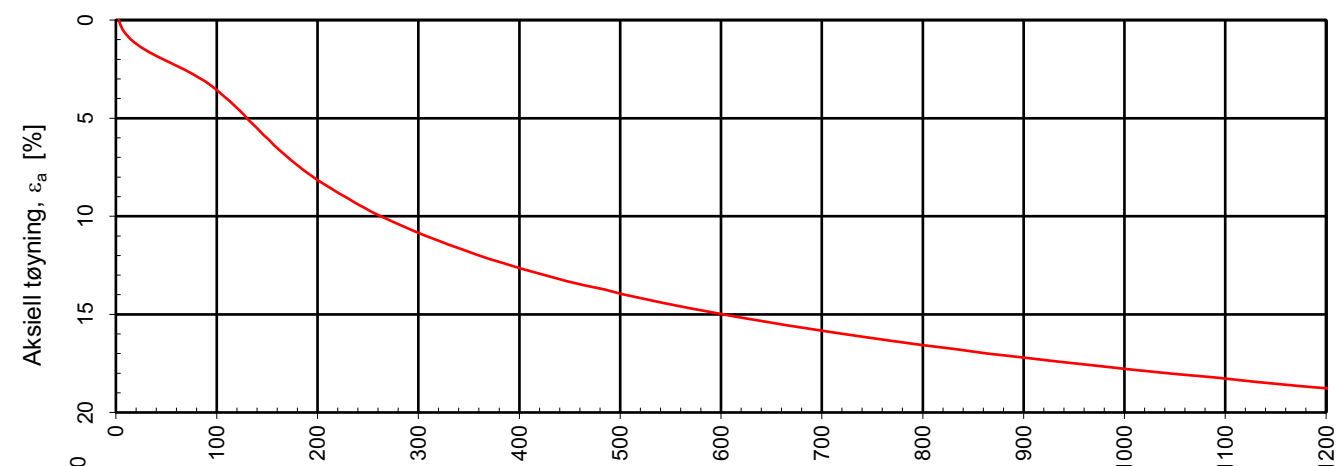
Prosedyre:
CRS

Godkjent:
GEO

Programrevisjon:
30.01.2018



Effektiv, gjennomsnittlig aksialspenning, σ_{av}' [kPa]



Densitet ρ (g/cm³):

1,87

Vanninnhold w (%):

36,39

Effektivt overlagingstrykk, σ_{vo}' (kPa):

Øvre Romerike Prosjektering

039.18T Åssiden Fotballhall 116_1921 Drammen

Kontinuerlig ødometerforsøk, CRS-rutine. Plott B: $\sigma_{av}' - \varepsilon_a$, k og u_b/σ .

Rapportdato:

20.06.2018

MULTICONSULT AS

Box 265 Skøyen
N-0213 OSLO
Tlf.: 21 58 50 00

Forsøksdato:

19.06.2018

Dybde, z (m):

7,50

Borpunkt nr.:

9

Forsøknr.:

1

Tegnet av:

METS

Kontrollert:

SIOR

Oppdrag nr.:

10206071

Tegning nr.:

RIG-TEG-402.2

Prosedyre:

CRS

Godkjent:

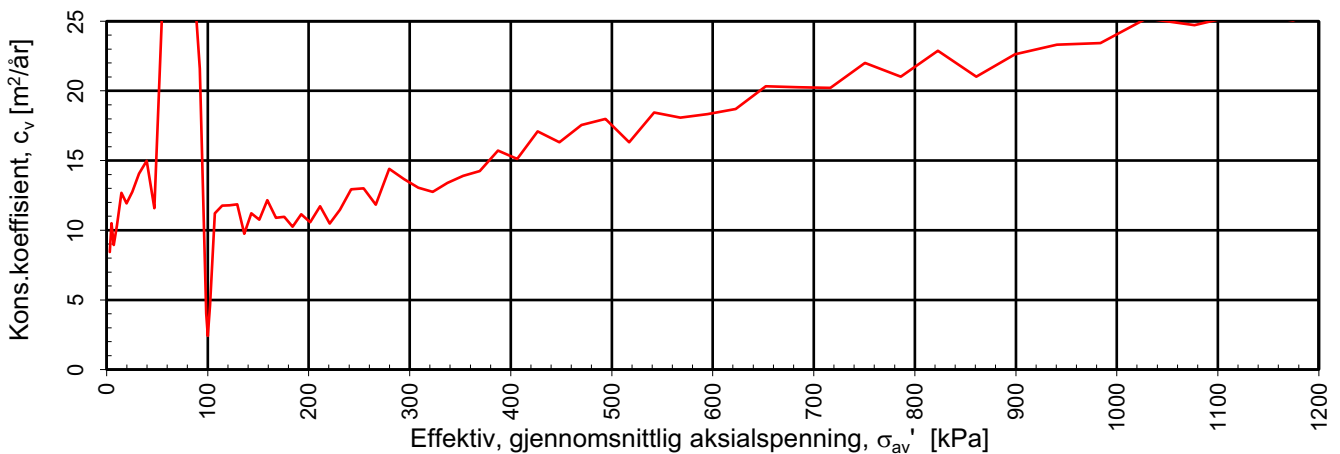
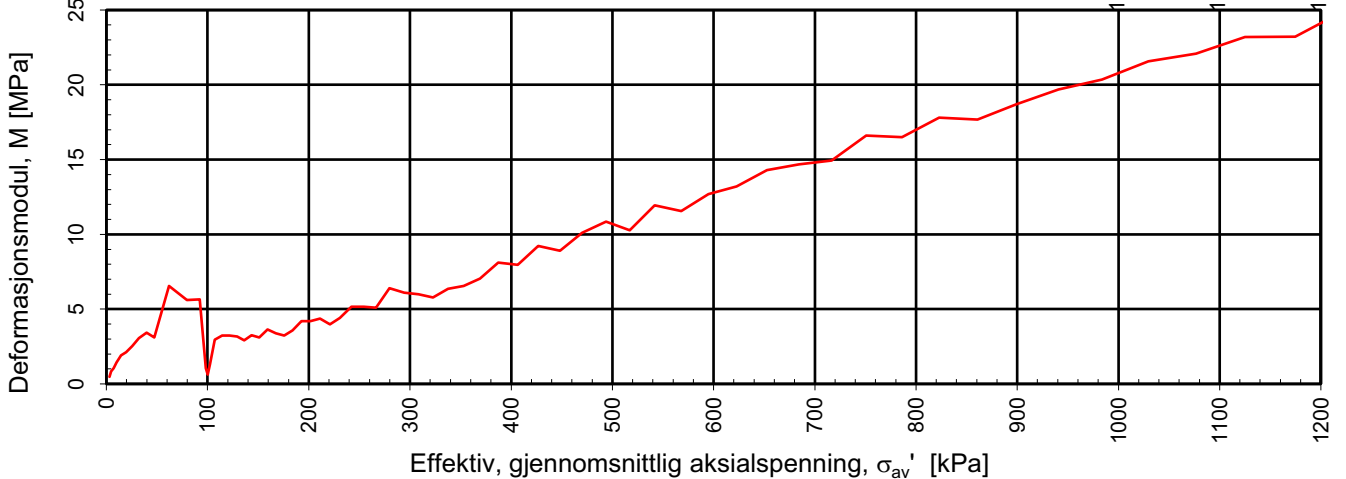
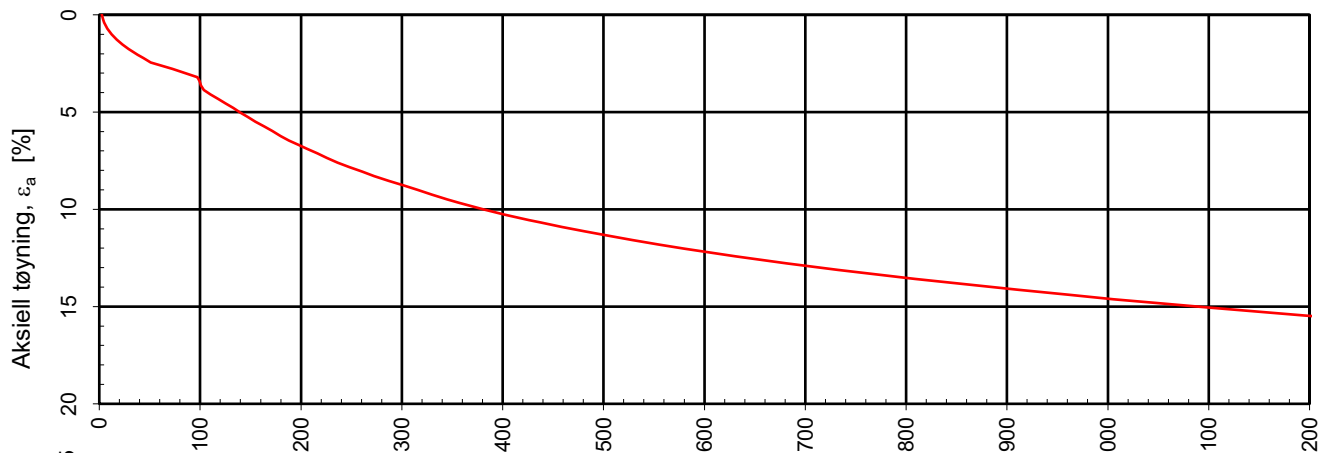
GEO

Programrevisjon:

30.01.2018

Multi
consult

Effektiv gjennomsnittlig aksialspenning, σ_{av}' [kPa]



Densitet ρ (g/cm³): **1,93**
 Vanninnhold w (%): **31,27**

Effektivt overlagingstrykk, σ_{vo}' (kPa):

Øvre Romerike Prosjektering
039.18T Åssiden Fotballhall 116_1921 Drammen

Rapportdato:

20.06.2018

Kontinuerlig ødometerforsøk, CRS-rutine. Plott A: $\sigma_{av}' - \varepsilon_a$, M og c_v .

Multi
consult

MULTICONSULT AS

Box 265 Skøyen
 N-0213 OSLO
 Tlf.: 21 58 50 00

Forsøksdato:
19.06.2018

Dybde, z (m):
12,55

Borpunkt nr.:
9

Forsøknr.:
1

Tegnet av:
METS

Kontrollert:
SIOR

Godkjent:
GEO

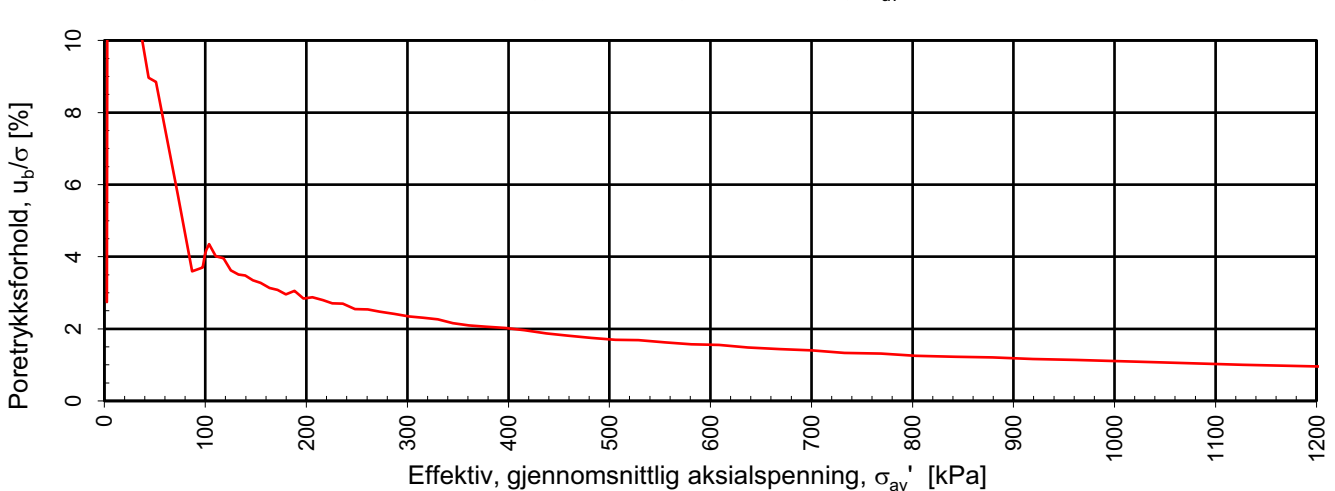
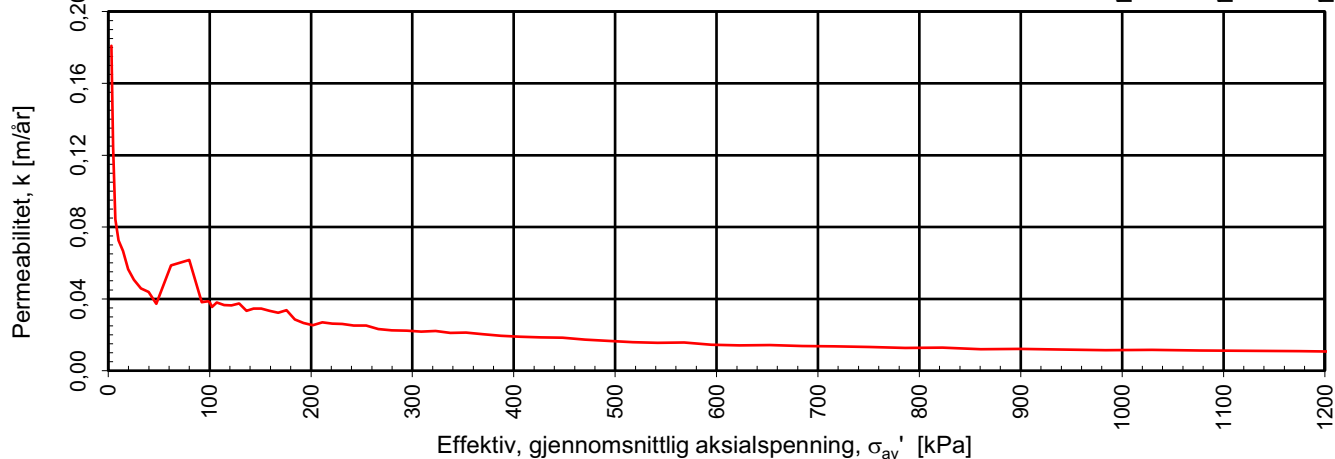
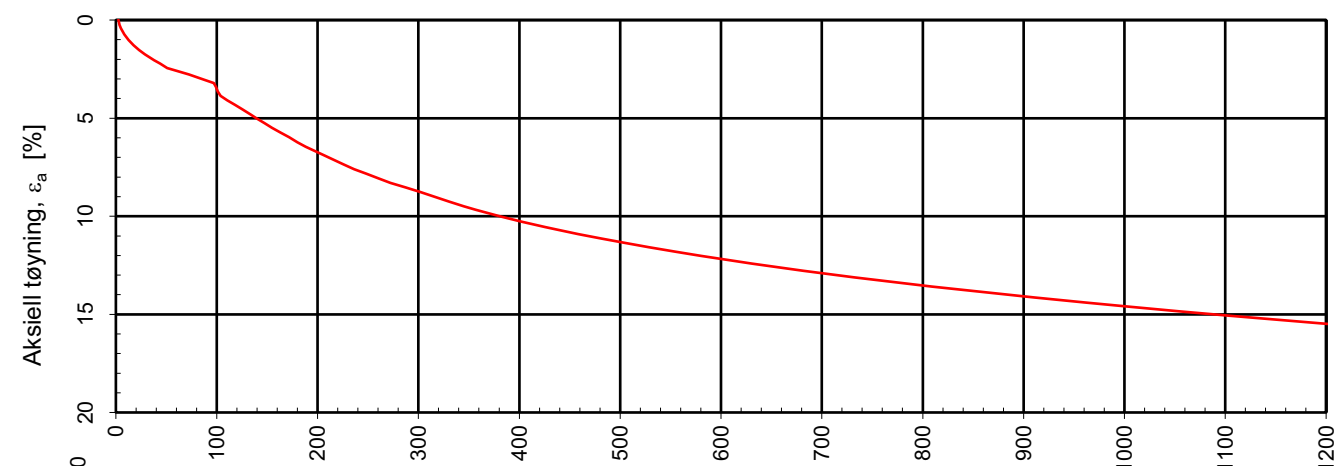
Oppdrag nr.:
10206071

Tegning nr.:
RIG-TEG-403.1

Prosedyre:
CRS

Programrevisjon:
30.01.2018

Effektiv, gjennomsnittlig aksialspenning, σ_{av}' [kPa]



Densitet ρ (g/cm³):

1,93

Vanninnhold w (%):

31,27

Effektivt overlagingstrykk, σ_{vo}' (kPa):

Øvre Romerike Prosjektering

039.18T Åssiden Fotballhall 116_1921 Drammen

Kontinuerlig ødometerforsøk, CRS-rutine. Plott B: $\sigma_{av}' - \varepsilon_a$, k og u_b/σ .

Rapportdato:

20.06.2018

MULTICONSULT AS

Box 265 Skøyen
N-0213 OSLO
Tlf.: 21 58 50 00

Forsøksdato:

19.06.2018

Dybde, z (m):

12,55

Borpunkt nr.:

9

Forsøknr.:

1

Tegnet av:

METS

Kontrollert:

SIOR

Oppdrag nr.:

10206071

Tegning nr.:

RIG-TEG-403.2

Prosedyre:

CRS

Godkjent:

GEO

Programrevisjon:

30.01.2018

Multi
consult

Laboratorieundersøkelser utføres for sikker klassifisering og bestemmelse av mekaniske egenskaper. Forsøkene utføres på prøver som er tatt opp i felt. For utførelsesstandarder henvises det til «Geoteknisk bilag 3 – Oversikt over metodestandarder og retningslinjer».

MINERALSKE JORDARTER

Ved prøveåpning klassifiseres og indentifiseres jordarten. Mineralske jordarter klassifiseres vanligvis på grunnlag av korngraderingen. Betegnelse og kornstørrelser for de enkelte fraksjonene er:

Fraksjon	Leire	Silt	Sand	Grus	Stein	Blokk
Kornstørrelse [mm]	<0,002	0,002-0,063	0,063-2	2-63	63-630	>630

En jordart kan inneholde en eller flere av fraksjonene over. Jordarten benevnes i henhold til korngraderingen med substantiv for den fraksjon som har dominerende betydning for jordartens egenskaper og adjektiv for medvirkende fraksjoner (for eksempel siltig sand). Leirinholdet har størst betydning for benevnelse av jordarten. Morene er en usortert breavsetning som kan inneholde alle fraksjoner fra leir til blokk. Den største fraksjonen angis først i beskrivelsen etter egne benevningsregler, for eksempel grusig morene.

ORGANISKE JORDARTER

Organiske jordarter klassifiseres på grunnlag av jordartens opprinnelse og omdanningsgrad. De viktigste typer er:

Benevnelse	Beskrivelse
Torv	Myrplanter, mer eller mindre omdannet
<ul style="list-style-type: none"> Fibrig torv 	Fibrig med lett gjenkjennelig plantestruktur. Viser noe styrke
<ul style="list-style-type: none"> Delvis fibrig torv, mellomtorv 	Gjenkjennelig plantestruktur, ingen styrke i planterestene
<ul style="list-style-type: none"> Amorf torv, svarttorv 	Ingen synlig plantestruktur, svampig konsistens
Gytje og dy	Nedbrutt struktur av organisk materiale, kan inneholde mineralske bestanddeler
Humus	Planterester, levende organismer sammen med ikke-organisk innhold
Mold og matjord	Sterkt omdannet organisk materiale med løs struktur, utgjør vanligvis det ovre jordlaget

KORNFORDELINGSANALYSER

En kornfordelingsanalyse utføres ved våt eller tørr sikting av fraksjonene med diameter $d > 0,063$ mm. For mindre partikler bestemmes den ekvivalente korndiameteren ved slemmeanalyse og bruk av hydrometer. I slemmeanalysen slemmes materialet opp i vann og densiteten av suspensjonen måles ved bestemte tidsintervaller. Kornfordelingen kan da bestemmes fra Stokes lov om sedimentering av kuleformede partikler i vann. Det vil ofte være nødvendig med en kombinasjon av metodene.

VANNINNHOOLD

Vanninnholdet angir masse av vann i % av masse tørt (fast) stoff i massen og bestemmes fra tørking av en jordprøve ved 110°C i 24 timer.

KONSISTENSGRENSER

Konsistensgrensene (Atterbergs grenser) for en jordart angir vanninnholdsområdet der materialet er plastisk (formbart). Flytegrensen angir vanninnholdet der materialet går fra plastisk til flytende tilstand. Plastisitetsgrensen (utrullingsgrensen) angir vanninnholdet der materialet ikke lenger kan formes uten at det sprekker opp. Plastisitetsindeksen $I_p = w_f - w_p$ (%) angir det plastiske området for jordarten og benyttes til klassifisering av plastisiteten. Er det naturlige vanninnholdet høyere enn flytegrensen blir materialet flytende ved omrøring (vanlig for kvikkleire).

HUMUSINNHOOLD

Humusinnholdet kan bestemmes ved kolorimetri og bruk av natronlut (NaOH-forbindelse), glødning av jordprøve i varmeovn eller våt-oksidasjon med hydrogenperoksyd. Metoden angir innholdet av humufiserte organiske bestanddeler i en relativ skala.

DENSITET, TYNGDETETHET, PORETALL OG PORØSITET

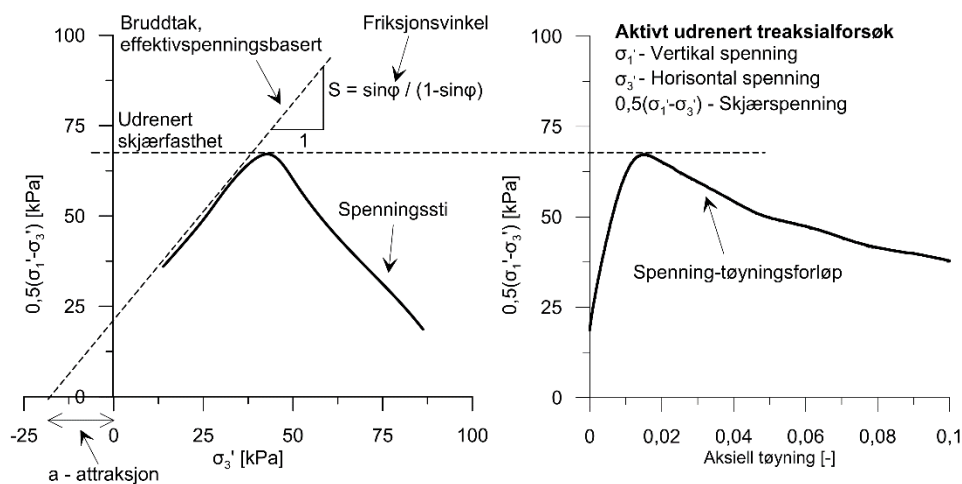
Navn	Symbol	Enhet	Beskrivelse
Densitet	ρ	g/cm^3	Masse av prøve per volumenhet. Bestemmes for hel sylinder og utskåret del
Korndensitet	ρ_s	g/cm^3	Masse av fast stoff per volumenhet fast stoff
Tørr densitet	ρ_d	g/cm^3	Masse tørt stoff per volumenhet
Tyngdetetthet	γ	kN/m^3	Tyngde av prøve per volumenhet ($\gamma = \rho g = \gamma_s(1+w/100)(1-n/100)$, der g er tyngdeakselerasjonen)
Spesifikk tyngdetetthet	γ_s	kN/m^3	Tyngde av fast stoff per volumenhet fast stoff ($\gamma_s = \rho_s g$)
Tørr tyngdetetthet	γ_d	kN/m^3	Tyngde av tørt stoff per volumenhet ($\gamma_d = \rho_d g = \gamma_s(1-n/100)$)
Poretall	e	-	Volum av porer dividert med volum av fast stoff ($e = n/(1-n)$, n som desimaltall)
Porøsitet	n	%	Volum av porer i % av totalt volum av prøven ($n = e/(1+e)$)

SKJÆRFASHTHET

Skjærfastheten beskriver jordens styrke og benyttes bla. til beregning av motstand mot utglidninger og grunnbrudd. Skjærfasthet benyttes i beregninger av skråningsstabilitet og bæreevne. For korttidsbelastninger i finkornige materialer (leire) oppfører jorden seg udrenert og skjærfastheten beskrives ved udrenert skjærfasthet. Over lengre tidsintervaller vil oppførselen karakteriseres som drenert. Det benyttes da effektivspenningsparametere.

Effektive skjærfasthetsparametre a (attraksjon) og $\tan \phi$ (friksjon) bestemmes ved treaksiale belastningsforsøk på uforstyrrede (leire) eller innbyggede prøver (sand). Skjærfastheten er avhengig av effektiv normalspenning (totalspenning – poretrykk) på kritisk plan. Forsøksresultatene fremstilles som spenningsstier som viser spenningsutvikling og tilhørende tøyningutvikling i prøven frem mot brudd. Fra disse, samt fra annen informasjon, bestemmes karakteristiske verdier for skjærfasthetsparametre for det aktuelle problemet.

Udrenert skjærfasthet c_u (kPa) bestemmes som den maksimale skjærspenning et materiale kan påføres før det bryter sammen i en situasjon med raske spenningsendringer uten drenering av poretrykk. I laboratoriet bestemmes denne egenskapen ved enaksiale trykkforsøk (c_{ut}), konusforsøk (uforstyrret c_{ufc} , omrørt c_{urfc}), udrenerte treaksialforsøk (kompresjon/aktiv c_{uA} , avlastning/passiv c_{uP}) og direkte skjærforsøk (c_{uD}). Udrenert skjærfasthet kan også bestemmes i felt ved for eksempel trykksondering med poretrykksmåling (CPTU) ($c_{u\text{CPTU}}$) eller vingebor (uforstyrret c_{uv} , omrørt c_{uvr}).

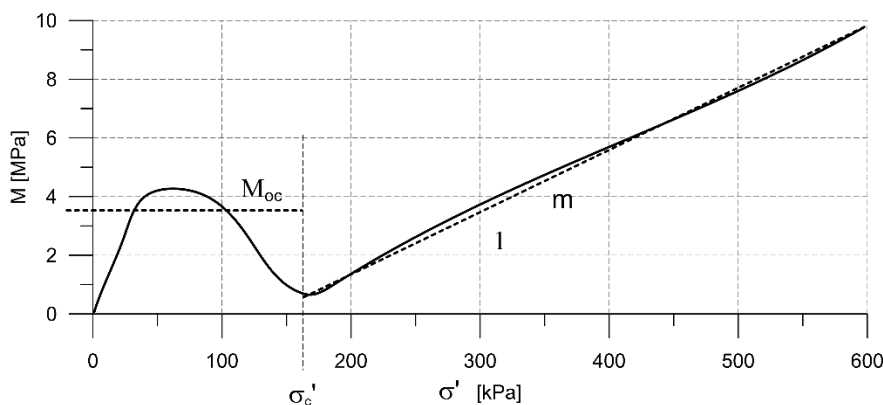


SENSITIVITET

Sensitiviteten $St = c_u/c_r$ uttrykker forholdet mellom en leires udrenerte skjærfasthet i uforstyrret og omrørt tilstand. Denne størrelsen kan bestemmes fra konusforsøk i laboratoriet eller ved vingeborforsøk i felt. Kvikkleire har for eksempel meget lav omrørt skjærfasthet ($c_r < 0,5$ kPa), og viser derfor som regel meget høye sensitivitetsverdier.

DEFORMASJONS- OG KONSOLIDERINGSEGENSKAPER

Jordartens deformasjons- og konsolideringsegenskaper benyttes ved beregning av setninger og deformasjoner. Disse mekaniske egenskapene bestemmes ved hjelp av belastningsforsøk i ødometer. Jordprøven bygges inn i en stiv ring som forhindrer sideveis deformasjon. Belastningen skjer vertikalt med trinnvis eller kontinuerlig økende last/spenning (σ'). Sammenhørende verdier for spenning og deformasjon (tøyning ε) registreres, og materialets stivhet (deformasjonsmodul) kan beregnes som $M = \Delta\sigma'/\Delta\varepsilon$. Denne presenteres som funksjon av vertikalspenningen. En sentral parameter som tolkes i sammenheng med ødometerforsøk er forkonsolideringsspenningen (σ'_c). Dette er det største lastnivået som jorda har opplevd tidligere (f.eks. tidligere overlaging eller islast). Deformasjonsmodulen viser typisk forskjellig oppførsel under og over forkonsolideringsspenningen. I leire vil stivheten for spenningsnivåer under σ'_c representeres ved en konstant stivhetsmodul M_{oc} . For spenningsnivåer over σ'_c vil stivheten øke med økende spenning. Denne økningen kan beskrives ved modultallet m .

**TELEFARLIGHET**

En jordarts telefarlighet bestemmes ut i fra kornfordelingskurven eller ved å måle den kapillære stighøyde for materialet. Telefarligheten klassifiseres i gruppene T1 (Ikke telefarlig), T2 (Litt telefarlig), T3 (Middels telefarlig) og T4 (Meget telefarlig) etter SVV Håndbok N200.

KOMPRIMERINGSEGENSKAPER

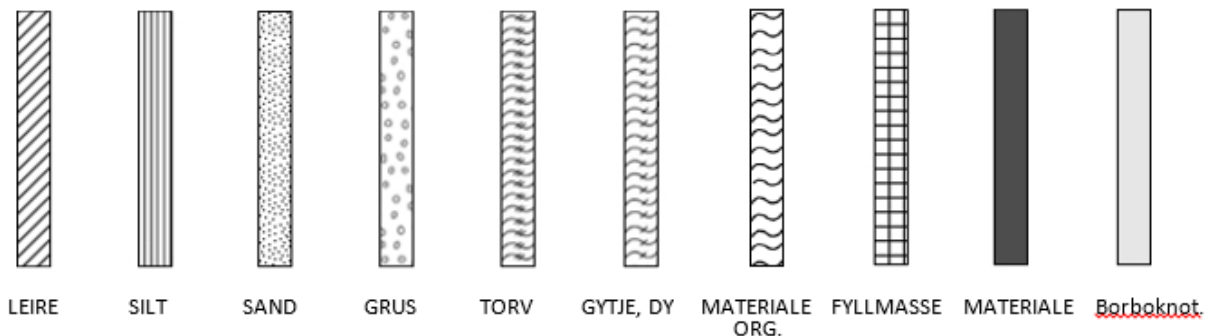
Ved komprimering av en jordart oppnås tettere lagring av mineralkornene. Komprimeringsegenskapene for en jordart bestemmes ved at prøver med forskjellig vanninnhold komprimeres med et bestemt komprimeringsarbeid (Standard eller Modifisert Proctor). Resultatene fremstilles i et diagram som viser tørr densitet ρ_d som funksjon av innbyggingsvanninnhold w_i . Den maksimale tørrdensiteten som oppnås (ρ_{dmax}) benyttes ved spesifisering av krav til utførelsen av komprimeringsarbeider. Det tilhørende vanninnhold benevnes optimalt vanninnhold (w_{opt}).

PERMEABILITET

Permeabiliteten defineres som den vannmengden q som under gitte betingelser vil strømme gjennom et jordvolum pr. tidsenhet. Generelt bestemmes permeabiliteten fra følgende sammenheng: $q = kiA$, der A er bruttoareal av tverrsnittet normalt på vannets strømningsretning og i = hydraulisk gradient i strømningsretningen (= potensialforskjell pr. lengdeenhet). Permeabiliteten kan bestemmes ved strømningsforsøk i laboratoriet, ved konstant eller fallende potensial, eventuelt ved pumpe- eller strømningsforsøk i felt samt ødometerforsøk.

OPPTEGNING AV PRØVESERIE - PRØVESKRAVERING

Analyserte prøver skraveres på prøveserietegningen i henhold til hovedbenevnelsen av materialet. Det er i tillegg en egen skravering for eventuelle notater hentet fra borbok til den gjeldende prøveserien. De ulike skraveringene er som følger:



NB: Med mindre en kornfordelingsanalyse er utført, er dette kun en subjektiv og veiledende klassifisering som er basert på laborantens visuelle vurdering av materialet.

LEIRE: Leirinnholdet er større enn 15 %

SILT: Siltinnholdet er større enn 45 % og leirinnholdet er mindre enn 15 %

SAND: Sandinnholdet er større enn 60 % og leirinnholdet er mindre enn 15 %

GRUS: Grusinnholdet er større enn 60 % og leirinnholdet er mindre enn 15 %

MATERIALE: Brukes når materialet har en slik sammensetning at ingen av de ovennevnte betegnelse kan benyttes. Dette fremkommer normalt fra en kornfordelingsanalyse

TORV: Mer eller mindre omvandlede planterester

GYTJE/DY: Består av vannavsatte plante- og dyrerester. De kan virke fete og elastiske

MATERIALE ORG.: Sterkt omdannet organisk materiale med løs struktur

FYLLMASSE: Avsetninger som ikke er naturlige (utlagte masser)

Borboknotat: Merknader fra borleder (hentet fra borbok), f.eks. «tom sylinder», «foringsrør», «forboring» osv.

OPPTEGNING AV PRØVESERIE - SPESIALFORSØK – Korngradering (K) / Treksialforsøk (T) / Ødometerforsøk (Ø)

Eventuelt utførte spesialforsøk på en prøveserie markeres med K, T eller Ø ved tilhørende prøve. Markeringene indikerer ikke nøyaktig dybde for spesialforsøkene, men er referanse til at det foreligger egne tegninger for forsøket inkludert resultater og ytterlig forsøksinformasjon.

OPPTEGNING AV PRØVESERIE - SYMBOLFORKLARING - Vanninnhold og konsistensgrenser

Vanninnhold og konsistensgrenser utført ved rutineundersøkelsen fremvises på prøveserietegningen ved plassering av symboler på tilhørende graf. Dersom et vanninnhold overstiger grafens maksimumsgrense vil verdien oppgis i siffer ved grafens øvre ytterpunkt.

Vanninnhold w		Plastisitetsgrense w_p	
		Flytegrense w_f	

OPPTEGNING AV PRØVESERIE - SYMBOLFORKLARING - Udrenert skjærfasthet

Resultatene fra utførte konus- og enaksiale trykkforsøk ved rutineundersøkelsen fremvises på prøveserietegningen ved plassering av symboler på tilhørende graf. Dersom en skjærfasthetverdi overstiger grafens maksimumsgrense vil verdien oppgis i siffer ved grafens øvre ytterpunkt.

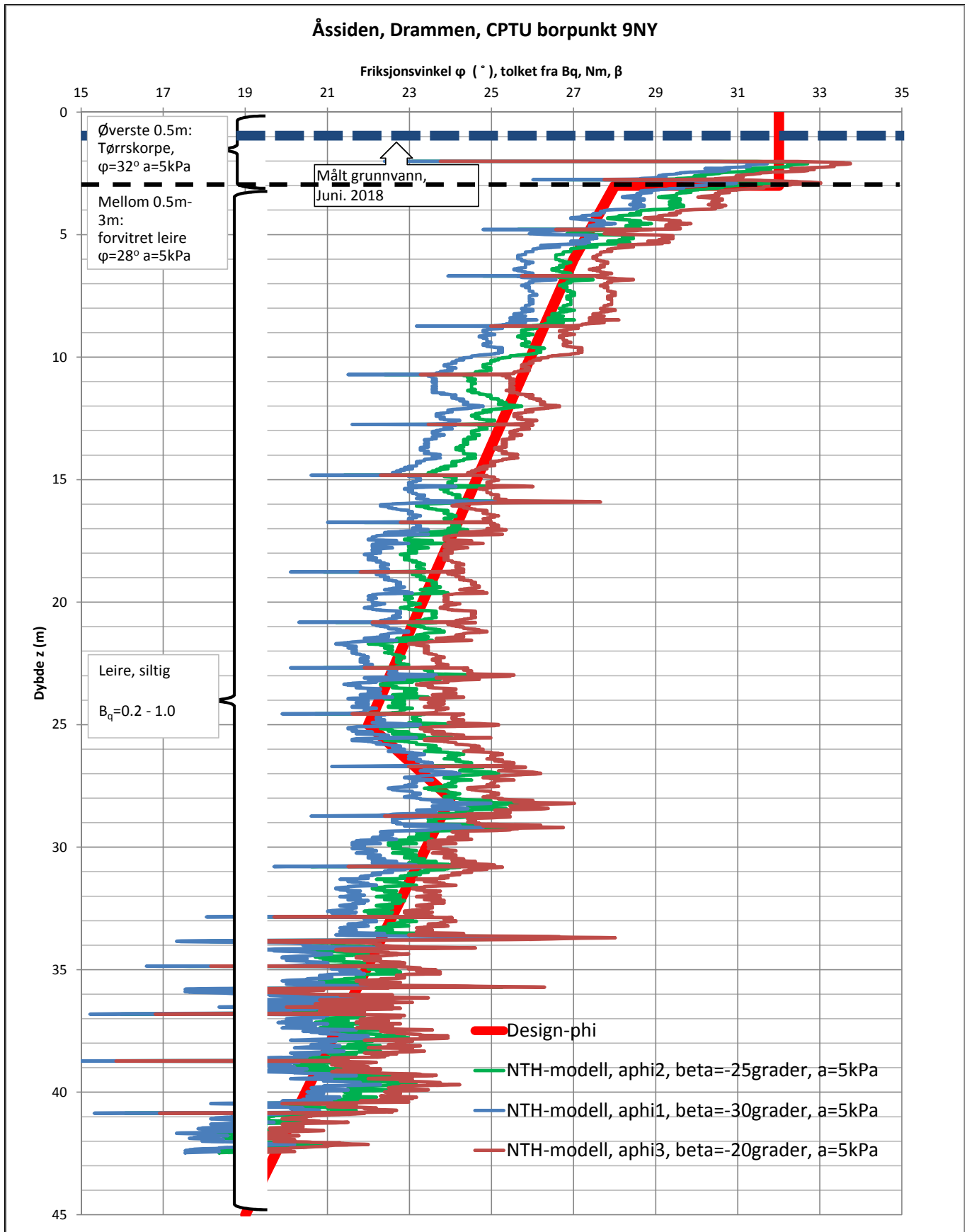
Uomrørt konus c_{urfc}		Omrørt konus c_{urfc}	
Enaksialt trykkforsøk Strek angir aksial tøyning (%) ved brudd		Omrørt konus $c_{urfc} \leq 2,0 \text{ kPa}$	0,9

METODESTANDARDER OG RETNINGSLINJER – LABORATORIEUNDERSØKELSER

Laboratorieundersøkelser beskrevet i geotekniske bilag, samt terminologi og klassifisering benyttet i rapportering, baserer seg på følgende standarder og referansedokumenter:

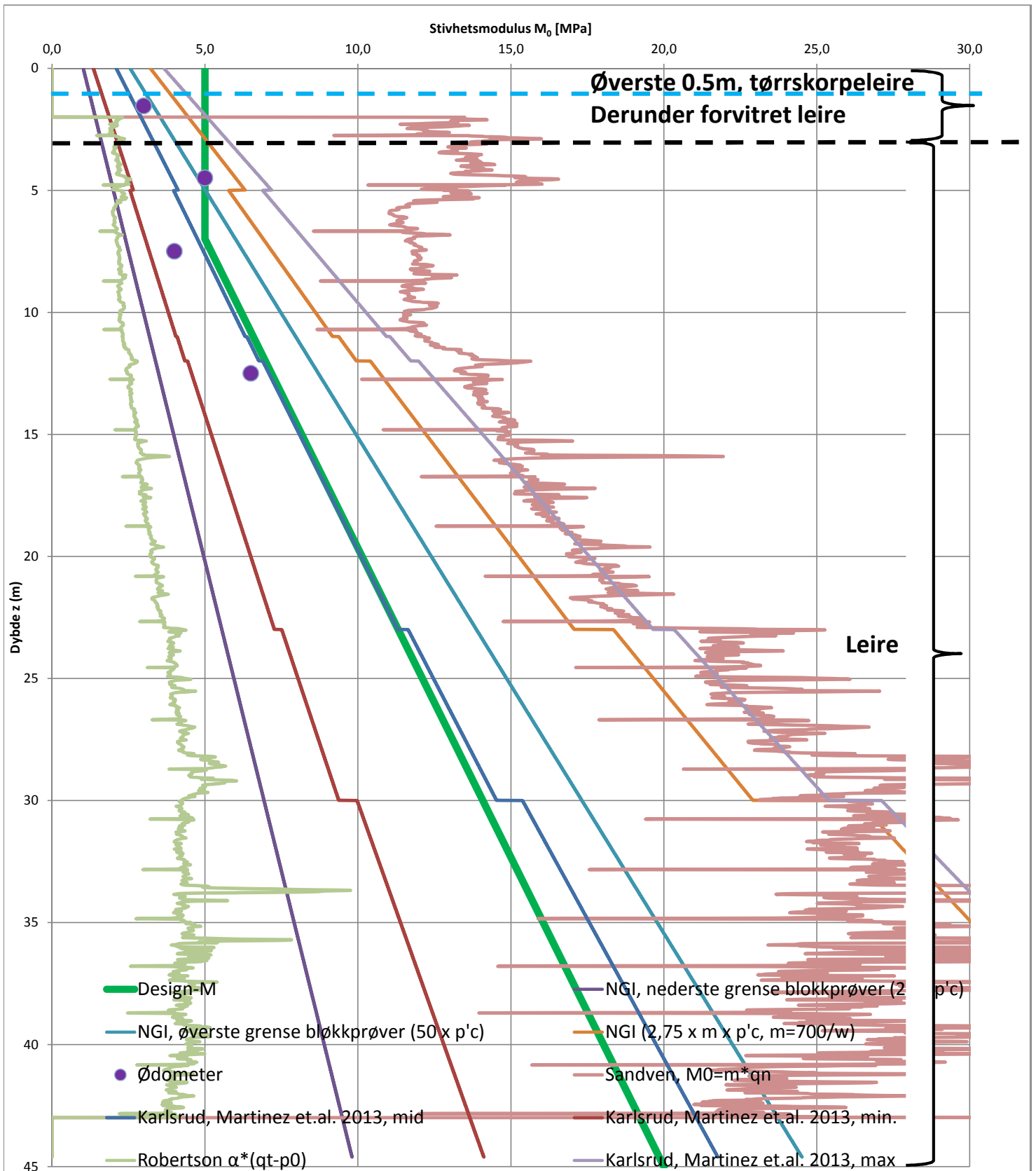
Dokument	Tema
NS8000	Konsistensgrenser – terminologi
NS8001	Støtflytegrense
NS8002	Konusflytegrense
NS8003	Plastisitetsgrense (utrullingsgrense)
NS8004	Svinggrense
NS8005, NS-EN ISO 17892-4	Kornfordelingsanalyse
NS8010, NS-EN ISO 14688-1 og -2	Jord – bestanddeler og struktur. Klassifisering og indentifisering.
NS8011, NS-EN ISO 17892-2	Densitet
NS8012, NS-EN ISO 17892-3	Korndensitet
NS8013, NS-EN ISO 17892-1	Vanninnhold
NS8014	Poretall, porøsitet og metningsgrad
NS8015	Skjærfasthet ved konusforsøk
NS8016	Skjærfasthet ved enaksialt trykkforsøk
NS8017	Ødometerforsøk, trinnvis belastning
NS8018	Ødometerforsøk, kontinuerlig belastning
NS-EN ISO/TS 17892-8 og -9	Treaksialforsøk (UU, CD)
Statens vegvesen Håndbok R210	Laboratorieundersøkelser

Vedlegg 4, Tolkning av friksjonsvinkel, phi



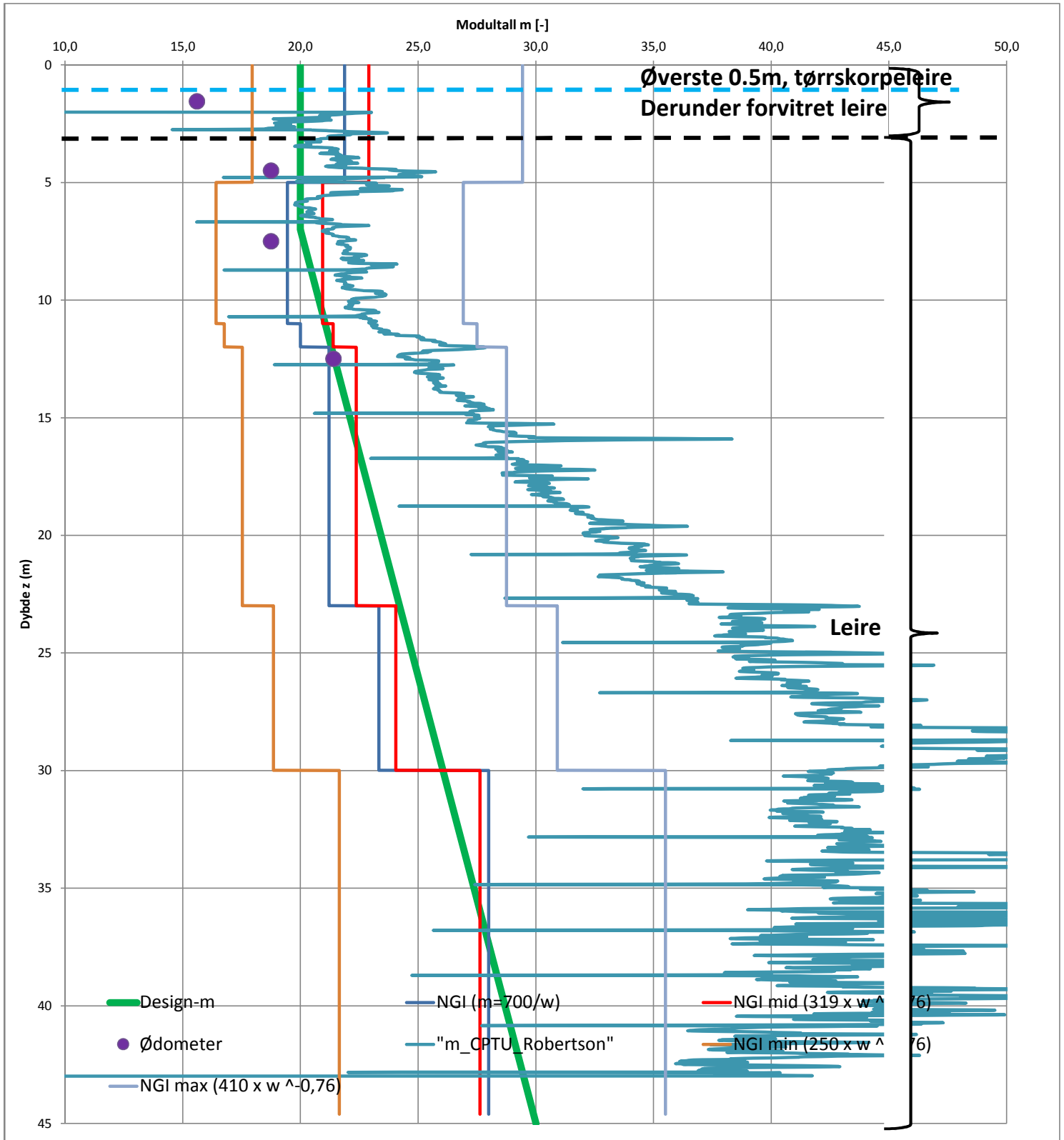
Prosjekt: Åssiden		Sted: Åssiden 116/1921	
Oppdragsnr.: Åssiden Fotballh	Dato sondering: 05.07.2018	Kommune: Drammen	
CPTU-/hull nr.: 9ny	Sonde nr.: 51402	Borfirma: Romerike Grunnboring AS	
Tegnet: Ismail Aricigil	Dato:	Oppdragsgiver: Drammen Eiendom KF	
Kontrollert:	Bilgagsnr.:	Temperatur:	Kote: 10,30
Revisjon:	Titel: Tolkning friksjonsvinkel		
	Filplassering:		

Vedlegg 5, Tolkning av stivhetsmodul M0



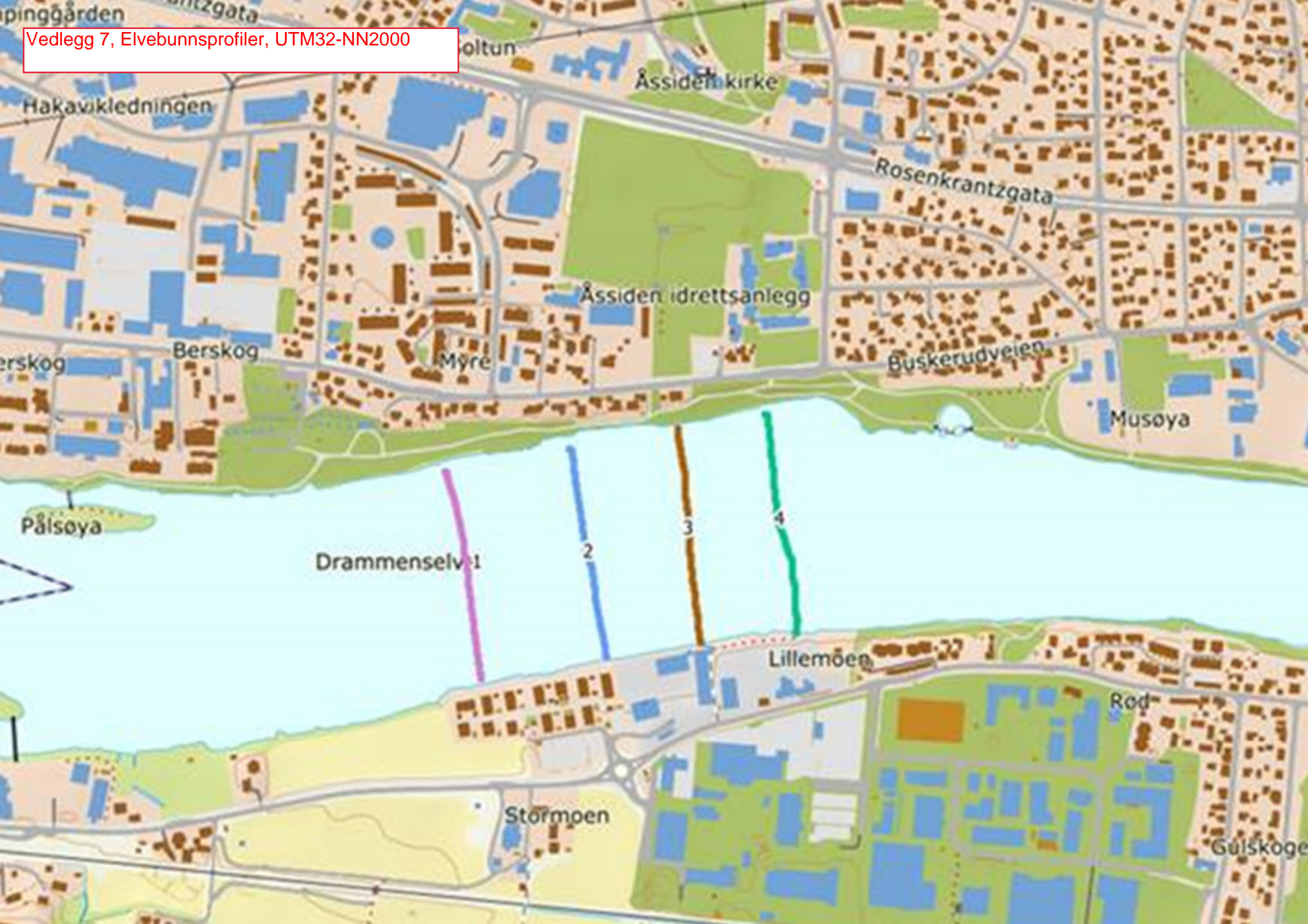
Prosjekt: Åssiden		Sted: 116/1921	
Oppdragsnr.: Åssiden Fotballhall	Dato sondering: 25.06.2018	Kommune: Drammen	
CPTU-/hull nr.: 9ny	Sonde nr.: 51402	Borfirma: RGB	
Tegnet: IA	Dato: 04.jul.18	Oppdragsgiver: Drammen Eiendom KF	
Kontrollert: MW	Bilagsnr.:	Titel: Stivhetsmodulus M	Kommentarer:
Versjon:	0	Filplassering:	
Revisjon:			

Vedlegg 6, Tolkning av modultall m



Prosjekt: Åssiden		Sted: 116/1921	
Oppdragsnr.: Åssiden Fotballhall	Dato sondering: 25.06.2018	Kommune: Drammen	
CPTU-/hull nr.: 9ny	Sonde nr.: 51402	Borfirma: RGB	
Tegnet: IA	Dato: 04.jul.18	Oppdragsgiver: Drammen Eiendom KF	
Kontrollert: MW	Bilgagsnr.:	Kommentarer:	
Revisjon: 0	Titel: Modultall m	Filplassering:	

Vedlegg 7, Elvebunnsprofiler, UTM32-NN2000



Profil 1

X	Y	Z
563912,53	6624110,34	-1,041
563912,56	6624110,3	-0,991
563912,69	6624110,2	-1,171
563912,76	6624110,18	-1,041
563912,86	6624110,16	-1,001
563912,94	6624110,13	-1,111
563913,05	6624110,09	-1,071
563913,15	6624110,06	-1,001
563913,27	6624110,03	-0,961
563913,39	6624110,01	-1,121
563913,52	6624109,99	-1,061
563913,65	6624109,97	-0,961
563913,77	6624109,93	-0,991
563913,91	6624109,91	-1,151
563914,04	6624109,86	-1,181
563914,17	6624109,67	-1,271
563914,28	6624109,3	-1,341
563914,39	6624108,76	-1,351
563914,5	6624108,11	-1,461
563914,61	6624107,37	-1,581
563914,9	6624105,72	-1,741
563915,08	6624104,86	-1,661
563915,26	6624103,97	-1,831
563915,46	6624103,06	-2,121
563915,67	6624102,14	-2,311
563915,91	6624101,22	-2,371
563916,15	6624100,29	-2,441
563916,42	6624099,37	-2,541
563916,69	6624098,45	-2,471
563916,97	6624097,51	-2,571
563917,25	6624096,47	-2,741
563917,51	6624095,41	-3,051
563917,78	6624094,38	-3,131
563918,07	6624093,37	-3,241
563918,36	6624092,35	-3,321
563918,67	6624091,36	-3,341
563918,98	6624090,4	-3,341
563919,31	6624089,41	-3,421
563919,65	6624088,43	-3,671
563919,99	6624087,45	-3,551
563920,34	6624086,46	-3,501
563920,69	6624085,5	-3,631
563921,03	6624084,55	-3,871
563921,36	6624083,55	-3,821
563921,68	6624082,55	-3,791
563922	6624081,55	-3,771
563922,31	6624080,55	-3,791
563922,62	6624079,54	-3,741
563922,93	6624078,53	-3,681

563923,26	6624077,52	-3,671
563923,59	6624076,52	-3,761
563923,93	6624075,5	-3,801
563924,25	6624074,42	-3,901
563924,55	6624073,26	-3,891
563924,81	6624072,12	-3,841
563925,09	6624071,01	-3,821
563925,35	6624069,91	-3,771
563925,58	6624068,75	-3,711
563925,79	6624067,58	-3,671
563926	6624066,4	-3,651
563926,22	6624065,26	-3,621
563926,43	6624064,13	-3,641
563926,65	6624062,99	-3,611
563926,84	6624061,84	-3,631
563927,05	6624060,62	-3,691
563927,3	6624059,46	-3,771
563927,59	6624058,39	-3,831
563927,9	6624057,34	-3,891
563928,22	6624056,24	-3,881
563928,53	6624055,14	-3,831
563928,82	6624054	-3,851
563929,11	6624052,83	-3,911
563929,38	6624051,66	-3,951
563929,66	6624050,48	-3,891
563929,94	6624049,3	-4,031
563930,21	6624048,18	-4,011
563930,48	6624047,09	-4,041
563930,74	6624046,01	-4,041
563930,97	6624044,91	-4,021
563931,17	6624043,76	-3,991
563931,35	6624042,61	-3,971
563931,53	6624041,49	-3,981
563931,71	6624040,36	-4,021
563931,89	6624039,18	-4,021
563932,09	6624038,05	-4,061
563932,33	6624036,97	-4,101
563932,55	6624035,89	-4,151
563932,78	6624034,81	-4,201
563933,01	6624033,69	-4,261
563933,25	6624032,58	-4,291
563933,51	6624031,45	-4,381
563933,79	6624030,35	-4,371
563934,08	6624029,24	-4,371
563934,35	6624028,14	-4,391
563934,62	6624027,08	-4,511
563934,84	6624026	-4,541
563934,98	6624024,86	-4,561
563935,08	6624023,7	-4,611
563935,17	6624022,56	-4,621

563935,25	6624021,43	-4,631
563935,32	6624020,34	-4,631
563935,38	6624019,26	-4,671
563935,42	6624018,13	-4,821
563935,45	6624016,97	-4,971
563935,5	6624015,82	-4,891
563935,58	6624014,72	-4,791
563935,68	6624013,64	-4,751
563935,81	6624012,53	-4,351
563935,96	6624011,39	-4,031
563936,15	6624010,3	-3,761
563936,36	6624009,2	-3,271
563936,57	6624008,09	-2,681
563936,77	6624007,01	-2,111
563936,96	6624005,92	-1,481
563937,14	6624004,84	-1,081
563937,3	6624003,76	-0,931
563937,45	6624002,67	-0,881
563937,6	6624001,56	-0,841
563937,75	6624000,45	-0,761
563937,91	6623999,36	-0,731
563938,07	6623998,31	-0,741
563938,24	6623997,27	-0,681
563938,41	6623996,27	-0,661
563938,6	6623995,28	-0,631
563938,79	6623994,29	-0,801
563939	6623993,32	-0,881
563939,2	6623992,37	-0,851
563939,41	6623991,42	-0,881
563939,6	6623990,44	-0,881
563939,78	6623989,48	-0,911
563939,93	6623988,52	-0,841
563940,07	6623987,54	-0,761
563940,18	6623986,56	-0,841
563940,27	6623985,53	-0,771
563940,33	6623984,5	-0,721
563940,38	6623983,49	-0,691
563940,43	6623982,51	-0,741
563940,5	6623981,49	-0,831
563940,56	6623980,5	-0,921
563940,65	6623979,52	-0,961
563940,73	6623978,53	-0,921
563940,84	6623977,52	-0,931
563940,94	6623976,47	-0,931
563941,04	6623975,44	-0,891
563941,15	6623974,42	-0,791
563941,24	6623973,36	-0,761
563941,31	6623972,31	-0,831
563941,39	6623971,26	-0,831
563941,47	6623970,18	-0,871

563941,55	6623969,11	-0,651
563941,65	6623968,02	-0,821
563941,76	6623966,92	-0,741
563941,89	6623965,79	-0,891
563942,04	6623964,67	-0,881
563942,21	6623963,54	-0,821
563942,39	6623962,41	-0,811
563942,6	6623961,35	-0,891
563942,8	6623960,32	-1,041
563942,97	6623959,27	-1,431
563943,14	6623958,15	-2,551
563943,28	6623957,01	-3,141
563943,42	6623955,85	-3,451
563943,57	6623954,71	-3,551
563943,73	6623953,62	-3,641
563943,88	6623952,5	-3,661
563944,03	6623951,34	-4,061
563944,17	6623950,19	-4,251
563944,29	6623949,07	-4,411
563944,37	6623947,93	-4,461
563944,46	6623946,78	-4,271
563944,54	6623945,64	-4,101
563944,63	6623944,52	-4,051
563944,73	6623943,39	-4,131
563944,84	6623942,26	-4,071
563944,97	6623941,16	-4,011
563945,1	6623940,05	-3,941
563945,25	6623938,95	-3,911
563945,39	6623937,86	-3,851
563945,52	6623936,78	-3,831
563945,66	6623935,7	-3,831
563945,79	6623934,64	-3,891
563945,95	6623933,57	-3,881
563946,12	6623932,5	-3,901
563946,3	6623931,41	-3,921
563946,5	6623930,33	-3,941
563946,73	6623929,26	-4,021
563946,95	6623928,19	-4,041
563947,15	6623927,14	-4,131
563947,33	6623926,07	-4,151
563947,46	6623924,99	-4,151
563947,56	6623923,87	-4,161
563947,65	6623922,73	-4,131
563947,73	6623921,6	-4,171
563947,82	6623920,48	-4,231
563947,89	6623919,36	-4,191
563947,98	6623918,22	-4,431
563948,08	6623917,08	-4,751
563948,19	6623915,95	-4,781
563948,31	6623914,85	-4,881

563948,44	6623913,74	-5,041
563948,58	6623912,61	-5,071
563948,72	6623911,46	-5,081
563948,88	6623910,33	-5,071
563949,05	6623909,21	-5,131
563949,22	6623908,09	-5,181
563949,38	6623906,99	-5,231
563949,51	6623905,88	-5,261
563949,67	6623904,76	-5,261
563949,81	6623903,64	-5,281
563949,95	6623902,5	-5,321
563950,12	6623901,36	-5,341
563950,27	6623900,26	-5,381
563950,41	6623899,15	-5,451
563950,55	6623898,04	-5,511
563950,68	6623896,88	-5,551
563950,79	6623895,7	-5,591
563950,92	6623894,51	-5,621
563951,07	6623893,35	-5,661
563951,24	6623892,23	-5,691
563951,42	6623891,12	-5,721
563951,59	6623890,01	-5,801
563951,76	6623888,92	-5,861
563951,92	6623887,83	-5,891
563952,07	6623886,74	-5,921
563952,22	6623885,65	-6,001
563952,39	6623884,57	-6,061
563952,55	6623883,48	-6,121
563952,71	6623882,4	-6,191
563952,87	6623881,35	-6,231
563953,04	6623880,3	-6,221
563953,2	6623879,26	-6,281
563953,36	6623878,23	-6,361
563953,51	6623877,18	-6,401
563953,67	6623876,15	-6,361
563953,83	6623875,11	-6,251
563954	6623874,1	-6,201
563954,17	6623873,1	-6,151
563954,35	6623872,11	-6,041
563954,52	6623871,11	-5,981
563954,69	6623870,1	-5,821
563954,86	6623869,11	-5,921
563955,03	6623868,11	-5,811
563955,17	6623867,12	-5,581
563955,33	6623866,13	-5,531
563955,48	6623865,13	-5,381
563955,61	6623864,16	-5,351
563955,73	6623863,19	-5,181
563955,86	6623862,3	-4,991
563955,97	6623861,51	-4,661

563956,09	6623860,8	-4,441
563956,22	6623860,17	-4,301
563956,33	6623859,6	-4,061
563956,46	6623859,08	-4,001
563956,58	6623858,59	-3,931
563956,72	6623858,15	-3,761
563956,86	6623857,74	-3,631
563956,91	6623857,57	-3,591
563956,72	6623857,58	-3,631
563956,67	6623857,31	-3,061
563956,79	6623857,28	-3,041
563956,8	6623857,26	-3,031

Profil 2

X	Y	Z
564064,18	6624138,63	-1,201
564064,18	6624138,5	-1,211
564064,2	6624138,38	-1,251
564064,25	6624138,27	-1,261
564064,33	6624138,14	-1,281
564064,44	6624138,03	-1,251
564064,57	6624137,94	-1,191
564064,73	6624137,85	-1,351
564064,92	6624137,8	-1,321
564065,15	6624137,73	-1,371
564065,36	6624137,69	-1,431
564065,57	6624137,62	-1,461
564065,78	6624137,52	-1,461
564066,02	6624137,42	-1,461
564066,32	6624137,3	-1,241
564066,7	6624137,12	-1,241
564067,14	6624136,77	-1,441
564067,53	6624136,16	-1,491
564067,83	6624135,32	-1,661
564068,01	6624134,24	-1,691
564068,15	6624133,1	-1,741
564068,27	6624131,95	-2,061
564068,38	6624130,82	-2,391
564068,5	6624129,72	-2,681
564068,67	6624128,69	-2,861
564068,86	6624127,7	-3,071
564069,04	6624126,72	-3,231
564069,18	6624125,74	-3,431
564069,27	6624124,74	-3,451
564069,32	6624123,72	-3,531
564069,36	6624122,69	-4,031
564069,37	6624121,66	-4,271
564069,36	6624120,61	-4,241
564069,35	6624119,59	-4,491
564069,34	6624118,53	-4,521
564069,34	6624117,53	-4,681
564069,44	6624116,25	-4,991
564069,63	6624115,14	-5,151
564069,86	6624114,09	-5,191
564070,12	6624113,09	-5,271
564070,36	6624112,07	-5,251
564070,59	6624111,01	-5,191
564070,79	6624109,91	-5,181
564070,96	6624108,79	-5,031
564071,1	6624107,68	-4,931
564071,23	6624106,53	-4,881
564071,32	6624105,35	-4,791
564071,39	6624104,14	-4,701
564071,47	6624102,88	-4,611

564071,57	6624101,6	-4,561
564071,7	6624100,33	-4,481
564071,89	6624099,13	-4,491
564072,09	6624097,91	-4,461
564072,3	6624096,71	-4,491
564072,51	6624095,49	-4,461
564072,71	6624094,26	-4,471
564072,91	6624093,04	-4,481
564073,08	6624091,81	-4,451
564073,26	6624090,58	-4,431
564073,44	6624089,36	-4,401
564073,61	6624088,14	-4,391
564073,8	6624086,91	-4,331
564074	6624085,71	-4,301
564074,19	6624084,52	-4,331
564074,4	6624083,36	-4,291
564074,6	6624082,2	-4,281
564074,81	6624081,06	-4,261
564075,03	6624079,92	-4,251
564075,24	6624078,79	-4,231
564075,43	6624077,68	-4,231
564075,62	6624076,56	-4,251
564075,81	6624075,43	-4,251
564075,98	6624074,32	-4,261
564076,16	6624073,17	-4,271
564076,36	6624072,04	-4,321
564076,57	6624070,93	-4,341
564076,79	6624069,8	-4,401
564077,01	6624068,68	-4,441
564077,22	6624067,55	-4,471
564077,41	6624066,38	-4,531
564077,58	6624065,16	-4,551
564077,73	6624063,91	-4,551
564077,9	6624062,66	-4,571
564078,06	6624061,4	-4,601
564078,23	6624060,15	-4,651
564078,36	6624058,92	-4,701
564078,55	6624057,64	-4,751
564078,73	6624056,35	-4,821
564078,9	6624055,08	-4,901
564079,09	6624053,78	-5,001
564079,28	6624052,52	-4,991
564079,46	6624051,26	-5,021
564079,64	6624050,02	-5,011
564079,79	6624048,77	-4,951
564079,95	6624047,54	-4,941
564080,11	6624046,36	-4,951
564080,27	6624045,19	-4,971
564080,43	6624044,08	-5,071
564080,59	6624042,98	-4,981

564080,72	6624041,89	-4,521
564080,85	6624040,83	-4,071
564080,97	6624039,78	-3,751
564081,08	6624038,69	-3,241
564081,24	6624037,65	-2,771
564081,4	6624036,57	-2,391
564081,59	6624035,46	-2,001
564081,77	6624034,36	-1,721
564081,97	6624033,28	-1,631
564082,17	6624032,24	-1,521
564082,37	6624031,18	-1,511
564082,58	6624030,15	-1,371
564082,75	6624029,09	-1,331
564082,92	6624028,02	-1,141
564083,06	6624026,92	-0,861
564083,21	6624025,88	-0,901
564083,39	6624024,9	-0,671
564083,55	6624023,99	-0,571
564083,7	6624023,06	-0,601
564083,84	6624022,23	-0,561
564083,98	6624021,36	-0,571
564084,1	6624020,55	-0,551
564084,25	6624019,75	-0,511
564084,4	6624019,01	-0,501
564084,53	6624018,3	-0,511
564084,69	6624017,62	-0,531
564084,82	6624016,95	-0,541
564085	6624016,22	-0,481
564085,16	6624015,48	-0,481
564085,34	6624014,78	-0,471
564085,49	6624014,13	-0,481
564085,64	6624013,51	-0,491
564085,79	6624012,91	-0,491
564085,93	6624012,31	-0,481
564086,08	6624011,72	-0,491
564086,23	6624011,14	-0,481
564086,39	6624010,58	-0,561
564086,54	6624009,98	-0,491
564086,72	6624009,43	-0,471
564086,87	6624008,84	-0,471
564087,02	6624008,25	-0,571
564087,18	6624007,64	-0,571
564087,32	6624007,06	-0,551
564087,51	6624006,33	-0,491
564087,68	6624005,62	-0,551
564087,87	6624004,84	-0,551
564088,08	6624004	-0,581
564088,29	6624003,24	-0,551
564088,57	6624002,35	-0,591
564088,83	6624001,59	-0,591

564089,11	6624000,88	-0,491
564089,4	6624000,17	-0,501
564089,66	6623999,48	-0,481
564089,9	6623998,8	-0,541
564090,12	6623998,2	-0,541
564090,4	6623997,43	-0,541
564090,66	6623996,78	-0,571
564090,9	6623996,15	-0,551
564091,13	6623995,49	-0,501
564091,35	6623994,81	-0,481
564091,54	6623994,15	-0,491
564091,69	6623993,58	-0,551
564091,86	6623992,86	-0,561
564091,98	6623992,18	-0,581
564092,11	6623991,47	-0,601
564092,22	6623990,72	-0,541
564092,34	6623989,98	-0,561
564092,48	6623989,22	-0,601
564092,62	6623988,45	-0,671
564092,74	6623987,68	-0,781
564092,88	6623986,89	-0,851
564093,04	6623986,09	-0,951
564093,19	6623985,26	-1,011
564093,33	6623984,35	-1,051
564093,49	6623983,38	-1,141
564093,64	6623982,37	-1,311
564093,98	6623980,39	-1,251
564094,09	6623979,38	-1,261
564094,22	6623978,38	-1,371
564094,33	6623977,39	-2,931
564094,44	6623976,34	-3,761
564094,56	6623975,22	-4,011
564094,69	6623974,08	-4,011
564094,81	6623972,91	-3,911
564094,98	6623971,77	-3,981
564095,17	6623970,65	-4,051
564095,37	6623969,54	-4,221
564095,59	6623968,45	-4,271
564095,81	6623967,38	-4,321
564095,99	6623966,23	-4,361
564096,15	6623965,04	-4,391
564096,3	6623963,81	-4,361
564096,37	6623962,53	-4,331
564096,43	6623961,24	-4,361
564096,45	6623959,92	-4,501
564096,46	6623958,57	-4,671
564096,49	6623957,19	-4,611
564096,6	6623955,94	-4,631
564096,73	6623954,74	-4,681
564096,88	6623953,51	-4,741

564097,05	6623952,33	-4,711
564097,24	6623951,18	-4,711
564097,44	6623950,02	-4,681
564097,63	6623948,84	-4,761
564097,83	6623947,65	-4,931
564098,04	6623946,49	-4,951
564098,26	6623945,33	-4,951
564098,48	6623944,27	-5,031
564098,73	6623943,13	-5,151
564099	6623941,89	-5,171
564099,23	6623940,76	-5,221
564099,45	6623939,65	-5,211
564099,66	6623938,53	-5,181
564099,84	6623937,47	-5,171
564100,02	6623936,27	-5,151
564100,22	6623934,92	-5,151
564100,39	6623933,8	-5,151
564100,61	6623932,42	-5,171
564100,81	6623931,3	-5,211
564101,03	6623930,06	-5,271
564101,25	6623928,83	-5,341
564101,47	6623927,63	-5,421
564101,68	6623926,46	-5,521
564101,91	6623925,32	-5,601
564102,16	6623924,22	-5,671
564102,43	6623923,13	-5,761
564102,7	6623922,05	-5,821
564102,96	6623920,94	-5,881
564103,23	6623919,84	-5,971
564103,49	6623918,73	-6,031
564103,77	6623917,66	-6,101
564104,05	6623916,6	-6,171
564104,32	6623915,56	-6,221
564104,58	6623914,49	-6,181
564104,84	6623913,38	-6,201
564105,07	6623912,25	-6,201
564105,32	6623911,19	-6,221
564105,57	6623910,1	-6,291
564105,79	6623908,97	-6,331
564106	6623907,76	-6,221
564106,22	6623906,5	-6,351
564106,45	6623905,25	-6,321
564106,68	6623904	-6,271
564106,92	6623902,72	-6,271
564107,15	6623901,44	-6,221
564107,37	6623900,15	-6,171
564107,58	6623898,94	-6,201
564107,8	6623897,79	-6,181
564108	6623896,65	-6,041
564108,18	6623895,56	-5,921

564108,34	6623894,48	-5,561
564108,5	6623893,45	-5,521
564108,62	6623892,45	-5,331
564108,74	6623891,45	-5,091
564108,84	6623890,41	-4,961
564108,92	6623889,42	-4,241
564109,02	6623888,45	-4,071
564109,1	6623887,51	-3,361
564109,2	6623886,66	-2,581
564109,31	6623885,93	-2,011
564109,46	6623885,28	-1,091
564109,62	6623884,75	-0,791
564109,79	6623884,38	-0,961
564109,96	6623884,1	-0,861
564110,13	6623883,85	-0,861
564110,3	6623883,62	-0,761
564110,46	6623883,45	-0,691
564110,63	6623883,3	-0,651
564110,75	6623883,22	-0,631

Profil 3

X	Y	Z
564198,1	6624163,67	-0,526
564198,1	6624163,68	-0,526
564198,12	6624163,7	-0,516
564198,12	6624163,7	-0,516
564198,12	6624163,7	-0,526
564198,11	6624163,69	-0,516
564198,1	6624163,66	-0,516
564198,01	6624163,6	-0,526
564197,93	6624163,49	-0,546
564197,84	6624162,94	-0,586
564197,76	6624162,29	-0,626
564197,67	6624161,56	-0,696
564197,54	6624160,89	-0,746
564197,47	6624160,17	-0,886
564197,44	6624159,34	-1,176
564197,42	6624158,52	-1,356
564197,4	6624157,76	-1,526
564197,4	6624156,98	-1,856
564197,45	6624156,1	-2,036
564197,52	6624155,22	-2,156
564197,61	6624154,37	-2,066
564197,72	6624153,5	-2,366
564197,86	6624152,56	-2,396
564198	6624151,62	-2,686
564198,16	6624150,68	-2,876
564198,31	6624149,73	-2,846
564198,48	6624148,75	-2,966
564198,66	6624147,78	-3,196
564198,85	6624146,77	-3,506
564199,04	6624145,74	-3,836
564199,23	6624144,7	-4,196
564199,42	6624143,64	-4,416
564199,62	6624142,51	-4,736
564199,83	6624141,36	-4,806
564200,05	6624140,22	-4,856
564200,26	6624139,09	-5,006
564200,48	6624137,99	-5,136
564200,68	6624136,9	-5,336
564200,89	6624135,85	-5,506
564201,08	6624134,76	-5,616
564201,27	6624133,65	-5,566
564201,46	6624132,5	-5,566
564201,65	6624131,33	-5,506
564201,83	6624130,14	-5,536
564202	6624128,93	-5,546
564202,18	6624127,69	-5,616
564202,35	6624126,46	-5,616
564202,53	6624125,23	-5,626
564202,75	6624124,01	-5,676

564202,97	6624122,78	-5,696
564203,22	6624121,57	-5,666
564203,5	6624120,37	-5,656
564203,8	6624119,16	-5,676
564204,1	6624117,96	-5,676
564204,39	6624116,77	-5,696
564204,65	6624115,58	-5,676
564204,91	6624114,36	-5,656
564205,14	6624113,14	-5,606
564205,32	6624111,91	-5,566
564205,48	6624110,68	-5,606
564205,6	6624109,45	-5,676
564205,68	6624108,21	-5,676
564205,76	6624106,96	-5,696
564205,82	6624105,71	-5,656
564205,87	6624104,45	-5,606
564205,91	6624103,21	-5,616
564205,96	6624101,97	-5,586
564206	6624100,74	-5,566
564206,03	6624099,48	-5,566
564206,04	6624098,22	-5,566
564206,06	6624096,94	-5,546
564206,1	6624095,72	-5,526
564206,13	6624094,5	-5,536
564206,18	6624093,28	-5,546
564206,22	6624092,01	-5,596
564206,24	6624090,75	-5,596
564206,27	6624089,49	-5,616
564206,29	6624088,19	-5,606
564206,31	6624086,92	-5,546
564206,34	6624085,66	-5,536
564206,4	6624084,41	-5,526
564206,47	6624083,16	-5,486
564206,57	6624081,95	-5,426
564206,69	6624080,74	-5,386
564206,83	6624079,53	-5,326
564206,96	6624078,29	-5,256
564207,1	6624077,08	-5,216
564207,23	6624075,88	-5,266
564207,36	6624074,7	-5,196
564207,49	6624073,54	-5,136
564207,62	6624072,42	-5,186
564207,77	6624071,29	-5,076
564207,94	6624070,14	-4,866
564208,13	6624068,99	-4,656
564208,35	6624067,82	-4,436
564208,56	6624066,65	-4,326
564208,8	6624065,46	-4,256
564209,02	6624064,23	-4,256
564209,24	6624062,98	-4,306

564209,45	6624061,73	-4,076
564209,63	6624060,52	-3,906
564209,8	6624059,33	-3,686
564209,97	6624058,11	-3,476
564210,11	6624056,95	-3,126
564210,21	6624055,78	-2,566
564210,28	6624054,62	-2,106
564210,29	6624053,52	-1,776
564210,27	6624052,49	-1,556
564210,28	6624051,44	-1,276
564210,26	6624050,39	-1,126
564210,24	6624049,44	-0,836
564210,23	6624048,42	-0,886
564210,23	6624047,39	-0,856
564210,25	6624046,4	-0,776
564210,25	6624045,42	-0,666
564210,26	6624044,47	-0,656
564210,29	6624043,55	-0,656
564210,33	6624042,62	-0,626
564210,37	6624041,73	-0,586
564210,4	6624040,88	-0,556
564210,47	6624040,03	-0,566
564210,55	6624039,16	-0,536
564210,66	6624038,3	-0,526
564210,76	6624037,43	-0,546
564210,85	6624036,57	-0,536
564210,95	6624035,67	-0,556
564211,04	6624034,79	-0,546
564211,12	6624033,93	-0,536
564211,23	6624033,06	-0,506
564211,36	6624032,11	-0,536
564211,5	6624031,09	-0,546
564211,6	6624030,07	-0,586
564211,7	6624029,1	-0,556
564211,78	6624028,11	-0,576
564211,86	6624027,1	-0,546
564211,89	6624026,09	-0,536
564211,9	6624025,1	-0,556
564211,91	6624024,12	-0,546
564211,89	6624023,15	-0,546
564211,86	6624022,25	-0,556
564211,81	6624021,36	-0,586
564211,8	6624020,46	-0,576
564211,8	6624019,52	-0,626
564211,82	6624018,63	-0,636
564211,84	6624017,74	-0,666
564211,9	6624016,72	-0,786
564211,97	6624015,68	-0,746
564212,04	6624014,73	-0,826
564212,13	6624013,77	-0,776

564212,22	6624012,76	-0,886
564212,3	6624011,73	-0,876
564212,35	6624010,7	-0,906
564212,42	6624009,69	-1,036
564212,48	6624008,62	-0,956
564212,51	6624007,54	-1,046
564212,54	6624006,44	-1,096
564212,55	6624005,38	-1,106
564212,57	6624004,3	-1,206
564212,6	6624003,22	-1,426
564212,65	6624002,15	-1,546
564212,71	6624001,13	-1,576
564212,83	6624000,02	-1,596
564212,96	6623998,94	-1,926
564213,12	6623997,83	-2,366
564213,3	6623996,72	-2,616
564213,49	6623995,59	-4,076
564214,09	6623992,19	-3,956
564214,27	6623991,04	-4,056
564214,44	6623989,88	-4,116
564214,61	6623988,69	-4,126
564214,73	6623987,47	-4,096
564214,81	6623986,25	-4,056
564214,87	6623985,04	-4,026
564214,92	6623983,84	-3,976
564215,01	6623982,62	-3,986
564215,09	6623981,36	-3,996
564215,15	6623980,12	-3,966
564215,25	6623978,88	-4,006
564215,39	6623977,65	-4,076
564215,57	6623976,44	-4,086
564215,78	6623975,26	-4,136
564216,02	6623974,1	-4,246
564216,29	6623972,95	-4,336
564216,55	6623971,79	-4,346
564216,83	6623970,65	-4,356
564217,07	6623969,52	-4,296
564217,26	6623968,39	-4,336
564217,44	6623967,26	-4,386
564217,55	6623966,16	-4,406
564217,64	6623965,12	-4,416
564217,7	6623964,04	-4,366
564217,76	6623962,96	-4,336
564217,85	6623961,88	-4,296
564217,93	6623960,83	-4,246
564218,02	6623959,83	-4,166
564218,13	6623958,79	-4,186
564218,26	6623957,71	-4,266
564218,38	6623956,64	-4,356
564218,49	6623955,59	-4,486

564218,59	6623954,58	-4,596
564218,68	6623953,56	-4,746
564218,78	6623952,52	-4,876
564218,86	6623951,46	-4,966
564218,96	6623950,41	-5,036
564219,07	6623949,34	-5,076
564219,18	6623948,27	-5,096
564219,3	6623947,21	-5,176
564219,41	6623946,17	-5,226
564219,55	6623945,15	-5,246
564219,71	6623944,14	-5,336
564219,89	6623943,12	-5,386
564220,06	6623942,11	-5,436
564220,25	6623941,05	-5,486
564220,47	6623939,98	-5,576
564220,71	6623938,87	-5,596
564220,94	6623937,75	-5,606
564221,16	6623936,59	-5,616
564221,34	6623935,46	-5,636
564221,49	6623934,31	-5,736
564221,59	6623933,15	-5,766
564221,63	6623932,03	-5,716
564221,62	6623930,95	-5,646
564221,62	6623929,89	-5,656
564221,61	6623928,84	-5,626
564221,62	6623927,77	-5,546
564221,66	6623926,67	-5,506
564221,71	6623925,52	-5,486
564221,8	6623924,42	-5,516
564221,93	6623923,35	-5,536
564222,08	6623922,28	-5,486
564222,24	6623921,17	-5,436
564222,4	6623920,06	-5,296
564222,55	6623918,97	-5,176
564222,71	6623917,88	-5,116
564222,84	6623916,8	-4,956
564222,95	6623915,75	-4,756
564223,06	6623914,68	-4,726
564223,13	6623913,66	-4,736
564223,23	6623912,65	-4,756
564223,33	6623911,65	-4,366
564223,44	6623910,66	-4,226
564223,55	6623909,7	-3,946
564223,7	6623908,72	-3,766
564223,89	6623907,73	-3,476
564224,12	6623906,79	-2,696
564224,35	6623905,94	-1,836
564224,56	6623905,14	-1,606
564224,77	6623904,34	-1,596
564225,03	6623902,65	-1,596

564225,05	6623901,89	-1,526
564224,98	6623900,76	-1,546
564224,96	6623900,46	-1,526
564224,96	6623900,4	-1,536
564224,89	6623900,37	-1,566

Profil 4

X	Y	Z
564304,2	6624180,64	-0,626
564304,27	6624180,61	-0,636
564304,33	6624180,56	-0,646
564304,4	6624180,54	-0,646
564304,47	6624180,51	-0,636
564304,55	6624180,46	-0,656
564304,63	6624180,42	-0,666
564304,73	6624180,38	-0,666
564304,84	6624180,36	-0,656
564304,96	6624180,34	-0,666
564305,09	6624180,32	-0,656
564305,22	6624180,33	-0,676
564305,37	6624180,33	-0,666
564305,53	6624180,32	-0,666
564305,71	6624180,21	-0,686
564305,93	6624180,03	-0,696
564306,18	6624179,76	-0,716
564306,46	6624179,34	-0,736
564306,77	6624178,82	-0,696
564307,07	6624178,2	-0,846
564307,34	6624177,57	-0,956
564307,57	6624176,94	-1,096
564307,74	6624176,18	-1,276
564307,86	6624175,35	-1,336
564307,93	6624174,5	-1,496
564308,03	6624173,59	-1,706
564308,09	6624172,72	-1,826
564308,11	6624171,8	-2,006
564308,13	6624170,87	-2,006
564308,15	6624169,92	-2,176
564308,19	6624168,99	-2,296
564308,26	6624168,09	-2,396
564308,36	6624167,19	-2,366
564308,47	6624166,31	-2,226
564308,59	6624165,41	-2,146
564308,72	6624164,52	-2,266
564308,85	6624163,63	-2,386
564308,99	6624162,73	-2,556
564309,1	6624161,79	-2,696
564309,22	6624160,85	-2,936
564309,33	6624159,93	-3,176
564309,42	6624159	-3,286
564309,5	6624158,03	-3,576
564309,55	6624157,07	-3,906
564309,59	6624156,1	-4,166
564309,64	6624155,14	-4,436
564309,71	6624154,19	-4,736
564309,8	6624153,24	-5,096
564309,91	6624152,31	-5,276

564310,02	6624151,39	-5,406
564310,17	6624150,46	-5,496
564310,36	6624149,53	-5,616
564310,58	6624148,54	-5,546
564310,8	6624147,48	-5,546
564311,03	6624146,42	-5,686
564311,21	6624145,35	-5,766
564311,31	6624144,29	-5,806
564311,32	6624143,19	-5,766
564311,26	6624142,05	-6,016
564311,15	6624140,89	-6,086
564311,03	6624139,75	-6,056
564310,95	6624138,63	-6,066
564310,88	6624137,45	-6,076
564310,87	6624136,3	-6,056
564310,91	6624135,14	-6,046
564310,99	6624134	-6,016
564311,12	6624132,89	-6,036
564311,29	6624131,81	-6,046
564311,5	6624130,78	-6,036
564311,76	6624129,76	-6,016
564312,05	6624128,75	-5,996
564312,35	6624127,73	-5,976
564312,68	6624126,72	-5,956
564313,01	6624125,69	-5,976
564313,31	6624124,63	-5,976
564313,56	6624123,58	-5,956
564313,73	6624122,45	-5,926
564313,77	6624121,26	-5,916
564313,75	6624120,06	-5,896
564313,71	6624118,88	-5,866
564313,69	6624117,75	-5,826
564313,72	6624116,67	-5,746
564313,78	6624115,6	-5,756
564313,85	6624114,53	-5,726
564313,89	6624113,4	-5,716
564313,96	6624112,23	-5,646
564314,08	6624111,11	-5,566
564314,23	6624110,01	-5,586
564314,4	6624108,92	-5,516
564314,58	6624107,84	-5,486
564314,77	6624106,76	-5,476
564314,92	6624105,72	-5,436
564315,05	6624104,65	-5,386
564315,15	6624103,54	-5,386
564315,19	6624102,41	-5,356
564315,19	6624101,25	-5,336
564315,16	6624100,1	-5,306
564315,12	6624098,95	-5,266
564315,1	6624097,79	-5,216

564315,09	6624096,64	-5,196
564315,11	6624095,49	-5,156
564315,14	6624094,33	-5,126
564315,22	6624093,19	-4,966
564315,32	6624092,07	-4,936
564315,45	6624090,93	-4,956
564315,6	6624089,79	-4,886
564315,77	6624088,68	-4,846
564315,95	6624087,61	-4,836
564316,12	6624086,52	-4,816
564316,27	6624085,42	-4,766
564316,42	6624084,33	-4,746
564316,58	6624083,24	-4,706
564316,76	6624082,16	-4,576
564316,94	6624081,13	-4,516
564317,09	6624080,1	-4,446
564317,19	6624079,03	-4,326
564317,24	6624077,93	-4,306
564317,26	6624076,81	-4,266
564317,28	6624075,71	-4,206
564317,31	6624074,59	-4,186
564317,35	6624073,51	-4,036
564317,43	6624072,41	-4,006
564317,5	6624071,34	-3,746
564317,57	6624070,29	-3,516
564317,58	6624069,24	-3,406
564317,57	6624068,11	-3,336
564317,6	6624067,02	-2,986
564317,68	6624066	-2,876
564317,78	6624064,95	-2,626
564317,9	6624063,9	-2,346
564318,03	6624062,84	-2,166
564318,16	6624061,76	-1,976
564318,3	6624060,7	-1,806
564318,44	6624059,58	-1,686
564318,59	6624058,52	-1,436
564318,76	6624057,52	-1,306
564318,96	6624056,52	-1,166
564319,19	6624055,58	-1,026
564319,4	6624054,63	-0,866
564319,61	6624053,68	-0,736
564319,79	6624052,75	-0,636
564319,96	6624051,83	-0,676
564320,1	6624050,86	-0,676
564320,21	6624049,95	-0,636
564320,28	6624048,98	-0,566
564320,37	6624048	-0,546
564320,63	6624047,27	-0,596
564320,95	6624046,7	-0,616
564321,28	6624046,2	-0,596

564321,62	6624045,66	-0,606
564321,96	6624045,02	-0,616
564322,28	6624044,32	-0,556
564322,56	6624043,49	-0,546
564322,82	6624042,68	-0,566
564323,09	6624041,86	-0,556
564323,37	6624041,03	-0,536
564323,65	6624040,27	-0,566
564323,94	6624039,5	-0,616
564324,22	6624038,7	-0,626
564324,52	6624037,94	-0,616
564324,81	6624037,18	-0,636
564325,13	6624036,4	-0,586
564325,46	6624035,57	-0,566
564325,75	6624034,75	-0,586
564326,04	6624033,97	-0,586
564326,32	6624033,13	-0,596
564326,58	6624032,25	-0,586
564326,86	6624031,36	-0,546
564327,12	6624030,5	-0,566
564327,39	6624029,64	-0,606
564327,66	6624028,75	-0,596
564327,92	6624027,84	-0,606
564328,15	6624026,94	-0,646
564328,39	6624026,04	-0,636
564328,64	6624025,1	-0,656
564328,88	6624024,17	-0,696
564329,17	6624023,28	-0,586
564329,42	6624022,39	-0,756
564329,72	6624021,52	-0,776
564330,07	6624020,69	-0,786
564330,41	6624019,9	-0,846
564330,73	6624019,07	-0,926
564331,02	6624018,19	-1,116
564331,22	6624017,17	-2,346
564331,41	6624016,01	-2,836
564331,7	6624014,84	-2,726
564332,06	6624013,69	-3,156
564332,44	6624012,55	-3,056
564332,84	6624011,4	-3,476
564333,25	6624010,27	-3,676
564333,71	6624009,08	-3,746
564334,25	6624007,81	-3,876
564334,86	6624006,62	-3,926
564335,52	6624005,6	-3,996
564336,19	6624004,68	-4,046
564336,79	6624003,75	-4,076
564337,32	6624002,82	-4,146
564337,71	6624001,79	-4,226
564337,94	6624000,7	-4,256

564337,97	6623999,54	-4,146
564337,89	6623998,35	-3,956
564337,85	6623997,19	-4,116
564337,76	6623996,02	-4,096
564337,68	6623994,88	-4,156
564337,55	6623993,7	-4,216
564337,41	6623992,51	-4,266
564337,3	6623991,37	-4,316
564337,19	6623990,2	-4,386
564337,11	6623989,02	-4,496
564337,07	6623987,89	-4,516
564337,11	6623986,81	-4,366
564337,17	6623985,77	-4,516
564337,2	6623984,71	-4,496
564337,25	6623983,63	-4,536
564337,41	6623982,58	-4,556
564337,65	6623981,48	-4,536
564337,95	6623980,34	-4,546
564338,29	6623979,12	-4,466
564338,7	6623977,93	-4,606
564339,11	6623976,81	-4,686
564339,47	6623975,72	-4,636
564339,73	6623974,56	-4,696
564339,9	6623973,37	-4,746
564340,04	6623972,18	-4,636
564340,21	6623971,06	-4,776
564340,37	6623969,97	-4,846
564340,48	6623968,89	-4,856
564340,58	6623967,82	-4,846
564340,66	6623966,75	-4,836
564340,76	6623965,66	-4,826
564340,92	6623964,59	-4,806
564341,08	6623963,52	-4,806
564341,23	6623962,41	-4,796
564341,37	6623961,28	-4,786
564341,42	6623960,2	-4,836
564341,36	6623959,07	-4,896
564341,23	6623957,92	-4,846
564341,1	6623956,79	-4,896
564341,01	6623955,69	-4,886
564340,97	6623954,56	-4,886
564340,98	6623953,45	-4,866
564341,02	6623952,37	-4,836
564341,05	6623951,29	-4,826
564341,04	6623950,19	-4,806
564340,97	6623949,1	-4,746
564340,86	6623947,98	-4,666
564340,73	6623946,89	-4,746
564340,68	6623945,81	-4,626
564340,66	6623944,7	-4,556

564340,7	6623943,6	-4,626
564340,82	6623942,52	-4,596
564341,02	6623941,5	-4,556
564341,22	6623940,5	-4,526
564341,42	6623939,42	-4,516
564341,6	6623938,32	-4,626
564341,82	6623937,22	-4,756
564342,12	6623936,14	-4,806
564342,45	6623935,01	-4,826
564342,79	6623933,96	-4,916
564343,12	6623932,96	-4,876
564343,34	6623931,97	-4,916
564343,45	6623930,94	-4,986
564343,54	6623929,91	-4,966
564343,64	6623928,91	-4,886
564343,69	6623928,01	-4,776
564343,61	6623927,14	-4,746
564343,44	6623926,28	-4,696
564343,25	6623925,43	-4,746
564343,04	6623924,57	-4,726
564342,89	6623923,68	-4,596
564342,86	6623922,82	-4,336
564342,89	6623922,05	-4,066
564342,97	6623921,33	-3,886
564343,02	6623920,61	-3,716
564343,05	6623919,89	-3,506
564343,05	6623919,08	-3,376
564343,02	6623918,3	-3,056
564342,93	6623917,49	-2,646
564342,87	6623916,68	-2,196
564342,75	6623915,97	-1,356
564342,62	6623915,41	-0,836
564342,31	6623914,79	-0,746
564341,89	6623914,13	-0,606
564341,83	6623913,69	-0,506
564341,7	6623913,74	-0,456
564341,76	6623913,59	-0,456
564341,87	6623913,53	-0,446

Statens vegvesen Blankett nr. 497	TEGNINGSFORKLARING for geotekniske kart og profiler	
--------------------------------------	---	--

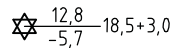
Opptegning i plan / på oversiktskart.

TEGNINGSSYMBOLER

Nummerering i henhold til borpunktliste GeoPlot.

Symbol	Metode	Anmerkning	Symbol	Metode	Anmerkning
●	2401 Dreiesondering	Sondering m. registrering av motstand.	■	2410 Setningsmåling	Nivellements punkt.
◎	2402 Prøveserie	Prøvene tatt med boringsredskap (skovlbor, prøvetager, diamantkjernebor m.m.)	⊕	2411 S.P.T.	Standard Penetration Test
□	2403 Prøvegrop	Prøvene tatt i gropvegg.	☆	2412 Fjellkontrollboring	Boring ned til og i fjell.
⊠	2404 Prøvebelastning	Peler, terrengplater, fundamenter o.l.	⊖	2413 Poretrykksmåling	Inkludert måling av grunnvannstand.
○	2405 Enkel sondering	Sondering uten registrering av motst., f.eks. spyleboring, slagboring m.m.	⊗	2414 In situ permeabilitetsmåling	Infiltrasjonsforsøk, prøvepumping m.m.
◊	2406 Dreietrykksondering	Maskinsondering med automatisk registrering.	+	2415 Vingeboring	Måling av uomrørt og omrørt udrenert skjærstyrke.
▽	2407 CPTU	Sondering der spissmotstand, lokal friksjon og poretrykk registreres under nedpressing	∩	2416 Elektrisk sondering	Elektrisk motstand, korrosivitet etc.
⊗	2408 Skruplateforsøk	Kompressometer o.l.	⊞	2417 Helningsmåling	Inklinometer.
▼	2409 Ramsondering	Sondering der borstang slås ned. Stangdiameter, loddvekt og fallhøyde er normert. Q ₀ registreres.	⊕	2418 Totalsondering	Kombinasjonsboring gjennom løsmasser og fjell.

NIVÅER OG DYBDER (i meter)



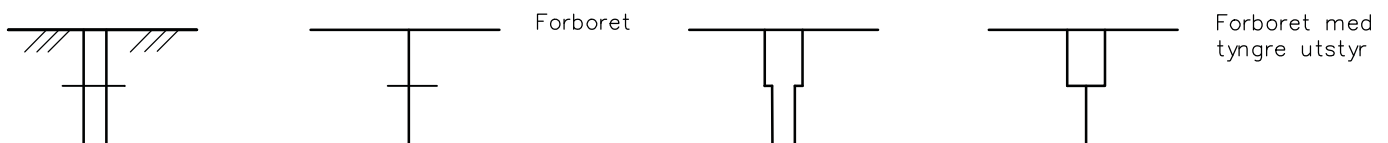
Over linjen : kote terreng eller elvebunn, sjøbunn ved boring i vann (12,8).
 Ut for linjen : boret dybde i løsmasser (18,5). Evt. boret dybde i fjell angis etter plusstegn (+3,0).
 Under linjen : sikker fjellkote.

OPPTEGNING I PROFIL

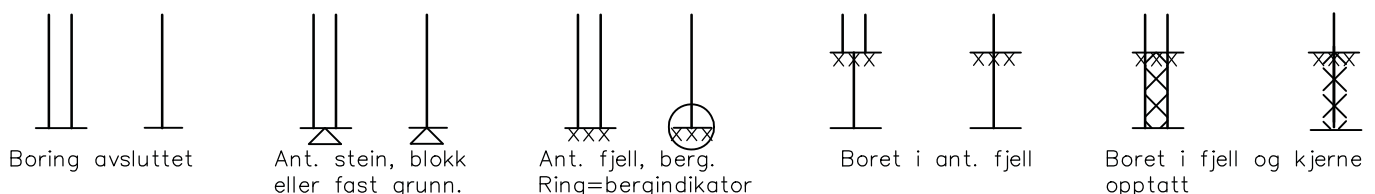
Generelt



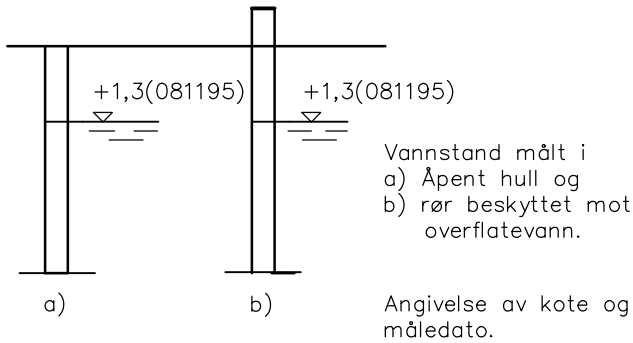
FORBORING (Gjelder alle sonderingstyper)



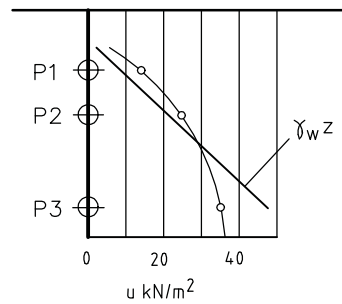
AVSLUTNING AV BORING (Gjelder alle sonderingstyper)



GRUNNVANNSTAND



⊖ PORETRYKK

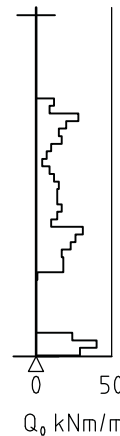


Poretrykk, u, fremstilles i et diagram. En teoretisk linje for hydrostatisk trykkfordeling $\gamma_w z$ kan vises.

VANNSTAND

HFV	Høyeste flomvannstand
HRV	Høyeste regulerte vannstand
LRV	Laveste regulerte vannstand
HHV	Høyeste høyvannstand
LLV	Laveste lavvannstand
HV	Normal høyvannstand
LV	Normal lavvannstand
MV	Normal middelvannstand
V	Vannstand (dato angis)
GV	Grunnvannstand (dato angis)

▼ RAMSONDERING

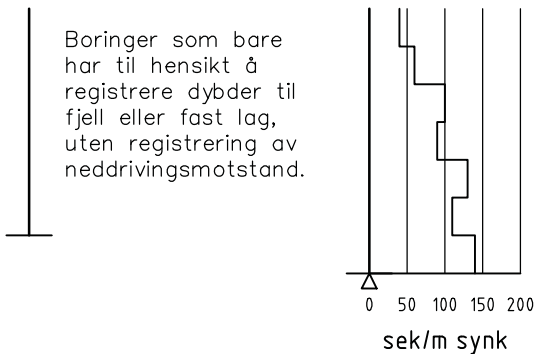


Rammemotstanden Q₀ angis som brutto rammeenergi i kNm pr. m synk av boret.

$$Q = \frac{W \times H}{s}$$

der W = Tyngde av lodd (kN)
H = Fallhøyde (m)
s = Synk i m pr. slag

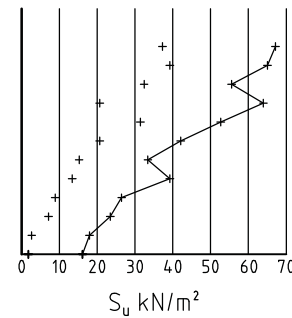
○ ENKEL SONDERING



Boringer som bare har til hensikt å registrere dybder til fjell eller fast lag, uten registrering av neddrivingsmotstand.

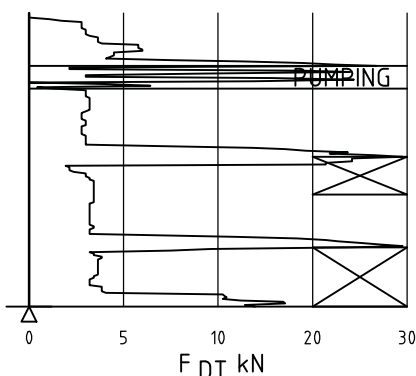
Ved enkel sondering med slagbormaskin og sondering med fjellrigg kan synk vises som sek/m.

+ VINGEBORING



Borhullet markeres med enkel tykk strek. Skjørstyrken s_u og s'_u angis i kN/m² med tegnet +. Verdier merka (+) ansees ikke representative. Verdien som angis er den kalibrerte omrørte og uomrørte skjærstyrke.

● DREIETRYKKSONDERING



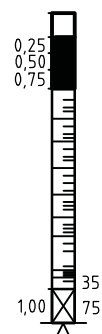
Vanlig boring med 25 omdr./min.

Pumping

Økt rotasjon

Borhullet markeres med en enkel tykk strek. Målt nedpressingskraft er vist som funksjon av dybden. Kraften er registrert ved automatisk skriver.

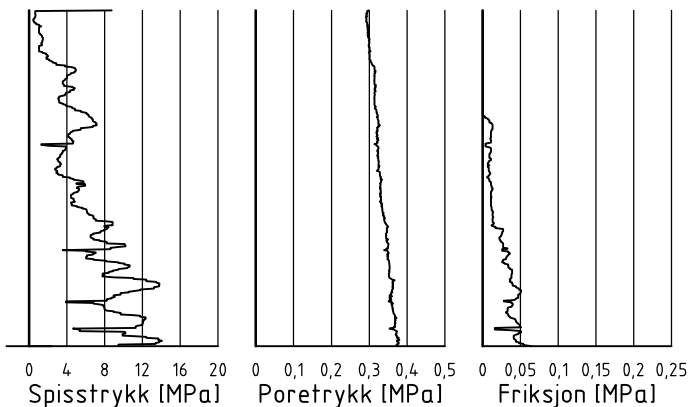
● DREIESONDERING



Forboringedybde markeres og diameter angis i mm. Vertikallasten i kN angis på borhullets v. side. Endring i belastning vises ved tverrstrek. Synk uten dreining markeres med skygglegging eller raster.

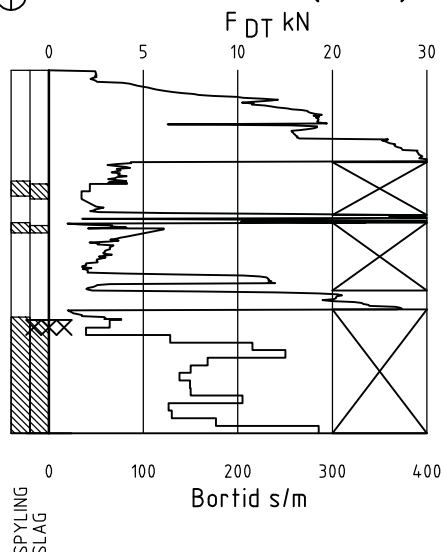
Hel tverrstrek for hver 100 halv-omdreining. Halv tverrstrek for hver 25 halvomdreining. Mindre enn 100 halvomdreininger vises ved å skrive ant. halvomdr. på h. side. Neddriving ved slag på boret vises m. kryss, slagant. og redskap kan angis. Endret neddrivingsmåte vises m. hel tverrstr.

▽ CPT / TRYKKSONDERING



Trykksondering med poretrykksmåling og friksjonsmåling. Borhullet markeres med en tykk strek hvor spissmotstandskurven tegnes inn. Poretrykkskurven og friksjonskurven tegnes inn i høvelig nærhet til spissmotstandskurven. Skala velges etter (opptredende) målte spenninger.

⊕ TOTALSONDERING (alt. 1)



Metoden er en kombinasjon av dreietrykksondering og fjellkontrollboring, med 57 mm borkrone.

Målt nedpressingskraft vises som funksjon av dybden der hvor boringen er utført med prosedyre som for dreietrykksondering. Økt rotasjonshastighet vises med kryss for denne delen av boringen.

KODELISTE

Data som registreres kan kompletteres med borlederens egne inntrykk. For å hjelpe borlederen finnes det en kodeliste som anbefales brukt. Kodene kan om ønskelig tegnes til høyre for bordiagrammet. Disse koder benyttes:

GENERELLE KODER

- 00 Foreg. kode feil, skal være kode...
- 01 Startnivå for følgende kode
- 02 Metodebytte ved fortsatt sondering i samme hull (komb. m. ang. ny met.)
- 03 Ytterligere info. finnes

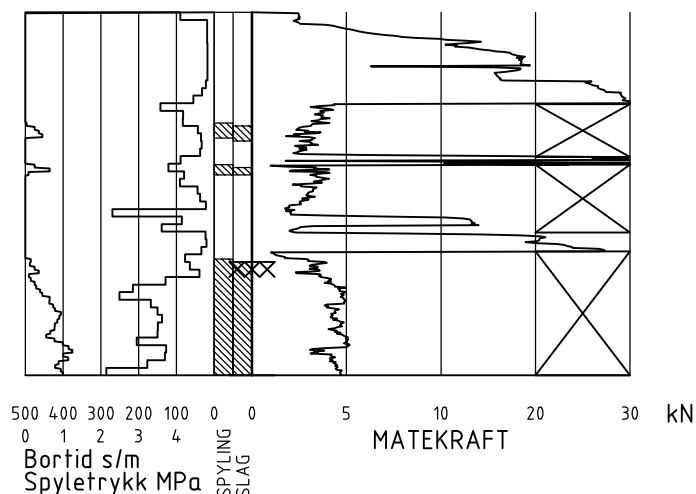
ANMERKNINGSKODER

- 10 Stoppnivå for tidligere forsøk (komb. m. stoppkode).
- 11 Lengre opphold i sond. (mer enn 5min.)
- 12 Dreining ikke utført fra det markerte nivå.
- 13 Sonden synker uten loddets vekt (ramsond.).
- 14 Sonden synker med loddets tyngde.
- 15 Sonderingsmotstand registreres ikke.
- 16 Stopp for poretrykksutjevning (CPT).
- 17 Poretrykksutjevning avsluttet.

FRIE KODER (EKSEMPEL)

- 60 Borstangen bøyer seg.
- 61 Trolig grunnvannsnivå.
- 62 Markert mottrykk under oppbygging.
- 63 Slutt mottrykk.

⊕ TOTALSONDERING (alt. 2)



Ved boring med slag og spyling markeres dette med skravur. Bortid tegnes i blokker for hver 0,2m, evt. 1,0m (alternativ 1). Alternativt kan nedpressingskraft tegnes også for denne delen av boringen. Bortid tegnes da i blokker for hver 0,2m, evt. 1,0m, på motsatt side av diagrammet (alt. 2).

BEDØMMELSESKODER

- 30 Fyllmasse
- 31 Tørreskorpe
- 32 Leire
- 33 Silt
- 34 Sand
- 35 Grus
- 36 Morene
- 37 Torv
- 38 Gytje
- 40 Forekomst av stein
- 41 Stein, blokk eller berg.
- 42 Sluttnivå for stein eller blokk.

MASKINTEKNISKE KODER

- 70 Økt rotasjon begynner
- 71 Økt rotasjon avsluttet
- 72 Spyling begynner
- 73 Spyling slutter
- 74 Slag starter
- 75 Slag slutter
- 76 Slag og spyling starter samt.

- 77 Slag og spyling slutter samt.
- 78 Pumping starter
- 79 Pumping slutter

STOPPKODER

- 90 Sondering avsl. uten å ha oppnådd stopp.
- 91 Fast grunn, sond. kan ikke drives videre etter norm. pros.
- 92 Ant. stein eller blokk
- 93 Ant. berg
- 94 Avsl. etter boret ønsket dybde i fjell.
- 95 Brudd i borstenger eller spiss.
- 96 Annen material- eller mask.feil
- 97 Boring avsl. (årsak notert)

⊙ PRØVESERIE
Materialsignatur (iht. NGF)

Anmerkning



Fjell



Stein og blokk



Grus



Sand

Leire: T = tørrskorpe
R = resedimenterte masser
K = kvikkleire

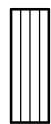
Ved blandingsjordarter kombineres signaturene.
Morene vises ved skyggelegging.

Eks.:



Moreneleire

Grusig morene



Silt



Leire



Skjell



Fyllmasse



Trerester
Sagflis



Matjord



Torv
Planterester



Gytje, dy
(vannavsatt)

For konkresjoner kan bokstavsymboler settes inn i materialsignaturen.

Ca = kalkkonkresjoner
Fe = jernkonkresjoner
AH = aurhelle

SYMBOLER FOR LABORATORIEDATA

Laboratoriebestemmelser	Bokstav-symbol	Tegn-symbol	Anmerkninger
Materiale			Jordarter beskrives i samsvar med retningslinjer gitt av NGF. Hovedbetegnelsen skrives med store bokstaver.
Vanninnhold Naturlig vanninnhold Plastisitetsgrense Flytegrense Flytegrense konus	W W _P W _L W _F	• ┌ ┌ └	Angis i masseprosent av tørrstoff. Metode skal angis.
Tyngdetthet / densitet Tyngdetthet Densitet Tørr densitet Korndensitet	γ ρ ρ _d ρ _s		Tyngdetthet kN/m ³ . Densitet t/m ³ . γ (kN/m ³)
Porøsitet Poretall	n e		
Skjærstyrke, udrenert Konusforsøk, uomrørt Konusforsøk, omrørt Enkelt trykkforsøk	s _{uk} s _{u'k} s _{ut}	▼ ▼ ∞	Symbolet settes i () hvis verdien ikke ansees representativ. Aksialdeformasjon ved brudd (ε _f) angis i % slik: $\frac{15-\varphi-5\%}{10}$
Sensitivitet	S _t		Metode bør angis.
Organisk materiale Innhold av organisk karbon Glødetap Humusinnhold Formuldingsgraden	O _c O _{gl} O _{Na} v _P		Angis i masseprosent av tørrstoff før forsøk. Bestemt ved NaOH-metoden. Klassifisering etter von Post skala H ₁ –H ₁₀

Forøvrig benyttes bokstavsymboler vedtatt av The International Society of Soil Mechanics and Foundation Engineering.